

لَهُ مَنْ فِي السَّمَاوَاتِ وَالْأَرْضِ
وَمَا يَرَى إِلَّا بِنَارٍ



دانشکده مهندسی برق و رباتیک

گروه الکترونیک

شناسایی هوشمند شکستگی‌ها در مخازن کربناته با استفاده از نمودارهای تصویرگر

(تصاویر دیواره چاه)

دانشجو :

محمود سیف الهی

اساتید راهنما :

دکتر علی سلیمانی ابوری

دکتر بهزاد تخمچی

استاد مشاور :

دکتر علیرضا احمدی فرد

پایان نامه ارشد جهت اخذ درجه کارشناسی ارشد

تیر ۱۳۹۱

ماره: ۹۶۵/آ.ت.ب

تاریخ: ۹۱/۰۴/۲۵

ویرایش:

بسمه تعالیٰ



مدیریت تحصیلات تکمیلی
فرم شماره (۶)

فرم صور تجلسه دفاع پایان نامه تحصیلی دوره کارشناسی ارشد

با تأییدات خداوند متعال و با استعانت از حضرت ولی عصر (عج) جلسه دفاع از پایان نامه کارشناسی ارشد خانم / آقای:

محمود سیف اللهی رشته: برق گرایش: الکترونیک

تحت عنوان: شناسایی هوشمند شکستگیها در مخازن کربناته با استفاده از نمودارهای تصویرگر (تصاویر دیواره پنهان)
که در تاریخ ۹۱/۰۴/۲۵ با حضور هیأت محترم داوران در دانشگاه صنعتی شاهروд برگزار گردید به شرح زیر است:

مردود

دفاع مجدد

قبول (با درجه: بسیار خوب امتیاز ۱۸۷۵)

۱- عالی (۱۹ - ۲۰)

۲- بسیار خوب (۱۸ - ۱۹)

۳- خوب (۱۶ - ۱۷/۹۹)

۴- قابل قبول (۱۴ - ۱۵/۹۹)

۵- نمره کمتر از ۱۴ غیر قابل قبول

امضاء	مرتبه علمی	نام و نام خانوادگی	عضو هیأت داوران
	استادیار	رسانه‌ی اسلامی (رهنمایی) برادران گریز	۱- استاد راهنمای
	استادیار	علی‌اصغر جوهری‌فر	۲- استاد مشاور
	۲	علی‌اصغر جوهری‌فر	۳- نماینده شورای تحصیلات تکمیلی
	استادیار	میوه‌فرا معرفی	۴- استاد ممتحن
	دانشیار	ابوالقاسم کامکار روچانی	۵- استاد ممتحن

رئیس دانشکده:

تَعْدِيْم بِهِ مَا دُرْفَ اكَارِم اسَوَه صَبَر و حَسْنَگَى نَانِزِيرَى دَرْزِنِكَم و

تَعْدِيْم بِهِ رُوح پَرْ هَرْ بَانِم.

تَعْدِيْم بِهِ رُوح بَزرَك مَعْلِم بَزَرْ كَوَارِم مَرْحُوم جَهَانْجِش سَالِمِي.

و

تَعْدِيْم بِهِ كَسَى كَهْ مَجْبَت و رَاهْنَمَى هَائِش بَرَايِم اَمِيد و رُوشْنِى دَر

مسِيرَانْ تَحْصِيق بُود.

تحت خداوند بزرگ و علیم را سأکرم که به من قدرت **نمکر و نوشت** داد و تلاش را در وجودم برای
یافتن پاسخ به معاہدی هر چند کوچک از حلم قرار داد. پس که توانستم با دانش اندک خودکامی در مسیر
علم بودارم.

بر خود فرض می دانم که از امانتید راهنمای فربخته و دانشمند خویش آقایان **دکتر علی سلیمانی** ایوری و
دکتر بهزاد تهمی و استاد مشاور فرزانه ام و دانشمند توانمند جناب آقای **دکتر علیرضا احمدی** فرد کمال
مشکر و قدردانی را بجا آورم. در برابر لطف و توجه بزرگوارانه شان زانوی ادب بزمین مینشم.

و نیز از خانواده خود و همه دوستانم که مراد این کاریاری نمودند کمال **مشکر را بجا آورم.** از دوستان
خویش آقایان **مهندس یوسف عسکری** نژاد، **مهندس ارجمند رشید کریم** و **مهندس مسلم امیدی** با به
طور خاص کمال **مشکر را دارم.**

تعهد نامه

اینجانب محمود سیف الهی دانشجوی دوره کارشناسی ارشد رشته الکترونیک دانشکده مهندسی برق و رباتیک دانشگاه صنعتی شاهرود نویسنده پایان نامه شناسایی هوشمند شکستگی‌ها در مخازن کربناته با استفاده از نمودارهای تصویرگر (تصاویر دیواره چاه) تحت راهنمایی آقایان دکتر سلیمانی ایوری و دکتر تخمچی متعهد می‌شوم.

- تحقیقات در این پایان نامه توسط اینجانب انجام شده است و از صحت و اصالت برخوردار است.
- در استفاده از نتایج پژوهشی‌های محققان دیگر به مرجع مورد استفاده استناد شده است.
- مطالب مندرج در پایان نامه تاکنون توسط خود یا فرد دیگری برای دریافت هیچ نوع مدرک یا امتیازی در هیچ جا ارائه نشده است.
- کلیه حقوق معنوی این اثر متعلق به دانشگاه صنعتی شاهرود می‌باشد و مقالات مستخرج با نام «دانشگاه صنعتی شاهرود» و یا «Shahrood University of Technology» به چاپ خواهد رسید.
- حقوق معنوی تمام افرادی که در به دست آمدن نتایج اصلی پایان نامه تأثیرگذار بوده اند در مقالات مستخرج از پایان نامه رعایت می‌گردد.
- در کلیه مراحل انجام این پایان نامه، در مواردی که از موجود زنده (یا بافت‌های آنها) استفاده شده است ضوابط و اصول اخلاقی رعایت شده است.
- در کلیه مراحل انجام این پایان نامه، در مواردی که به حوزه اطلاعات شخصی افراد دسترسی یافته یا استفاده شده است اصل رازداری، ضوابط و اصول اخلاق انسانی رعایت شده است.

امضای دانشجو

مالکیت نتایج و حق نشر

- کلیه حقوق معنوی این اثر و محصولات آن (مقالات مستخرج، کتاب، برنامه‌های رایانه‌ای، نرم افزارها و تجهیزات ساخته شده است) متعلق به دانشگاه صنعتی شاهرود می‌باشد. این مطلب باید به نحو مقتضی در تولیدات علمی مربوطه ذکر شود.
- استفاده از اطلاعات و نتایج موجود در پایان نامه بدون ذکر مرجع مجاز نمی‌باشد.

چکیده

چاهنmodارهای تصویری، ابزارهای مقاومتی، صوتی، نوری و ... هستند که برای آشکارسازی ویژگی‌های سنگ در مخازن کربناته از آن‌ها استفاده می‌شود. یکی از ویژگی‌های مهم سنگ، شکستگی است که می‌تواند به‌وسیله چاهنmodارهای تصویری تشخیص داده شود. شکستگی‌ها نقش بسیار مهمی را در حرکت سیال و پایداری دیواره چاه دارند. شناسایی شکستگی به‌وسیله کارشناسان معمولاً به‌صورت موضوعی صورت می‌گیرد. یعنی کارشناسان مختلف با توجه به دانش و تجربه خود ممکن است، تفسیر متفاوتی را ارایه کنند. شناسایی شکستگی به دلیل مسائلی مانند: کنتراست ضعیف، ضخامت متغیر شکستگی و وجود نوفه، کاری بسیار پیچیده است. از طرفی به دلیل تکه‌ای بودن یک شکستگی وجود پدیده‌های مشابه شکستگی مانند لایه‌بندی، شناسایی شکستگی‌ها پیچیده‌تر می‌شود.

در این پایان‌نامه به کمک الگوریتم‌های هوشمند پردازش تصویر و شناسایی الگو، تکنیک‌هایی برای شناسایی و ردیابی شکستگی‌ها در چاهنmodارهای تصویری ارایه می‌شود.

برای شناسایی شکستگی در چاهنmodارهای تصویری یک گام پایه و پیچیده، بخش‌بندی این تصاویر است. روش‌های گوناگونی از بخش‌بندی برای شناسایی شکستگی بر روی چاهنmodارهای تصویری مختلف پیاده‌سازی شد. سپس عملکرد این روش‌ها با هم، برای انتخاب بهینه‌ترین روش مقایسه شدند. نتایج ما نشان می‌دهد که استفاده از شبکه عصبی رقابتی خودسازمانده از سایر روش‌ها برای بخش‌بندی این تصاویر مطلوب‌تر است. این شبکه با استفاده از الگوریتم رقابتی به خوش‌بندی پیکسل‌های چاهنmodار تصویری با سه مؤلفه رنگ می‌پردازد. پس از بخش‌بندی به منظور جداسازی شکستگی از سایر پدیده‌ها و حذف پیکسل‌های غیر شکستگی، از اطلاعات زاویه‌ای ردپاهای آشکار شده و عملگرهای مورفولوژی استفاده می‌شود. پس از جداسازی پیکسل‌های شکستگی، تعدادی از نقاط به عنوان نقاط نمونه شکستگی‌ها از تصویر جدا می‌شوند.

پس از پایان آشکارسازی نقاط نمونه شکستگی، در گام بعدی نقاط هر یک از شکستگی‌ها از سایر شکستگی‌ها با تکیه بر اطلاعات محلی خوشبندی و از نقاط نمونه سایر شکستگی‌ها تفکیک می‌شوند. در مرحله آخر با استفاده از شبکه عصبی شعاعی مسیر دقیق‌تر شکستگی‌ها برای هر دسته از نقاط یک شکستگی ردیابی می‌شوند.

پیاده سازی الگوریتم پیشنهادی بر روی چاهنماودارهای تصویری نمونه نتایج قابل قبولی را نشان داد. بخش بندی چاهنماودارهای تصویری موجود با دلیل تکیه بر اطلاعات رنگ بهوسیله شبکه عصبی خودسازمانده به دقت ۹۴/۵٪ حاصل شد. الگوریتم‌های پیشنهادی بر چاهنماودارهای تصویری الکترونیکی و برای آشکارسازی و ردیابی شکستگی‌های طبیعی باز متمن کر شده‌اند.

کلمات کلیدی: چاهنماودارهای تصویری، شکستگی، آشکارسازی شکستگی، ردیابی شکستگی، بخش-بندی تصویر، شبکه عصبی خودسازمانده، شبکه عصبی شعاعی، عملگرهای مورفولوژی.

مقالات استخراج شده

1. Seifallahi, M; Tokhmechi, B; Soleamani, A And Ahmady Fard, A. (2012). A NOVEL METHODOLOGY FOR FRACTURE EXTRACTION FROM BOREHOLE IMAGE LOGS. The FIRST INTERNATIONAL CONFERENCE OF OIL, GAS, PETROCHEMICAL AND POWER PLANT. Tehran.Iran.

۲. سیفالهی محمود، سلیمانی ایوری علی، تخمچی بهزاد، احمدی فرد علیرضا، ۱۳۹۰، سگمنت‌سازی چاهنمادارهای تصویری به منظور شناسایی شکستگی در مخازن کربناته، پانزدهمین همایش انجمن زمین‌شناسی ایران، تهران، ایران.

فهرست مطالب

صفحه	عنوان
۱	مقالات استخراج شده
۲	فهرست مطالب
۳	فهرست اشکال
۴	فهرست جداول
۵	۱- فصل اول - مقدمه و کلیات
۶	۲- ۱- مقدمه
۷	۲- ۲- ضرورت انجام کار
۸	۳- ۱- اهداف
۹	۴- ۱- مروی بر کارهای قبلی
۱۰	۵- ساختار پایان نامه
۱۱	۶- فصل دوم - شکستگی‌ها در چاهنماودارهای تصویری
۱۲	۷- ۱- مقدمه
۱۳	۷- ۲- تصویربرداری از چاه

۹	۱-۲-۲- روش تصویربرداری الکتریکی.....
۱۳	۲-۲-۲- روش تصویربردار صوتی
۱۴	۳-۲-۲- تصویربرداری نوری از چاه.....
۱۶	۳-۳-۲- شکستگی.....
۱۶	۱-۳-۲- شکستگی در چاهنمودارهای تصویری
۲۲	فصل سوم - پردازش تصویر
۲۳	۱-۳- مقدمه.....
۲۵	۲-۳- پیش پردازش تصاویر
۳۱	۳-۳- آشکارسازی لبه‌ها و بخش‌بندی.....
۳۴	۱-۳-۳- آشکارسازی لبه‌ها.....
۳۸	۲-۳-۳- آستانه‌گذاری
۳۹	۱-۲-۳-۳- آستانه‌گذاری کلی پایه
۴۱	۲-۲-۳-۳- استفاده از ملايم کردن تصویر برای بهبود الگوريتم آستانه‌گذاری کلی
۴۲	۳-۲-۳-۳- آستانه‌گذاری متغير.....
۴۳	۳-۳-۳- عملگرهای مورفولوژی
۴۳	۱-۳-۳-۳- مورفولوژی در تصاویر باینری
۴۵	۲-۳-۳-۳- مورفولوژی در تصاویر خاکستری
۴۸	۴-۳-۳- خوشبندی.....
۴۹	۱-۴-۳-۳- خوشبندی C-means
۵۱	۲-۴-۳-۳- خوشبندی Fuzzy C-means
۵۲	۳-۴-۳-۳- خوشبندی بهوسيله شبکه‌های عصبی
۵۶	۵-۳-۳- ارزیابی روش‌های مختلف بخش‌بندی.....

۵۷ ۳-۴- شبکه عصبی RBF
۵۸ ۳-۴-۱- ساختار شبکه‌های RBF
۵۹ ۳-۴-۲- توابع فعالساز شعاعی
۶۱ ۳-۴-۳- الگوریتم یادگیری شبکه عصبی RBF
۶۳ ۳-۵- معیارهای ارزیابی همانندی تصاویر با هم
۶۹	فصل چهارم - الگوریتم‌های پیشنهادی برای شناسایی و ردیابی شکستگی‌ها
۷۰ ۴-۱- مقدمه
۷۰ ۴-۲- بررسی مراحل الگوریتم
۷۱ ۴-۲-۱- بخش‌بندی چاهنماودارهای تصویری
۷۲ ۴-۲-۱-۱- الگوریتم‌های بخش‌بندی مبتنی بر روش‌نایی (تصاویر خاکستری)
۸۷ ۴-۲-۱-۲- الگوریتم‌های بخش‌بندی مبتنی بر رنگ (تصاویررنگی)
۱۰۰ ۴-۲-۱-۳- مقایسه روش‌های بخش‌بندی
۱۰۵ ۴-۲-۲- جداسازی نقاط شکستگی
۱۱۱ ۴-۲-۳- دسته‌بندی نقاط جدا شده برای هر یک از شکستگی‌ها
۱۱۶ ۴-۲-۴- رسم مسیر شکستگی‌ها
۱۱۸	فصل پنجم - نتایج پیاده‌سازی الگوریتم پیشنهادی
۱۱۹ ۵-۱- مقدمه
۱۲۰ ۵-۲- نتایج حاصل از الگوریتم‌ها
۱۲۴ ۵-۳- بحث
۱۲۶	فصل ششم - نتیجه‌گیری و پیشنهادات

- ۱۲۷ ۶- نتیجه‌گیری
- ۱۲۸ ۶- پیشنهادات و کارهای آینده

فهرست اشکال

عنوان	صفحه
شکل ۲-۱ دستگاه تصویربردار FMS	۱۱
شکل ۲-۲ بالشتک و زبانه و مشخصات الکترودها در دستگاه تصویربردار FMI	۱۲
شکل ۲-۳ نحوه تزریق جریان به سازند در OBMI و آرایش الکترودها	۱۳
شکل ۲-۴ اصول کلی کار دستگاه‌های تصویربردار صوتی و انعکاس امواج از دیواره چاه	۱۴
شکل ۲-۵ تصویر خاکستری گرفته شده از چاه به‌وسیله دوربین‌های نوری	۱۵
شکل ۲-۶ مقایسه چاهنمودار تصویری الکتریکی و صوتی	۱۵
شکل ۲-۷ شکستگی در یک چاه که به‌صورت موج سینوسی دیده می‌شود	۱۷
شکل ۲-۸ شکستگی باز در تصویر الکتریکی در گل‌های رسانا به‌صورت موج‌های سینوسی تیره و سینوسی‌های سبز شده لایه‌بندی	۱۸
شکل ۲-۹ شکستگی پرشده در چاهنمودار تصویری الکتریکی در گل‌های رسانا و اثر هاله‌ای که در تصویر مغزه نیز به خوبی دیده می‌شوند	۱۹
شکل ۲-۱۰ شکستگی باز در نمودار تصویری الکتریکی در گل‌های نارسانا	۲۰
شکل ۲-۱۱ شکستگی باز در چاهنمودار تصویری صوتی UBI که به رنگ تیره دیده می‌شود	۲۱
شکل ۳-۱ بخشی از یک نمودار چاهنمودار تصویری و تعیین موقعیت یک پیکسل تصویر	۲۶

شکل ۳-۲ تصویر سمت چپ CBIL و وسط Earth Imager و سمت راست تصویر

۲۸ حاصل از الگوریتم ادغام

شکل ۳-۳ تصویرالف چاهنمودار تصویری UBI و تصویرب تصویر حاصل از فیلترینگ است

شکل ۳-۴ تصویر الف تصویر اصلی و تصویر ب تصویر حاصل

۳۰ از الگوریتم نرمالیزاسیون وزن یافته است

شکل ۳-۵ تصویر (الف) تصویر اصلی (اولیه) و تصویر(ب)

۳۱ تصویر حاصل از اعمال فیلتر میانه‌گیر

شکل ۳-۶ هیستوگرام شدت روشنایی یک تصویر که بهوسیله یک مقدار آستانه کلی می‌تواند تصویر با

۳۹ به دو بخش مجزا تقسیم کند

شکل ۳-۷ نتایج حاصل از بخش‌بندی بهوسیله روش آستانه‌گذاری کلی

۴۰ شکل ۳-۸ تأثیر نوفه روی بخش‌بندی به روش آستانه‌گذاری

شکل ۳-۹ تصویر (الف) تصویر باینری اصلی و تصویر (ب) نتیجه حاصل بعد از اعمال عملگر اروشن

۴۴ بهوسیله یک المان ساختاری دایره‌ای شکل را نشان می‌دهد

شکل ۳-۱۰ تصویر (الف) تصویر باینری اصلی و تصویر (ب) نتیجه حاصل بعد از اعمال عملگر دیلیشن

۴۵ بهوسیله یک المان ساختاری نواری شکل

شکل ۳-۱۱ (الف) المان ساختاری صاف و (ب) المان ساختاری ناصاف

۴۶ شکل ۳-۱۲ استفاده از عملگرهای مورفولوژی برای حذف نوفه

..... ۵۰	شکل ۳-۳ خوشبندی C - means
..... ۵۴	شکل ۳-۴ مراحل بخشبندی تصویر بهوسیله شبکه عصبی با ناظر
..... ۵۵	شکل ۳-۵ ساختار کلی شبکه عصبی خودسازمانده
..... ۵۹	شکل ۳-۶ الف. ساختار شبکه RBF تک خروجی و ب. ساختار شبکه RBF چند خروجی
..... ۶۱	شکل ۳-۷ توابع شعاعی
..... ۷۱	شکل ۴-۱ تصاویر نمونه
..... ۷۲	شکل ۴-۲ تصویر بخشبندی شده مرجع
..... ۷۴	شکل ۴-۳ نتایج حاصل از آشکارسازی Canny برای بخشبندی تصویر با مقادیر مختلف واریانس
..... ۷۵	شکل ۴-۴ نتایج حاصل از آشکارساز لبه Canny برای بخشبندی تصویر با مقادیر مختلف آستانه
..... ۷۸	شکل ۴-۵ تصویر خاکستری و مؤلفه‌های آن به همراه هیستوگرام روشنایی آنها
..... ۷۹	شکل ۴-۶ تصویر خاکستری و مؤلفه‌های آن به همراه هیستوگرام روشنایی آنها پس از کاهش نوفه با فیلتر میانه‌گیر
..... ۸۰	شکل ۴-۷ نتایج حاصل از بخشبندی به روش آستانه‌گذاری آتسو
..... ۸۲	شکل ۴-۸ استفاده از روش محلی آتسو و پنجره‌گذاری به منظور بخشبندی تصویر با استفاده از مقدار آستانه به کمک هیستوگرام روشنایی
..... ۸۴	شکل ۴-۹ نتایج حاصل از بخشبندی بهوسیله عملگرهای مورفولوژی با المان ساختاری مستطیلی با

۸۴	ابعاد مختلف.....
۸۶	شکل ۱۰-۴ نتایج حاصل از بخش‌بندی به وسیله عملگرهای مورفولوژی بر روی تصویر با نوفه.....
۸۷	شکل ۱۱-۴ هیستوگرام مؤلفه‌های مختلف تصویر نمونه.....
۸۹	شکل ۱۲-۴ نتایج بخش‌بندی با استفاده از C – means برای تعداد خوش‌های مختلف.....
۹۱	شکل ۱۳-۴ نمودارهای ارزیابی روش C – means با معیارهای مختلف.....
۹۲	شکل ۱۴-۴ نتیجه حاصل از بخش‌بندی با استفاده از C – means برای تصویر با نوفه.....
۹۳	شکل ۱۵-۴ نتایج بخش‌بندی با استفاده از Fuzzy C – means برای تعداد خوش‌های مختلف.....
۹۵	شکل ۱۶-۴ نمودارهای ارزیابی روش Fuzzy C – mean با معیارهای مختلف.....
۹۶	شکل ۱۷-۴ نتیجه حاصل از بخش‌بندی با استفاده از Fuzzy C – means برای تصویر با نوفه.....
۹۷	شکل ۱۸-۴ نتایج بخش‌بندی با استفاده از SOM برای تعداد خوش‌های مختلف.....
۹۹	شکل ۱۹-۴ نمودارهای ارزیابی روش SOM با معیارهای مختلف.....
۱۰۰	شکل ۲۰-۴ نتیجه حاصل از بخش‌بندی با استفاده از SOM برای تصویر با نوفه.....
۱۰۳	شکل ۲۱-۴ نمودار مقایسه عملکرد روش‌های بخش‌بندی.....
۱۰۴	شکل ۲۲-۴ تصاویر بخش‌بندی با روش‌های مختلف.....
۱۰۶	شکل ۲۳-۴ تصویر باینری چاهنمودار بخش‌بندی شده.....
۱۰۷	شکل ۲۴-۴ جداسازی پدیده‌های متداخل.....

..... ۱۰۸	شکل ۴-۲۵ تصویر حاصل از حذف نوفه و تداخل
..... ۱۰۹	شکل ۴-۲۶ مراحل جداسازی ردپاهای افقی و عمودی
..... ۱۱۰	شکل ۴-۲۷ نتایج حاصل از حذف ردپاهای غیر شکستگی
..... ۱۱۱	شکل ۴-۲۸ مسیر شکستگی جداشده با استفاده از نقاط نمونه
..... ۱۱۳	شکل ۴-۲۹ انتخاب نقطه شروع برای شکستگی
..... ۱۱۶	شکل ۴-۳۰ نتایج الگوریتم دسته‌بندی نقاط شکستگی بر روی تصاویر مصنوعی
..... ۱۱۶	شکل ۴-۳۱ نتیجه الگوریتم دسته بندی نقاط شکستگی
..... ۱۱۷	شکل ۴-۳۲ رسم مسیر شکستگی برای نقاط دسته‌بندی شده
..... ۱۱۷	شکل ۴-۳۳ ردیابی شکستگی برای چاهنمودار نمونه
..... ۱۱۹	شکل ۵-۱ فلوچارت الگوریتم پیشنهادی برای شناسایی و ردیابی شکستگی
..... ۱۲۰	شکل ۵-۲ چاهنمودارهای مورد استفاده برای بررسی الگوریتم‌های پیشنهادی
..... ۱۲۱	شکل ۵-۳ نتایج حاصل از بخش‌بندی با شبکه عصبی خودسازمانده
..... ۱۲۲	شکل ۵-۴ نتایج نهایی حاصل برای آشکارسازی نقاط شکستگی
..... ۱۲۴	شکل ۵-۵ نتایج نهایی ردیابی شکستگی بهوسیله الگوریتم پیشنهادی

فهرست جداول

عنوان	صفحه
جدول ۴-۱ نتایج ارزیابی حالت‌های مختلف تصویر بخش‌بندی شده با استفاده از روش آستانه‌گذاری آتسو.....	۸۱
جدول ۴-۲ ارزیابی نتایج بخش‌بندی با عملگرهای مورفولوژی با المان ساختاری با ابعاد مختلف.....	۸۵
جدول ۴-۳ ارزیابی نتایج بخش‌بندی با عملگرهای مورفولوژی با المان ساختاری با ابعاد مختلف برای تصویر با نوفه	۸۶
جدول ۴-۴ نتایج خوشبندی با C – means با معیارهای مختلف ارزیابی.....	۹۰
جدول ۴-۵ ارزیابی نتایج الگوریتم C – means برای تصویر با نوفه برای تعداد خوش بھینه شش.....	۹۲
جدول ۴-۶ نتایج خوشبندی با Fuzzy C – means با معیارهای مختلف ارزیابی.....	۹۴
جدول ۴-۷ ارزیابی نتایج الگوریتم Fuzzy C – means برای تصویر با نوفه برای تعداد خوش بھینه شش.....	۹۶
جدول ۴-۸ نتایج خوشبندی با SOM با معیارهای مختلف ارزیابی.....	۹۸
جدول ۴-۹ ارزیابی نتایج الگوریتم SOM برای تصویر با نوفه برای تعداد خوش بھینه شش.....	۱۰۰
جدول ۴-۱۰ مقایسه عملکرد روش‌های بخش‌بندی چاہنمودارهای تصویری.....	۱۰۲

فصل اول

مقدمہ و کلات

۱-۱ - مقدمه

با توجه به وجود ذخایر عظیم نفت و گاز در ایران به منظور پیشرفت و بهره‌وری حداکثر از منابع موجود کار در این حوزه و صنعت از توجه ویژه‌ای برخوردار است. به همین دلیل شناسایی و شناخت دقیق مخازن کربناته اهمیت بسزایی در این صنعت دارد. با پیشرفت علم و تکنولوژی‌های جدید استفاده از ابزارها و روش‌های جدید به منظور افزایش سرعت کار، کاهش هزینه‌ها و ریسک می‌تواند در این حوزه استفاده شود. به همین دلیل روش‌ها و تکنیک‌های هوشمند در این حوزه بجای روش‌های قدیمی و دستی مورد توجه خاص در این صنعت قرار گرفته است.

شناسایی دقیق پدیده‌های موجود در مخازن با روش‌های هوشمند به منظور بهره‌برداری با راندمان بالاتر از مخازن کربناته بسیار مهم است. شکستگی‌ها یکی از مهمترین پارامترهای تأثیرگذار در بهره‌برداری و اکتشاف مخازن و در حوزه‌های دیگر مثل مکانیک سنگ و منابع آب هستند [۱, ۲, ۳].

استفاده از تکنیک‌های آنالیز و پردازش تصویر می‌تواند منجر به رسیدن به نتایج قابل قبول در این حوزه شود. ولی با وجود اهمیت شکستگی‌ها شاید به خاطر پیچیدگی‌های موجود در این زمینه مانند کیفیت ضعیف تصاویر و وجود پدیده‌های بسیار مشابه به هم در تصاویر و... کمتر مورد توجه و کار قرار گرفته است [۱].

۲-۱ - ضرورت انجام کار

شکستگی را می‌توان به عنوان مهمترین پارامتر موثر در بهره‌برداری و اکتشاف میادین مواد کربناته دانست. شکستگی‌ها نقش موثری را در حرکت سیال و پایداری دیواره چاه دارند.

شناسایی شکستگی به وسیله چاهنماودارهای تصویری به دلایلی از جمله هزینه و زمان کمتر نسبت به سایر روش‌های شناسایی مخزن مانند تست مغزه و نیز بنا به دلایلی مثل عدم امکان شناسایی پدیده‌های بزرگ‌تر از قطر مغزه با تست مغزه و امکان‌پذیر نبودن برداشت‌های متعدد مغزه در یک منطقه، مورد توجه و استفاده ویژه قرار دارند. اما از طرفی به دلیل پیچیدگی‌های مخزن شناسایی دقیق و دستی شکستگی‌ها و سایر پدیده‌ها در چاهنماودارهای تصویری کاری مشکل و حتی در برخی موارد امکان‌نایپذیر و وقت‌گیر است، لذا استفاده از روش‌های هوشمند و اتوماتیک می‌تواند به کاهش این مشکلات کمک کند.

۱-۳-۱ - اهداف

در حال حاضر به دلیل پیچیدگی‌های موجود در شناسایی شکستگی، روش هوشمند و اتوماتیکی وجود ندارد و در این زمینه کار جامعی صورت نگرفته است، لذا به سبب اهمیت شکستگی، هدف در این تحقیق ارائه الگوریتم و روشی برای شناسایی شکستگی‌ها در چاهنماودارهای تصویری به صورت هوشمند است. در این تحقیق ابتدا مروری بر تحقیقات پیشین شده و سپس به دنبال توسعه الگوریتمی جامع‌تر برای شناسایی و ردیابی شکستگی در مخازن کربناته خواهد بود.

مقایسه نتایج حاصل از الگوریتم‌ها با نتایج حاصل از تفسیر دستی انجام شده توسط کارشناسان این بخش صورت خواهد گرفت. زیرا تنها مرجع موجود برای ارزیابی نتایج هوشمند حاصل، تفسیرهای دستی است. این تحقیق تنها بر شکستگی‌های طبیعی باز مخازن که به صورت موج‌های سینوسی تکه تکه در تصاویر چاه ظاهر می‌شوند، متمرکز شده است.

۴-۱ مروری بر کارهای قبلی

وو^۱ و همکارانش در سال ۲۰۰۴ به بهبود تصاویر مخازن کربناته با استفاده از ترکیب انواع مختلف چاه-نمودارهای تصویری یک چاه پرداختند. در نتیجه بهبود تصاویر حاصل، تشخیص شکستگی در این تصاویر توسط کارشناسان راحت‌تر می‌توانست صورت گیرد [۴]. ونگ^۲ در سال ۲۰۰۵ با استفاده از الگوریتم valley-edge بدون استفاده از مقادیر آستانه به آشکارسازی لبه‌ها برای یافتن شکستگی در سنگ‌ها در تصاویر CCD گرفته شده از سنگ‌ها پرداخت. وی با استفاده از تکنیک چند مقیاسی برای آشکارسازی لبه‌ها از به وجود آمدن نوفه در تصاویر خودداری کرد [۲]. وی در سال ۲۰۰۷ با استفاده از تصاویر گرفته شده از سنگ با دوربین‌های پیشرفته CCD به پیاده‌سازی الگوریتم جدیدی برای شناسایی شکستگی در این تصاویر پرداخت. وی بعد از حذف نوفه با فیلتر میانه‌گیر^۳ به بخش‌بندی تصویر مبتنی بر لبه پرداخت و با استخراج یازده ویژگی با استفاده از کلاسه‌بند ماشین بردار پشتیبان^۴ به جدا کردن شکستگی از سایر پدیده‌ها در تصاویر پرداخت [۳]. رویلین^۵ در سال ۲۰۰۵ با استفاده از تبدیل موجک^۶ دو بعدی به بخش‌بندی تصاویر مخازن کربناته پرداخت. وی زیر تصاویر شکستگی و تخلخل را از تصویر چاه جدا کرد [۵]. خروبی^۷ در سال ۲۰۰۸ به جداسازی ردپاهای شکستگی با عملیات‌های مورفولوژیکی پرداخت. سپس با اطلاعات اولیه در مورد لایه‌شناسی چاه، به یافتن جهت

¹ Wu

² Wang

³ median

⁴ Support vector machine (SVM)

⁵ Ruilin

⁶ wavelet

⁷ Kherroubi

اصلی شکستگی پرداخت و سپس با الگوریتم خوشبندی به جداسازی شکستگی از سایر پدیده‌ها و دسته‌بندی رده‌های متعلق به یک شکستگی پرداخت [۱].
ونگ در سال ۲۰۱۰ با استفاده از تصویر ماوراء بنفس گرفته‌شده از سنگ‌ها در کنار تصاویر نوری به آشکارسازی لبه‌ها پرداخت. وی با استفاده از آشکارساز لبه Canny و آستانه‌گذاری، لبه‌ها را آشکار کرد. سپس به حذف نویه و نازک‌سازی پرداخت و سپس نقاط اتصال شکستگی‌ها را یافت. در ادامه به اتصال تکه‌های مربوط به یک شکستگی و پرکردن بریدگی‌ها پرداخت [۶]. وی در سال ۲۰۱۰ به وسیله روشی جدید برای آشکارسازی لبه‌ها از نوع خاصی از شبکه عصبی به نام PCNN^۱ برای شناسایی شکستگی‌ها استفاده کرد [۷].

۱-۵- ساختار پایان‌نامه

در فصل اول، مقدمه و کلیات پایان‌نامه مورد اشاره قرار گرفت. در فصل دوم مباحث نفتی پایان‌نامه آورده خواهد شد. در این فصل چاهنماههای تصویری معرفی شده و پدیده شکستگی در تصاویر مذکور معرفی خواهد شد. در فصل سوم کلیات و تئوری‌های مربوط به آنالیز و پردازش تصاویر چاه برای شناسایی شکستگی معرفی می‌شوند. در ابتدا مروری بر مراحل مختلف پردازش تصویر برای شناسایی شکستگی می‌شود. سپس الگوریتم‌های هر بخش به طور جداگانه معرفی می‌شوند. در فصل چهارم به بیان ریز و دقیق و گام به گام کارهای عملی و الگوریتم‌های پیشنهادی انجام شده در این تحقیق برای شناسایی شکستگی پرداخته می‌شود. با استفاده از الگوریتم‌های معرفی شده در فصل قبل، این الگوریتم‌ها بر روی تصویر نمونه پیاده‌سازی شده و نتایج آن‌ها بررسی و تحلیل می‌شود. در فصل پنجم به بررسی نتایج الگوریتم پیشنهادی پرداخته می‌شود. الگوریتم پیشنهادی بر روی چاه-

¹ Pulse coupled neural network

نمودارهای تصویری نمونه پیاده‌سازی می‌شود و در هر مرحله از الگوریتم نتایج حاصل نشان داده خواهد شد. در فصل ششم نتیجه‌گیری و پیشنهادات حاصل از این تحقیق بیان می‌شود. با توجه به نتایج به‌دست آمده از الگوریتم پیشنهادی، نقاط قوت و ضعف الگوریتم بیان می‌شود. برای بهبود و توسعه الگوریتم پیشنهادی و نیز کارهای آینده پیشنهادتی در پایان بیان می‌شود.

فصل دوم

شکستگی ها در حادثه مودارهای تصویری

۱-۲- مقدمه

لاگ برداری از دیواره چاه، به معنای اندازه‌گیری خواص فیزیکی سنگ‌های دیواره چاه با روش‌های مختلف به منظور بررسی ویژگی‌ها و پدیده‌های موجود در دیواره و تبدیل این سیگنال‌ها به تصاویر مجازی، به منظور به تصویر کشیدن پدیده‌ها و ویژگی‌ها می‌باشد [۸].

هر نوع گسیختگی یا جدایش فیزیکی سنگ که ناشی از فزونی تنش‌ها بر مقاومت سنگ باشد که ممکن است به دلیل مکانیزم‌های طبیعی، عوامل حفاری و... در سنگ صورت گیرد شکستگی^۱ نامیده می‌شود [۹].

شکستگی را می‌توان به عنوان مهمترین پارامتر مؤثر در بهره‌برداری و اکتشاف میادین مواد کربناته دانست. این پدیده نقش بسیار مهمی را در مدل‌سازی چاههای کربناته دارد. شکستگی‌ها پارامتری تعیین کننده برای پایداری دیواره چاه و حرکت سیال در چاههای کربناته هستند.

۲-۲- تصویربرداری از چاه

در تصویربرداری از دیواره چاه پس از اندازه‌گیری خواص فیزیکی سنگ‌های دیواره مخازن با روش‌های مختلف، به منظور بررسی ویژگی‌ها و پدیده‌های موجود در دیواره، این سیگنال‌ها به تصاویر مجازی که این پدیده‌ها و ویژگی‌ها را به تصویر می‌کشند تبدیل می‌شوند [۹].

به طور کلی با توجه به خاصیت مورد اندازه‌گیری سه تکنولوژی را می‌توان برای دستگاه‌های تصویربردار نام برد:

¹ Fracture

- تصویر برداری الکتریکی: در این روش از اختلاف مقاومت الکتریکی عوارض دیواره چاه برای به تصویر کشیدن آنها استفاده می‌شود.
- تصویر برداری صوتی: تصویر به دست آمده از این روش، حاصل اختلاف تباين صوتی عوارض دیواره چاه است که به دو صورت زمان گذرا امواج مافوق صوت و دامنه امواج مافوق صوت نمایش داده می‌شود.
- تصویربرداری نوری: در این روش با استفاده از یک منبع نوری و دوربین‌های ویدویی با لنزهای مخصوص به تصویربرداری از دیواره چاه می‌پردازند.

۱-۲-۲- روش تصویربرداری الکتریکی

این روش ابتدا در سال ۱۹۸۰ به عنوان تکنولوژی شیب سنجی^۱ معرفی شد. توسعه دستگاه‌های شیب سنج با تعداد بیشتر الکترود منجر به پیدایش و شکل‌گیری این دستگاه‌ها گردید. به منظور بهبود دستگاه‌های شیب سنج تعداد الکترودهای موجود در هر صفحه^۲ را افزایش دادند که این مسئله منجر به رسیدن به تصاویری با درجه تفکیک^۳ مناسب برای تشخیص شکستگی و لایه‌بندی‌ها در چاه‌ها شد که این دستگاه‌ها را تصویربردار الکتریکی نامیدند. این ابزارها با استفاده از یکسری الکترود نصب شده روی بالشتک‌ها قادر به اندازه‌گیری مقاومت میکرو یا هدایت میکرو در دیواره چاه هستند [۹]. دو کاربرد اصلی این دستگاه‌ها در شناسایی شکستگی‌ها و شناسایی و ارزیابی مخزن به وسیله‌ی تصاویر با درجه تفکیک بالا است. نسل‌های اول این دستگاه‌ها دارای چهار بالشتک بودند که هر بالشتک حاوی تعدادی الکترود برای تزریق جریان متناوب با فرکانس‌های خیلی پایین به دیواره چاه بودند.

¹ Dipmeter

² Pad

³ resolution

در اوایل سال ۱۹۹۰ نیاز به تصاویر با پوشش بیشتر دیواره چاه منجر به ورود دستگاههای الکتریکی با شش بازو که قادر به پوشش٪۸۰ دیواره چاه بودند شد. همچنین در دستگاههای چهار بازویی تعداد الکترودهای هر صفحه را افزایش دادند [۱۰].

با توجه به اینکه گلهای حفاری که در حفاری و تصویربرداری استفاده می‌شوند در دو نوع گل-های رسانا (پایه آب) و نارسانا (پایه نفت) هستند به طور کلی می‌توان دستگاههای تصویربردار الکتریکی را به دو دسته زیر تقسیم کرد:

الف) دستگاههای تصویربردار الکتریکی در گلهای رسانا (پایه آب)

در این دستگاهها تصویربرداری از طریق اندازه‌گیری مقاومت یا هدایت عوارض دیواره چاه در حالی که گل حفاری از نوع رسانا است صورت می‌گیرد. جریان تزریقی به سازند وارد دیواره شده و از گل حفاری عبور و به دیواره می‌رسد.

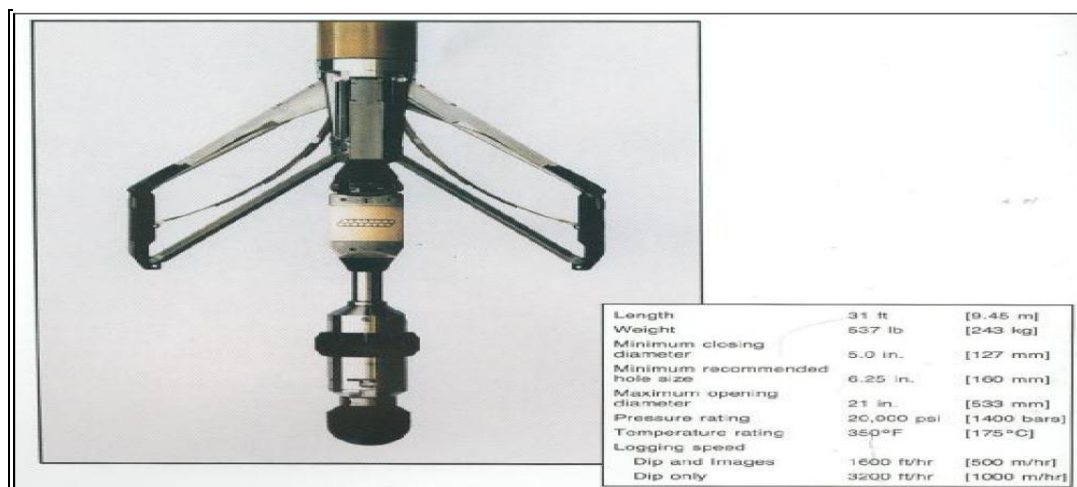
در زیر برخی از انواع این دستگاهها معرفی می‌شود:

• چاه نمودار^۱ FMS

FMS نسل اول دستگاههای تصویربردار الکتریکی است که توسط شرکت شلومبرژه تولید شده است. انواع اولیه آن دارای دو بالشتک بوده که هر کدام دارای ۲۷ الکترود در چهار ردیف هستند و برای اندازه‌گیری مقاومت میکرو به کار می‌روند (شکل ۱-۲). این دستگاه در چاه ۸/۵ اینچی دارای پوشش ۲۰٪ است که جهت افزایش پوشش نمودارگیری، برداشت مجدد با چرخش دستگاه توصیه می‌شود. دستگاه چهار بالشتکی دارای ۱۶ الکترود در هر بالشتک است و جمعاً با اندازه‌گیری ۶۴ نمودار دارای پوشش ۴۰٪ در چاههای به قطر ۸/۵ اینچی خواهد بود. در طی نمودارگیری هر میکروالکترود یک

^۱Formation Micro Scanner

جريان را به داخل سازند تزریق می‌کند. اندازه‌گیری شدت تغییرات جریان الکتریکی که تغییرات مقاومت میکرو سازند را منعکس می‌کند به تصاویری با شدت رنگ‌های مختلف خاکستری یا رنگی تبدیل می‌کند.

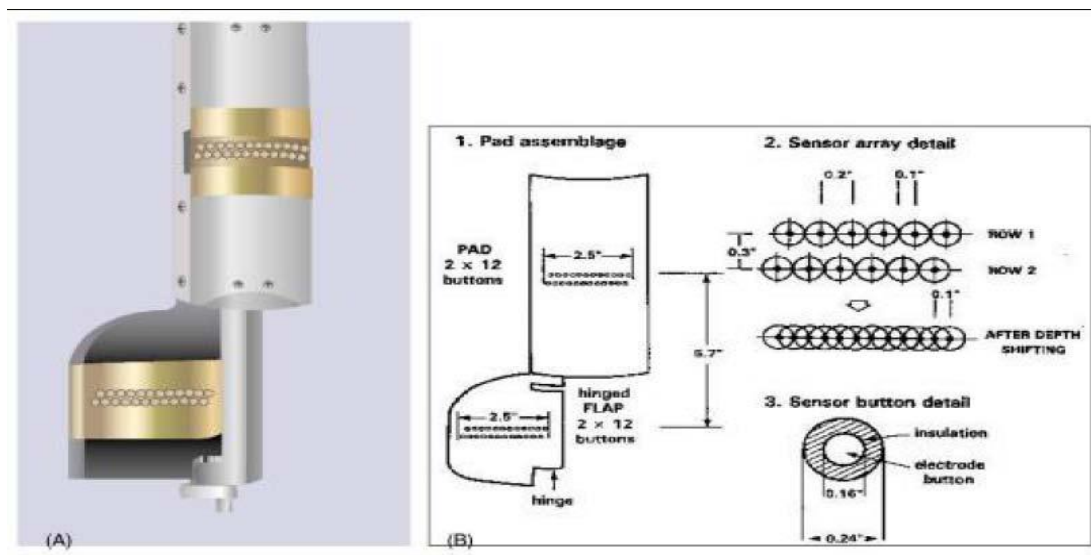


شکل ۲-۱ دستگاه تصویربردار FMS [۹]

• چاه نمودار^۱ FMI

نسل دوم دستگاه‌های تصویربردار الکتریکی درون‌چاهی است. در واقع یک زبانه به هر بازو نصب شده و در هر بالشتک و زبانه ۲۴ الکترود قرار دارد که باعث می‌شود، پوشش دیواره چاه تا ۸۰٪ افزایش یابد (شکل ۲-۱). قدرت تفکیک FMI، ۵ میلی متر) بوده و توانایی تشخیص جزئیات تا ۵۰ میکرون را دارد. امروزه برای کاهش تعداد برداشت‌ها و افزایش پوشش دیواره چاه، FMI به ترجیح داده می‌شود.

^۱ Fullbore Formation Micro Imager



شکل ۲-۲ بالشتک و زبانه و مشخصات الکترودها در دستگاه تصویربردار FMI [۹]

ب) دستگاههای تصویربردار الکتریکی در گل‌های نارسانا (پایه نفت)

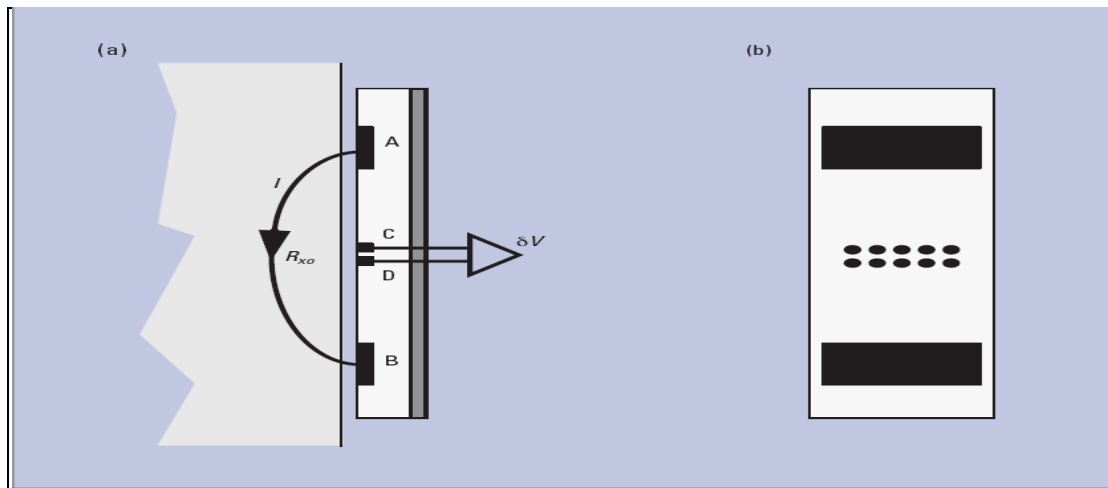
در این دستگاهها تصویربرداری از طریق اندازه‌گیری مقاومت میکرو^۱ یا هدایت میکرو^۲ عوارض دیواره چاه در حالی که گل حفاری از نوع نارسانا است، صورت می‌گیرد. جریان تزریقی به سازند را به منظور امکان وارد شدن به دیواره با فرکانس‌های بالاتر تزریق می‌کنند تا بتواند از لایه عایق گل حفاری گذشته و وارد دیواره سازند شود ولی در عوض عمق نفوذ در دیواره کم می‌شود.

در برخی از چاهها به خاطر خصوصیات سنگ مخزن، از گل پایه نفت استفاده می‌شود. این گل‌ها رسانایی الکتریکی پایینی داشته و امکان استفاده از ابزارهای تصویربردار الکتریکی معمولی مانند FMS و FMI وجود ندارد. بنابراین در این چاهها ابزارهایی که قابلیت استفاده در گل‌های نارسانا را داشته باشند، به کار گرفته می‌شوند. افزایش استفاده از مواد نفتی و مصنوعی برای کاهش ریسک حفاری و از طرفی کیفیت تصویر برداشتی از سازند چالش‌هایی بودند که در تصویربردارهای الکتریکی

¹ MicroResistivity

² MicroConductivity

معمولی وجود داشت [۹]. نمونه‌ای از این دستگاه‌ها OBMI است که در شکل (۲-۳) عملکرد تزریق جریان برای تصویربرداری نشان داده شده است.



شکل ۲-۳ نحوه تزریق جریان به سازند در OBMI و آرایش الکترودها [۱۱]

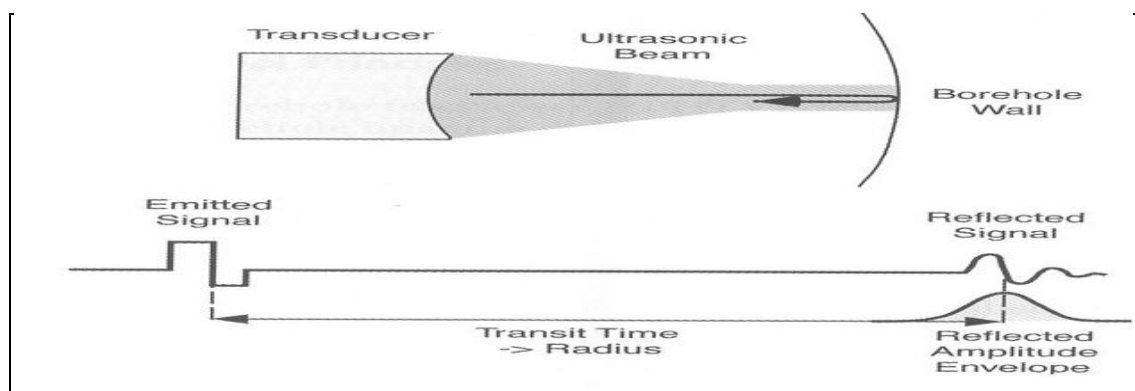
۲-۲-۲- روش تصویربردار صوتی

این تکنولوژی به وسیله شرکت Mobile در سال ۱۹۶۰ با نام نمایشگر چاه وارد صنعت نفت شد و اولین تکنولوژی مورد استفاده در صنعت نفت برای تصویربرداری بود. نمایشگرهای چاه قادر به اسکن دیواره چاه به وسیله امواج بازگشتی مافوق صوت از دیواره چاه هستند که تصاویر حاصل نتایج و ویژگی‌های جالبی را از دیواره چاه مانند شکستگی، لایه‌بندی و... فراهم می‌کند. این ابزارهای صوتی وسایلی با مقطع دایره‌ای هستند که شامل یک فرستنده پیزوالکتریک^۱ با سرعت چرخش ۱۲-۴ rps می‌باشد. در چاه می‌چرخد و امواجی را به صورت پالس در فرکانس‌های آلتراسونیک به دیواره چاه می‌فرستند [۸]. در این دستگاه‌ها فرستنده نقش گیرنده را نیز دارد و به اندازه‌گیری زمان رفت و برگشت و دامنه پالس منعکس شده از دیواره چاه در هر بار چرخش می‌پردازند. این تجهیزات در هر دو نوع گل‌های رسانا و نارسانا حفاری قابل استفاده هستند [۱۰]. امواج منتشرشده از منبع پیزوالکتریک پس از

^۱Piezoelectric transducer

برخورد به دیواره چاه منعکس شده و سپس به گیرنده که فرستنده، خود نقش آن را نیز بازی می‌کند بازمی‌گردد (شکل ۲-۴). در امواج بازگشتی دو کمیت زمان رفت و برگشت امواج ارسالی به دیواره چاه و دامنه امواج بازگشتی به گیرنده اندازه‌گیری می‌شود.

مزیت برجسته‌ای که این دستگاه‌های صوتی نسبت به الکتریکی دارند، قابلیت آن‌ها در تصویربرداری در حفاری‌های گل پایه نفت مانند پایه آب است.



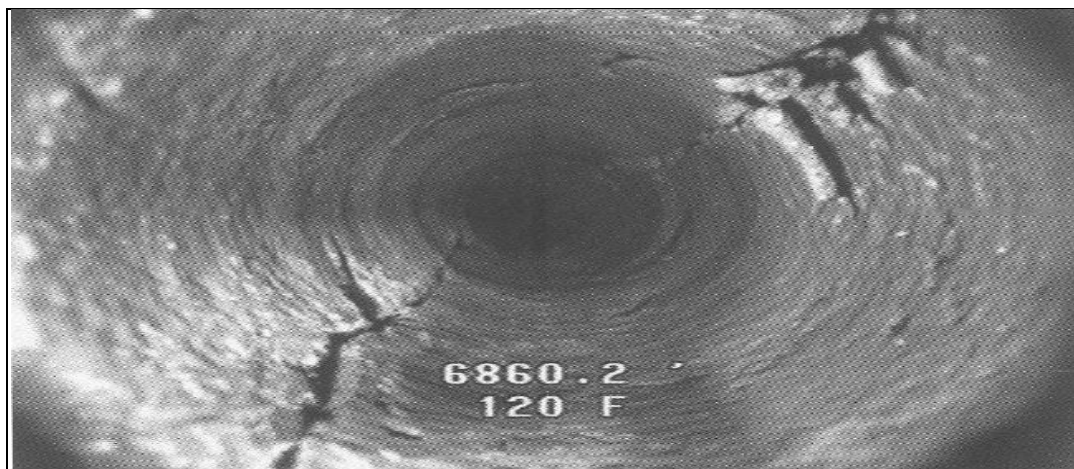
شکل ۲-۴ اصول کلی کار دستگاه‌های تصویربردار صوتی و انعکاس امواج از دیواره چاه [۸]

۳-۲-۲- تصویربرداری نوری از چاه

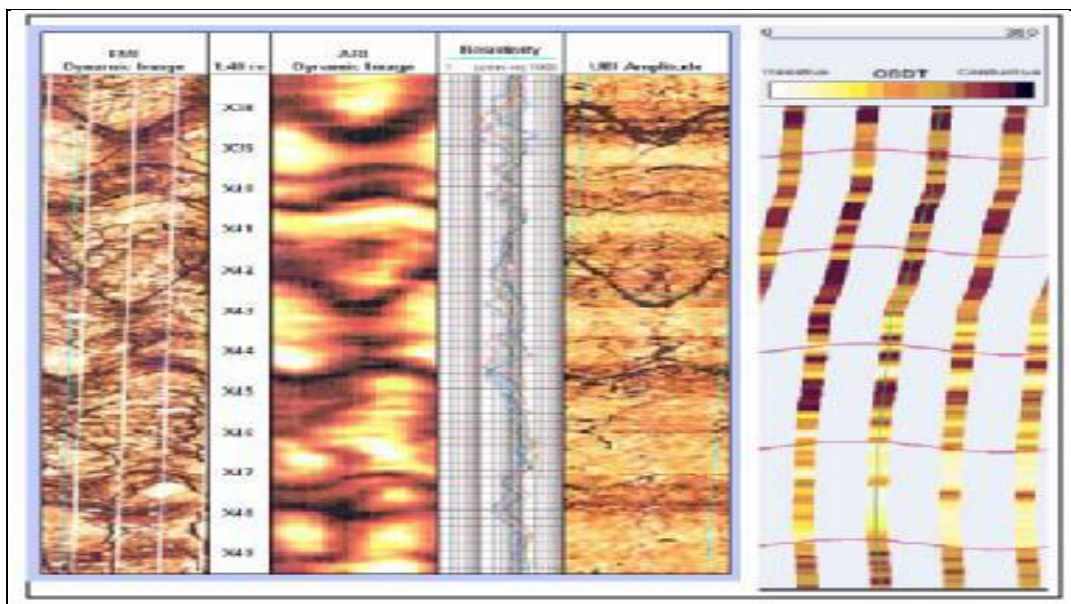
تصویربرداری نوری، قدیمی‌ترین نوع تصویربرداری در چاه‌ها است. دستگاه‌های اولیه آن‌ها دوربین‌های ساده عکاسی بودند که به‌وسیله یک کابل به عمق چاه فرستاده می‌شدند. در سیتم‌های اولیه پس از عکسبرداری تصاویر به سر چاه ارسال می‌شدند تا این‌که سیستم فیلمبرداری وارد صنعت شد [۸]. مدل‌های متفاوتی از این دستگاه‌ها با تصاویر رنگی یا سیاه و سفید با کیفیت بالا و قدرت چرخش کامل دوربین عرضه شده است (شکل ۲-۵). این دوربین‌ها در چاه‌های قائم به کار گرفته شده‌اند، اما می‌توان از طریق لوله مغزی در چاه‌های افقی نیز به کار روند [۹]. گل حفاری مورد استفاده در چاه‌های باز معمولاً شفاف بوده، درنتیجه امکان استفاده از این ابزارها در این‌گونه چاه‌ها فراهم می‌شود. حتی در تصویربرداری‌های در حین حفاری که سیال حفاری آب است امکان استفاده از این دستگاه‌ها وجود

فصل دوم: شکنی هادچاہ نمودارهای تصویری

دارد. درجه تفکیک تصاویر حاصل از این دوربین‌ها حداقل به اندازه یک درجه از سایر دستگاه‌ها بالاتر است [۸].



شکل ۲-۵ تصویر خاکستری گرفته شده از چاه به وسیله دوربین‌های نوری [۸]



شکل ۲-۶ مقایسه چاهنمودار تصویری الکتریکی و صوتی (چاهنمودار تصویری الکتریکی به خاطر حساسیت بیشتر سازند اطلاعات ریزتر و بیشتری را ثبت کرده است.) [۹]

۳-۲- شکستگی

هر نوع گسیختگی یا جدایش فیزیکی سنگ که ناشی از فروزنی تنש‌ها بر مقاومت سنگ باشد که ممکن است به دلیل مکانیزم‌های طبیعی، عوامل حفاری و... در سنگ صورت گیرد شکستگی^۱ نامیده می‌شود.

شکستگی‌های طبیعی در مخازن شامل شکستگی‌های بزرگ مقیاس و کوچک مقیاس هستند. شکستگی‌های بزرگ مقیاس مانند گسل‌ها در مقاطع لرزه‌ای مشخص بوده، در حالیکه برای شناسایی شکستگی‌های کوچک مقیاس اطراف چاه، بیشتر روش‌ها مانند نمودارهای چاهنگاری، آزمایش چاه، اطلاعات هرزوی گل به دلیل قدرت تفکیک پایین دقت کافی را ندارند. توصیف مغزه‌ها، روش مناسبی برای پی‌بردن به پدیده‌های ریز دیواره چاه است. با این حال مغزه‌ها نیز برای شناسایی شکستگی‌های دیواره چاه دارای محدودیت‌هایی مثل ضربی بازیافت پایین در زون‌های شکسته و هزینه بالا و هستند [۹].

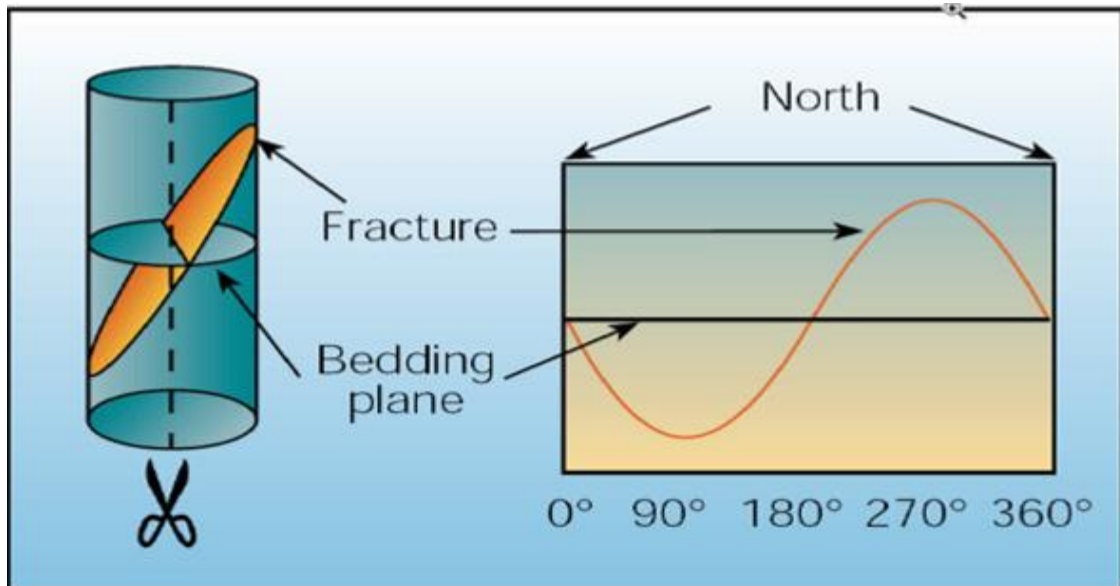
به دلیل اهمیت بالای شکستگی‌های کوچک مقیاس در مخازن به طور طبیعی شکسته شده، تکنولوژی جدیدی برای شناسایی شکستگی‌ها در صنعت نفت به نام نمودارهای تصویری پا به عرصه صنعت نفت گذاشتند [۹].

۱-۳-۲- شکستگی در چاه نمودارهای تصویری

چاه نمودار تصویری، تصویری استوانه‌ای از دیواره چاه است. هر پدیده صفحه‌ای شکل، مانند لایه‌بندی و شکستگی که چاه را به صورت غیر قائم قطع کرده باشد، در استوانه چاه به شکل بیضی دیده می‌شود. در صورتی که استوانه در امتداد محورش بریده و باز شود یعنی همان شکلی که در نمودار تصویری

^۱ Fracture

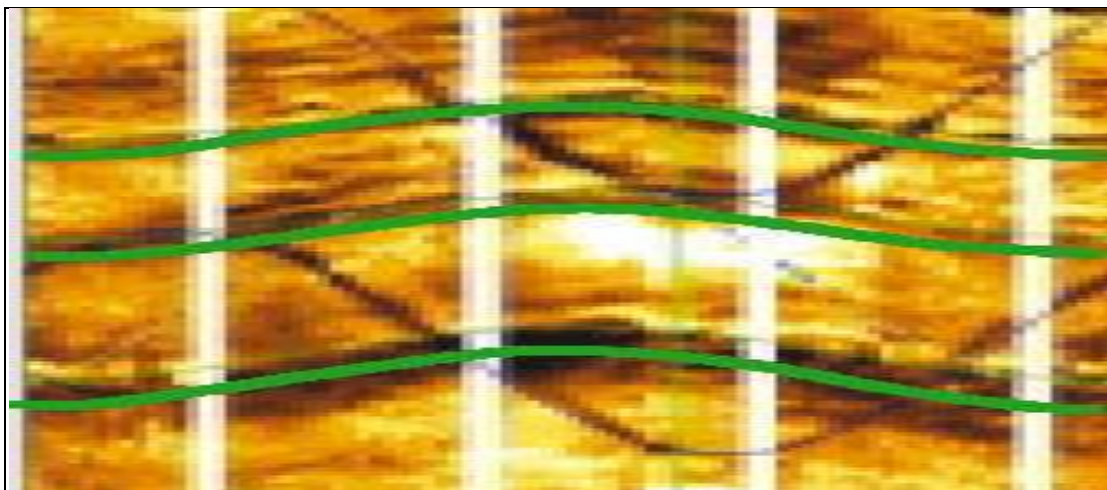
نمایش داده می شود شکستگی یا لایه بندی به صورت یک موج سینوسی ظاهر می شود (شکل ۷-۲) [۹].



شکل ۷-۲ شکستگی در یک چاه که به صورت موج سینوسی دیده می شود.

الف) شکستگی های باز در چاه نمودار تصویری الکتریکی در گل های رسانا

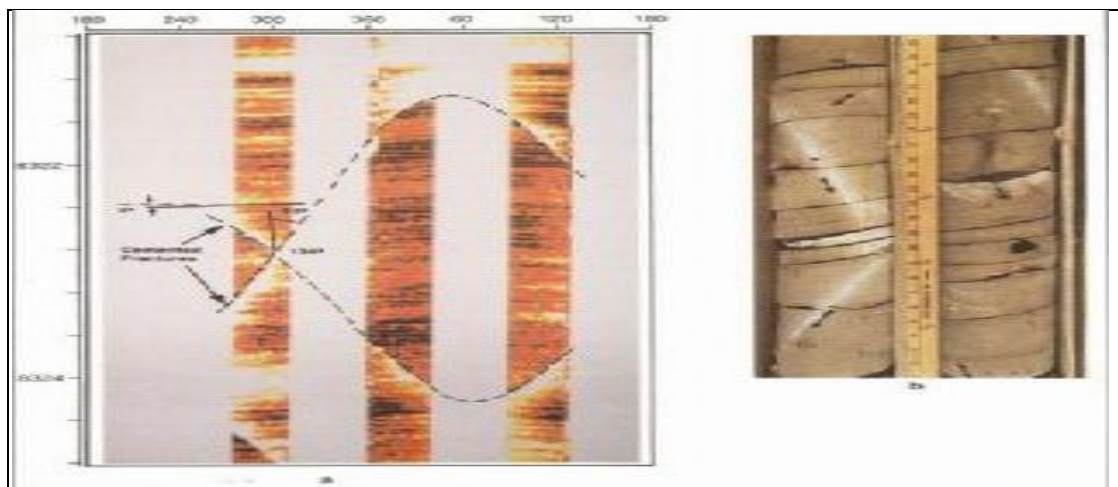
دهانه این شکستگی ها به وسیله گل حفاری پر می شود و اگر گل رسانا باشد مقاومتی که در این قسمت توسط نمودار تصویری ثبت می شود بسیار کمتر از زمینه سنگ است بنابراین شکستگی باز به صورت یک موج سینوسی کامل یا ناپیوسته و تیره رنگ در نمودار تصویری دیده می شود (شکل ۷-۸). این شکستگی های باز ممکن است در تمام بالشتک ها ظاهر نشوند. حداقل عرض قابل مشاهده شکستگی به اندازه قطر یک الکترود است (۵ الی ۶ میلی متر) [۹].



شکل ۲-۸ شکستگی باز در چاه نمودار تصویری الکتریکی در گل های رسانا به صورت موج های سینوسی تیره و سینوسی های سبز شده لایه بندی [۹]

ب) شکستگی های پرشده در چاه نمودار تصویری الکتریکی در گل های رسانا

شکستگی های پرشده به وسیله کانی ها، به صورت پدیده های ریز یا بسیار ریز، کشیده و تقریباً مستقیم با مقاومت الکتریکی بالا (رنگ روشن) و به شکل قائم یا مایل، در چاه نمودارهای تصویری دیده می - شوند (شکل ۲-۹). ضخامت حداقل شکستگی ها که توسط این چاه نمودارها قابل شناسایی است به اندازه قطر یک الکترود است (۵ یا ۶ میلی متر). علاوه بر آن، زمانی که دستگاه از یک شکستگی پرشده عبور می کند یک اختلاف مقاومت (تیره یا روشن) بین دو طرف صفحه شکستگی به دلیل پراکندگی جریان تزریق شده به دیواره چاه در محل شکستگی های مایل به وجود می آید که به آن اثر هاله ای گفته می شود که یکی از علائم شناسایی شکستگی پرشده است (شکل ۹-۲) [۹].



شکل ۲-۹ شکستگی پرشده در چاه نمودار تصویری الکتریکی در گل‌های رسانا و اثر هاله‌ای که در تصویر مغزه نیز به خوبی دیده می‌شوند [۹]

ج) شکستگی‌های باز و پرشده در چاه نمودار تصویری الکتریکی در گل‌های

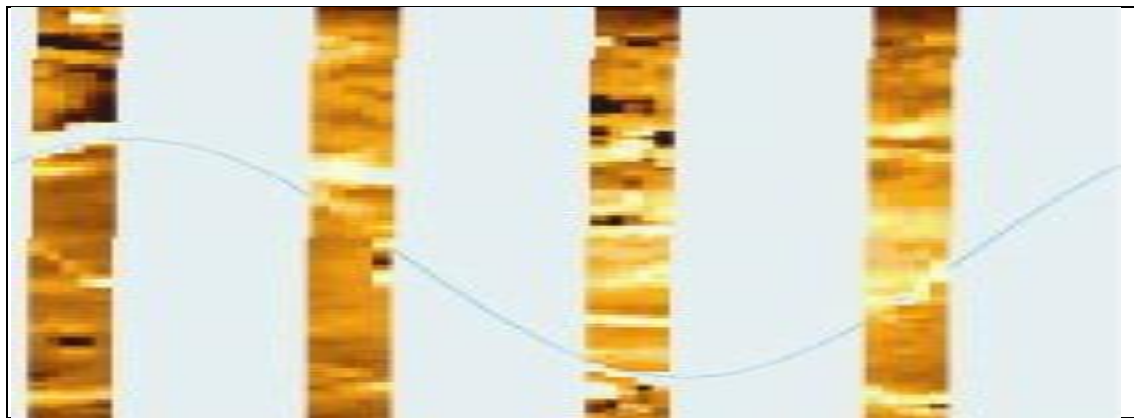
نارسانا

دستگاه OBMI¹ برای تصویربرداری از دیواره چاه در گل‌های نارسانا (نفت پایه) به کار می‌رود. در این گل‌ها به دلیل مقاومت بالای گل نمی‌توان از دستگاه‌های معمول تصویربرداری مانند FMS و FMI استفاده کرد [۹]. بنابراین از تکنولوژی دیگری برای تزریق جریان به سازند استفاده می‌شود. دستگاه تصویربردار OBMI جریان الکتریکی را با فرکانس بسیار بالا وارد سازند کرده و از طریق محاسبه مقاومت سازند از دیواره چاه تصویربرداری می‌کند.

شکستگی‌ها در این نمودار متفاوت از FMS و FMI است. در این نمودارها شکستگی‌های باز به رنگ روشن دیده می‌شوند (شکل ۲-۱۰). زیرا در شکستگی باز گل حفاری با مقاومت الکتریکی بالا وارد شکستگی شده و در نمودار به صورت رنگ روشن ظاهر می‌شود. همچنین شکستگی‌های پرشده نیز به صورت روشن دیده می‌شوند زیرا ماده پرکننده شکستگی مقاومت بیشتری از زمینه سازند داشته و در نمودار تصویری روشن‌تر از زمینه دیده می‌شود (شکل ۲-۱۰). در نمودارهای تصویری الکتریکی

¹ Oil base micro imager

در گل های نارسانا مانند OBM¹ شکستگی های باز و پرشده ظاهر یکسانی داشته و برای تفکیک آن ها از هم از نمودار صوتی UBI¹ استفاده می شود [۹].

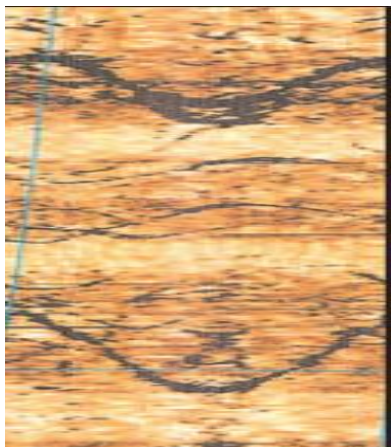


شکل ۲-۱۰ شکستگی باز در چاه نمودار تصویری الکتریکی در گل های نارسانا [۹]

د) شکستگی باز و پرشده در چاه نمودار تصویربردار صوتی

در دستگاه تصویربردار IUBI سیگنال هایی مافوق صوت به سمت دیواره چاه فرستاده می شود. زمان رفت و برگشت سیگنال فرستاده شده و دامنه سیگنال برگشتی ثبت می شود. دامنه های ثبت شده تبدیل به تصویر دیواره چاه و زمان رفت و برگشت تبدیل به شکل دیواره چاه می شود. در نمودار UBI شکستگی های باز به رنگ تیره دیده می شوند. زیرا گل که شکستگی باز را پر می کند باعث کاهش دامنه سیگنال می شود (شکل ۲-۱۱). شکستگی های پرشده به رنگ روشن تر دیده می شوند زیرا ماده پر کننده شکستگی ها معمولاً متراکم و چگال است و کمتر باعث تضعیف دامنه سیگنال می شود [۹].

¹ Ultrasonic borehole imager



شکل ۲-۱۱ شکستگی باز در چاه نمودار تصویری صوتی UBI که به رنگ تیره دیده می شود [۹]

فصل سوم

بردازش تصویر

۱-۳- مقدمه

با حضور تصویربردارهای الکتریکی چاه برای اولین بار ضرورت استفاده از تکنیک‌های پردازش تصویر روی داده‌های لاگ‌برداری شده، احساس شد. هدف اصلی از پردازش تصویر بر روی داده‌ها، بهبود کیفیت تصاویر برداشتی از چاه به وسیله حذف نوافه و پدیده‌های ناخواسته در تصویر، بهبود کنتراست تصویر و شناسایی دقیق‌تر، بهتر و آسان‌تر پدیده‌های زمین‌شناسی مخزن مانند شکستگی‌ها، گسل‌ها و لایه‌بندی‌ها است.

شکستگی‌های طبیعی یکی از مهمترین پارامترها در پایداری و حرکت سیال در مخازن نفت هستند. در حال حاضر هیچ الگوریتم شناسایی اتوماتیک شکستگی در چاه‌نمودارهای تصویری به طور قابل قبول و مؤثری وجود ندارد، لذا نیاز به زمان زیادی برای تفسیر تصاویر توسط زمین‌شناسان وجود دارد. از طرفی درجه اطمینان از صحت شناسایی شکستگی و تفسیرها در برخی موارد یکسان نیست. با توجه به درجه تفکیک بالای تصاویر چاه، این تصاویر بهترین ابزار برای بررسی عوارض دیواره چاه به صورت دیداری هستند [۱].

آنالیز تصویر و الگوریتم‌های هوش مصنوعی نشان می‌دهد که به کمک این تکنیک‌ها و ابزارها می‌توان عوارض زمین‌شناسی را با دقت بهتر از تصاویر استخراج کرد. آنالیز کمی شکستگی‌ها و خواص آن‌ها مانند تخلخل، دهانه شکستگی، نفوذپذیری و چگالی برای پیش‌بینی و مدلسازی مخازن و قابلیت استخراج و بهره‌برداری از مخازن ضروری هستند [۱].

با وجود اهمیت بحث شکستگی در حوزه اکتشاف نفت، تصمیم‌گیری اتوماتیک در مورد شکستگی‌ها در تصاویر چاه برای مدت‌ها مورد توجه جدی قرار نگرفته است که شاید بخاطر پیچیدگی‌های موجود در این حوزه باشد [۱].

جداسازی شکستگی‌ها واقعاً کار بسیار سختی است. زیرا کنتراست تصاویر اکثراً ضعیف، ضخامت آن-ها تغییرپذیر و یک مسیر شکستگی به صورت ناپیوسته و تکه تکه است و به صورت منسجم، یکپارچه و پیوسته نیست [۱]. برای شناسایی شکستگی و جمع‌آوری آن‌ها روش‌های اندازه‌گیری معمول و دستی نامطلوب و بسیارکند هستند و از طرفی در بسیاری موقع دسترسی به سطوحی از توده‌ی زیاد سنگ امکان‌پذیر نیست. تحقیقات انجام شده نشان می‌دهد که هیچ روش استانداردی برای آنالیز شبکه شکستگی سنگ به وسیله آنالیز تصویر وجود ندارد [۱].

به طور کلی می‌توان الگوریتم‌های شناسایی و آنالیز شکستگی‌ها را در گام‌ها و بخش‌های زیر دسته-بندی کرد [۱,۳] که هر یک در ادامه بررسی و تشریح خواهد شد:

- پیش‌پردازش تصاویر^۱
- آشکارسازی لبه‌ها و بخش‌ها^۲
- جداسازی ویژگی‌ها^۳ و اثرها^۴ برای شکستگی
- تشخیص و شناسایی شکستگی و تفکیک آن از پدیده‌های مشابه

در این فصل به بررسی برخی روش‌ها و تئوری‌های لازم برای پیاده‌سازی الگوریتم‌های مختلف و انجام مراحل شناسایی شکستگی در نمودارهای تصویری پرداخته می‌شود.

¹ Preprocessing

² Edge detection

³ Feature extraction

⁴ Trace

۲-۳- پیش پردازش تصاویر

در نتیجه عواملی مانند گل حفاری، سرعت حفاری و حرارت تولیدی داخل دستگاه و نیز عوامل محیطی تصاویر برداشتی از چاهها دارای نوفه خواهند بود. به منظور رسیدن به نتایج مطلوب و بهبود نتایج در مراحل بعد مثل بخش بندی^۱ انجام پردازش‌های اولیه مانند حذف نوفه به منظور بهبود کیفیت تصاویر ضروری است [۳].

با توجه اینکه امروزه در صنعت نفت از نمودارهای تصویری به عنوان ابزاری کلیدی برای شناسایی و تفسیر پدیده‌های زمین‌شناسی از جمله شکستگی استفاده می‌شود تفسیر دقیق و رسیدن به نتایج درست و دقیق پدیده‌های موجود در چاه مانند شکستگی به کیفیت مناسب و خوب تصاویر به شدت وابسته است [۵].

تصاویر ضعیف نه تنها می‌تواند به تفسیر ضعیف که حتی می‌تواند منجر به نتایج اشتباه و نیز مدل-سازی نادرست مخزن برای زمین‌شناسان منجر شود. بنابراین بهبود کیفیت تصاویر و کنترل کیفیت تفسیر تصاویر دو پارامتر کلیدی در شناسایی و آشکارسازی شکستگی‌ها هستند [۵].

تصاویر حاصل از نمودارهای تصویری، تصاویر دیجیتال با ۱۲۸ رنگ هستند. برخی از روش‌های جدید بهبود تصاویر برای کمک به تفسیر دقیق‌تر توسط مفسرین که بر روی تصاویر می‌تواند اعمال شوند، در ادامه بیان خواهد شد. شکل (۳-۱) تصویری از یک نمودار تصویری با ابعاد 42×17 پیکسل که ناحیه‌ای با ابعاد 4×13 میلی‌متر را پوشش می‌دهد، نشان می‌دهد. موقعیت یک پیکسل بهوسیله (j,i) تعیین و مقادیر رنگ بین ۰ تا ۱۲۷ است. بهبود کیفیت تصاویر می‌تواند به شناسایی شکستگی‌هایی که در تصویر اولیه امکان‌پذیر نبوده است کمک کند. در زیر به معرفی چهار روش بهبود کیفیت تصاویر پرداخته می‌شود [۵]:

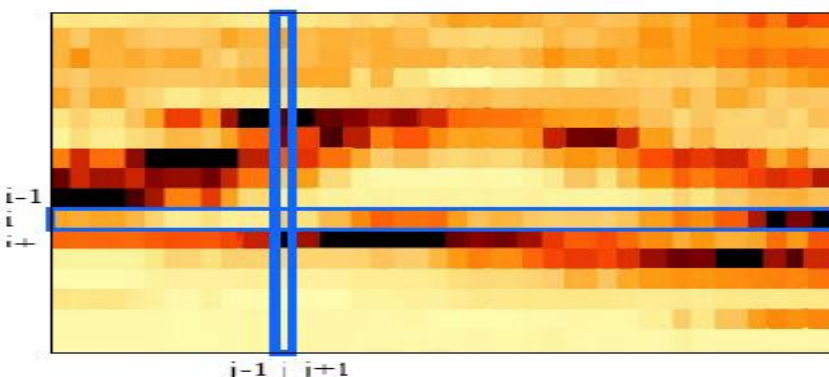
¹ Segmentation

ادغام (ترکیب) تصاویر^۱

فیلترینگ^۲

نرمالیزاسیون وزن یافته^۳

حذف نویه



شکل ۳-۱ بخشی از یک چاهنmodar تصویری و تعیین موقعیت یک پیکسل تصویر [۵]

الف) روش ادغام (ترکیب) تصاویر

در تصاویر برداشتی از میادین نفتی به خاطر حفاری با گل پایه نفت و شتاب دستگاه تصاویر صوتی از کیفیت پایینی برخوردار هستند. برای بهبود نتایج تفسیر چاه تصاویر صوتی و الکتروکی برای مقایسه توانایی این تصاویر از چاه برداشت می‌شوند (Earth Imager, CBLI, OBMI, UBI) [۵].

به وسیله ادغام دو تصویر با رابطه زیر به یک تصویر بهبود یافته می‌توان رسید:

¹ Merged image

² Filtering

³ Weighted normalization

$$c(i, j) = c_1(i, j) \cdot w_1 \left[\frac{r \cdot (1 - w_1)}{w_1} + 1 \right] + c_2(i, j) \cdot w_2 \cdot (1 - r) \quad (1-3)$$

$c(i, j)$ مقدار رنگ تصویر حاصل از ادغام در موقعیت (i, j) است.

$c_2(i, j)$ و $c_1(i, j)$ به ترتیب مقادیر رنگ تصاویر صوتی و مقاومتی در موقعیت (i, j) تصویر هستند.

w_2 و w_1 وزن‌هایی برای دو تصویر هستند.

r شاخصی است که اگر در موقعیتی از تصویر اطلاعاتی نباشد مساوی یک و اگر اطلاعات موجود باشد مساوی صفر است. در حالی که تصویر جدید کاهش محدوده رنگ‌ها را به دنبال خواهد داشت تصویر را به صورت محلی باید با رابطه زیر مجدداً نرمالیزه شود:

$$c'(i, j) = 127 \left(\frac{c(i, j) - c_{\min}}{c_{\max}(i) - c_{\min}(i)} \right) \quad (2-3)$$

c_{\max} ماکریمم مقدار رنگ برای پیکسل‌های ستون i و c_{\min} مینیمم مقدار رنگ برای پیکسل‌های ستون i است.

تصویر حاصل برای هر دو چاہنموداری تصویری بهبود یافته و تصویر حاصل دارای خواص زیر خواهد بود:

الف) اتصال ویژگی‌های کوچک متعلق به یک پدیده‌ی زمین‌شناسی به هم

ب) نقاط خالی پر می‌شوند.

ج) ویژگی‌هایی که ممکن است در تصاویر دیگر حذف شده‌اند، نمایش داده می‌شوند.

شکل (۲-۳) تصویر حاصل از الگوریتم ادغام فوق را بر روی دو تصویر و تولید تصویر جدید را نشان می‌دهد.



شکل ۲-۳ تصویر سمت چپ CBIL و سمت راست تصویر حاصل از الگوریتم ادغام [۵]

ب) روش فیلترینگ

روش فیلترینگ می‌تواند منجر به حذف بخشی از محدوده رنگ‌ها در پشت زمینه شود [۵].

رابطه فیلترینگ به صورت زیر بیان می‌شود:

$$c(i, j) = 127 \left(\frac{c(i, j) - c_{\min}}{c_{\max} - c_{\min}} \right) \quad (3-3)$$

$$c_{\min} < c'_{\min} < c'_{\max} < c_{\max}$$

c'_{\max} ماکزیمم مقدار رنگ برای کل تصویر است.

c'_{\min} مینیمم مقدار رنگ برای کل تصویر است.

c'_{\max} ماکزیمم مقدار رنگ تعریف شده برای فیلتر است.

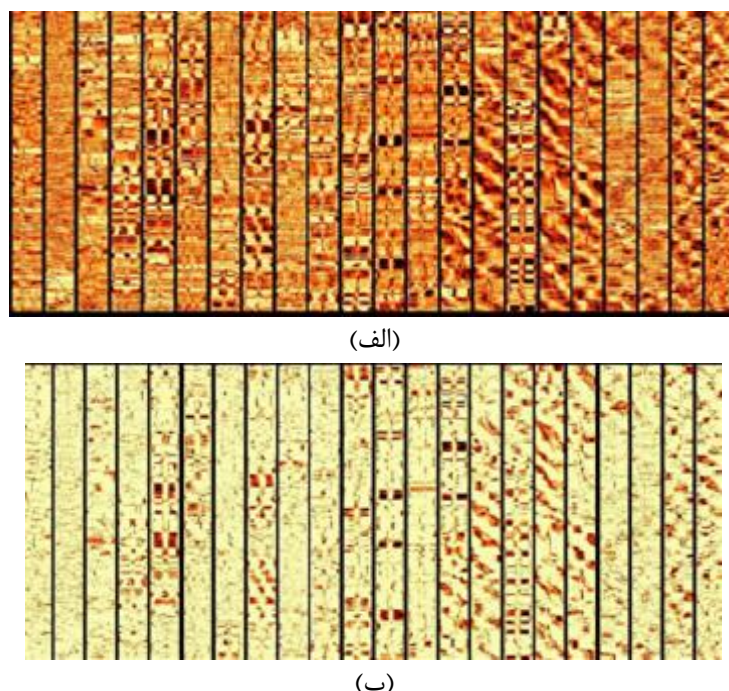
c'_{\min} مینیمم مقدار رنگ تعریف شده برای فیلتر است.

با اعمال الگوریتم فوق تصاویر حاصل از فیلترینگ بهبود یافته و نتایج زیر را دربر خواهد داشت:

الف) حذف برخی از رنگ‌های پشت زمینه و برجسته‌تر شدن ویژگی‌های زمین‌شناسی

ب) افزایش محدوده‌ی رنگ برای رنگ‌های باقیمانده: می‌توان با کاهش محدوده c'_{\min} , c'_{\max} , منجر به نمایش اسکلتون عوارض زمین‌شناسی مثل شکستگی‌ها و صفحات لایه‌بندی شود.

شکل (۳-۳) نتایج حاصل از الگوریتم فیلترینگ را نشان می‌دهد:



شکل ۳-۳ تصویرالف چاهنmodار تصویری UBI و تصویرب تصویر حاصل از فیلترینگ است [۵]

ج) نرمالیزاسیون وزن یافته

نرمالیزاسیون وزن یافته یک روش بسیار مؤثر برای بهبود ویژگی‌های زمین‌شناسی ترکیب شده در بخش‌های تاریک و روشن است [۵]. روابط الگوریتم در زیر آمده است:

$$c'(i, j) = c_1(i, j) \cdot w_1 + c_2(i, j) \cdot w_2 \quad (4-3)$$

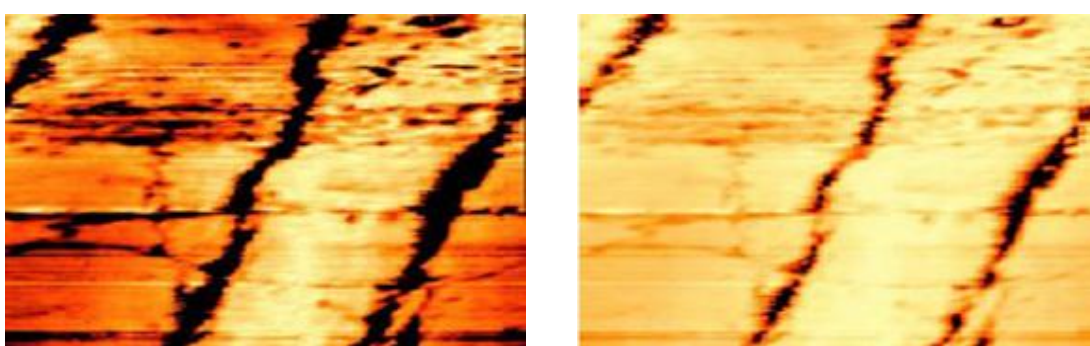
$$c_1(i, j) + c_2(i, j) = c_1(i, j) \cdot w_1 + c_2(i, j) \cdot w_2 \quad (5-3)$$

وزن ها در رابطه (۴-۳) به نحوی انتخاب می شوند که در رابطه (۵-۳) صدق کنند.

با اعمال این روش تصاویر حاصل دارای خواص زیر خواهند بود:

الف) بهبود ویژگی های پنهان در نقاط تاریک یا روش

ب) چیدمان جدید توزیع رنگها برای فراهم شدن امکان نمایش ویژگی های زمین شناسی از نو



شکل ۳-۴ تصویر الف تصویر اصلی و تصویر ب تصویر حاصل از الگوریتم نرمالیزاسیون وزن یافته است.

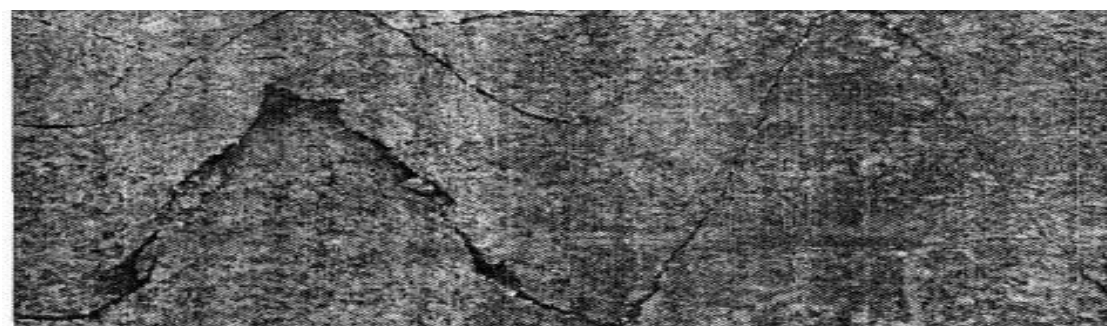
د) حذف نوفه

از فیلترهای ملايم کننده برای ملايم کردن و کاهش نوفه می توان استفاده کرد. در فرآيند ملايم کردن می توان برای کاهش نوفه از فیلترهای خطی و غیرخطی استفاده کرد. در کنار کاهش نوفه در تصویر، لبه های موجود در تصویر نیز دچار تیره شدن و ضعیف شدن می شوند [۳]. از جمله فیلترهای خطی می توان به فیلتر میانگین اشاره کرد. در این فیلترها در تصویر خروجی روشنایی هر پیکسل میانگین روشنایی پیکسل های همسایه یک پیکسل است.

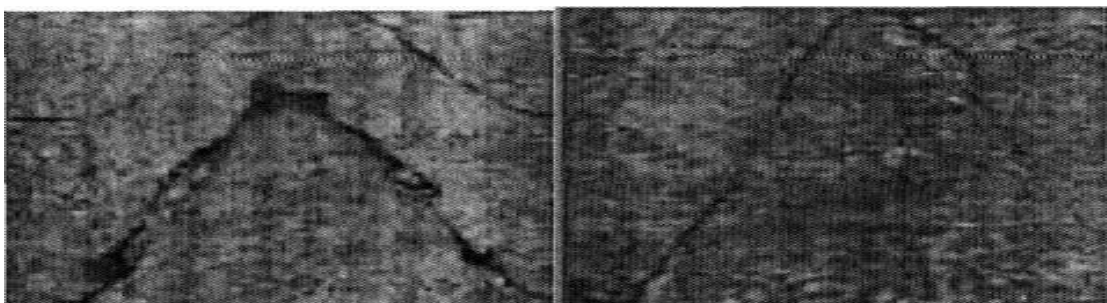
از فیلترهای غیر خطی (آماری - ترتیبی) نیز برای کاهش نوفه در تصاویر می توان استفاده کرد. این فیلترها این مزیت را دارند که با حذف نوفه لبه ها را در تصویر نسبت به فیلترهای خطی کمتر تضعیف می کنند. بهینه ترین فیلترها از این نوع، فیلتر میانه گیر است [۳]. این فیلتر ضمن کاهش نوفه، لبه ها را

نسبت به فیلترهای ملايم‌کننده خیلی کمتر تضعيف می‌کند. در اين فیلتر با توجه به اندازه پنجره تعریف شده برای فیلتر روشنايی پیکسل‌های همسایه مرتب می‌شوند. سپس ميانه اين مقادير تعیین و به عنوان روشنايی در تصویر خروجی برای پیکسل ورودی در نظر گرفته می‌شود.

برای تصاویر خاکستری می‌توان از فیلترهای گوناگون برای حذف نوافه استفاده کرد در مقالات بررسی شده بهترین نوع فیلترهای پنجره‌ای که نتایج مطلوب‌تری در حذف نوافه به دست می‌آید فیلتر ميانه‌گير است که در شکل (۳-۵) نتایج حاصل از اعمال فیلتر ميانه‌گير را روی تصاویر خاکستری سنگ‌ها که به وسیله دوربین‌های CCD گرفته شده را نشان می‌دهد [۳].



(الف)



(ب)

شکل ۳-۵ تصویر (الف) تصویر اصلی (اولیه) و تصویر (ب) تصویر حاصل از اعمال فیلتر ميانه‌گير [۳]

۳-۳- بخش‌بندی تصاویر

در پردازش تصویر، بخش‌بندی یکی از گام‌های ضروری و حیاتی است. بخش‌بندی دقیق تعیین‌کننده موفقیت احتمالی یا شکست در فرایند آنالیز کامپیوترا است. در بیشتر موارد بخش‌بندی سخت‌ترین

خواسته برای آنالیز تصویر است، بخصوص در زمینه پردازش تصاویر توده سنگ که پیچیدگی‌ها و ویژگی‌های سطوح سنگ به پیچیدگی این مسایل افزون می‌شود. به همین خاطر تحقیقات و توجه ویژه‌ای به این بحث در حوزه پردازش تصویر شده است [۳]. فرآیند تقسیم‌بندی یک تصویر دیجیتال به چند ناحیه را بخش بندی گویند. بخش‌های حاصل اشیاء مختلفی هستند که دارای ویژگی‌های مشابه مانند: بافت یا رنگ و... هستند. نتیجه حاصل از بخش‌بندی، یک مجموعه از نواحی است که با هم مجموعه کل تصویر را می‌سازند. همهٔ پیکسل‌های یک ناحیه در تعدادی خواص مانند رنگ، شدت یا بافت و... مشابه هستند [۱۲].

بخش‌بندی تصاویر تک رنگ (خاکستری) عموماً بر اساس یکی از دو ویژگی مقادیر سطوح روشنایی در تصاویر خاکستری انجام می‌گیرد:

الف) ناپیوستگی‌ها: در این روش‌ها تغییرات و پرش‌های ناگهانی در سطوح روشنایی عامل بخش‌بندی تصاویر است. به طور مثال یک لبه در یک تصویر ناشی از تغییرات ناگهانی سطوح روشنایی است. که نوع ملایم لبه‌ها را می‌توان مشتق اول در تصاویر دانست [۳].

ب) تشابهات: با توجه به اینکه برخی بخش‌ها در تصاویر دارای ویژگی‌های مشابه هستند مانند سطوح روشنایی یکسان و نزدیک به هم و پیوستگی بخش‌های جزء تصویر، می‌توان برای بخش‌بندی تصویر از این خواص استفاده کرد. تصاویر به وسیلهٔ پارامترهایی که از قبل تعریف شده‌اند بر اساس تشابه قسمت‌های مختلف به هم بر اساس این معیارها تقسیم‌بندی می‌شوند [۳].

بیشتر روش‌های بخش‌بندی انجام گرفته در کاربردهای مختلف، مبتنی بر تصاویر تک رنگ هستند. برای پردازش تصاویر رنگی محاسبات خیلی بیشتری نسبت به پردازش تصاویر خاکستری نیاز است. اما امروزه با افزایش سرعت و کاهش هزینه محاسبات، پردازش تصاویر رنگی در دهه اخیر نیز مورد توجه قرار گرفته است. تصاویر رنگی می‌توانند موجب افزایش کیفیت بخش‌بندی تصاویر شوند [۱۲].

تصاویر رنگی حاوی اطلاعات بیشتری نسبت به تصاویر تک رنگ هستند. هر پیکسل در یک تصویر حاوی اطلاعاتی درباره روشنایی، غلظت و اشباع است. رنگ نمایش کامل تری را از یک تصویر که می‌تواند منجر به بخش بندی بهتر و مطمئن‌تر تصویر شود ارایه می‌دهد. مدل‌های متفاوتی برای نمایش رنگ‌ها مانند: RGB، CMY، HSV وجود دارد. معمولاً مدل رنگی RGB بخاطر سادگی و پردازش سریعتر آن برای بخش بندی تصاویر انتخاب می‌شود. در یک تصویر رنگی هر پیکسل به وسیله یک ترکیب سه تایی قرمز، سبز و آبی نمایش داده می‌شود. برای تصاویر رنگی برای نواحی متعلق به یک بخش باید یک نسبت تقریباً ثابت را داشته باشند. نیازهای یک بخش بندی خوب عبارتند از: پیکسل‌های یک بخش نباید حاوی رنگ‌های کاملاً متفاوت باشد و هر بخش فقط یک برچسب داشته باشد. همه پیکسل‌های معین باید متعلق به یک ناحیه برچسب خورده باشند. شدت روشنایی یک بخش باید به طور قابل قبولی یکنواخت باشد.

بخش بندی یک تصویر فرآیندی ساده است مگر آنکه یکی یا برخی از شرایط زیر وجود داشته باشد [۱۳]:

- نوافه تصویر
- مرزهای ضعیف اشیاء
- نواحی غیر همگن اشیاء
- کنتراست ضعیف
- عوامل متعدد دیگر که می‌توانند روی تصویر تأثیرگذار باشند.

به طور کلی روش‌های بخش بندی تصویر را می‌توان به دو دسته کلی تقسیم کرد:

الف) بخش بندی مبتنی بر نواحی: در این روش هر پیکسل به یک ناحیه خاص تعلق دارد. اشیاء موجود در تصویر به نواحی مختلف با ویژگی‌های مشابه برای پیکسل‌های موجود در هر ناحیه تقسیم شوند.

ب) بخش بندی مبتنی بر لبه‌ها و مرزها: مرزها پیکسل‌هایی هستند که بین دو ناحیه مجزا قرار دارند. لبه‌ها نقاطی هستند که در آن‌ها تغییرات ناگهانی در سطح روشنایی صورت می‌گیرد. در این روش-ها اشیاء و بخش‌های مختلف تصویر به وسیله مرزها و لبه‌ها از هم تفکیک و مجزا می‌شوند.

در این فصل برخی از روش‌های بخش بندی که در این تحقیق استفاده و در فصل بعد پیاده‌سازی، تشریح می‌شوند.

۳-۱-۳- آشکارسازی لبه‌ها

آشکارسازی لبه یک عنصر ضروری در پردازش تصویر است، در حالی که لبه‌ها شامل تابع اصلی اطلاعات تصویر است. تابع آشکارساز لبه برای تشخیص مرزهای بین نواحی همگن در یک تصویر بر اساس خواصی مانند شدت روشنایی و بافت استفاده می‌شود [۱۴]. آشکارسازی لبه‌ها به معنی فرآیند تشخیص و تعیین مکان ناپیوستگی‌های تند روشنایی در یک تصویر است. ناپیوستگی‌ها، تغییرات ناگهانی در شدت روشنایی پیکسل‌ها هستند که مرز اشیاء را در تصویر تعیین می‌کنند. روش‌های آشکارسازی لبه کلاسیک مستلزم کانولوشن تصویر با یک عملگر (یک فیلتر دو بعدی) است. این عملگرهای طوری طراحی می‌شوند که حساس به گرادیان‌های بزرگ در تصویر باشند که در نواحی یکنواخت مقدار صفر را نشان می‌دهند. تعداد زیادی عملگر آشکارساز لبه وجود دارد که هر یک به نوع خاصی از لبه‌ها حساس هستند [۱۵].

آشکارسازی لبه‌ها در تصاویر با نوفه کار سختی است. زیرا هم نوفه و هم لبه‌ها هر دو حاوی فرکانس‌های بالا هستند. تلاش برای کاهش نوفه تصاویر به وسیله ملایم کردن تصویر منجر به خرابی لبه‌ها می‌شود. عملگرهای آشکارساز لبه که نوفه را نیز کاهش می‌دهند، به خاطر تغییرات در تصویر موجب کاهش دقت محل لبه‌های آشکار شده می‌شوند. همه لبه‌ها دارای تغییرات پله‌ای در شدت روشنایی نیستند. برخی لبه‌ها دارای تغییرات تدریجی و شیبدار در شدت روشنایی هستند. بنابراین باید عملگرها طوری طراحی شوند که به این لبه‌ها نیز حساس باشند. بنابراین در آشکارسازی لبه‌ها با مسایلی مانند: آشکارسازی اشتباه لبه، از دست دادن لبه‌های درست، تعیین محل لبه‌ها، زمان زیاد محاسبات و مشکلات ناشی از نوفه روبرو هستیم. بنابراین هدف این است که به طور خلاصه به مقایسه عملگرهای مختلف آشکارسازی لبه‌ها و تحلیل آن‌ها در شرایط مختلف پرداخته شود[۱۵].

روش‌های زیادی برای آشکارسازی لبه‌ها وجود دارد. با این وجود دو دسته کلی روش‌ها را می‌توان نام

برد:

الف) آشکارسازی لبه مبتنی بر گرادیان

روش‌های آشکارساز گرادیان، لبه‌ها را به وسیله جستجوی ماکزیمم یا مینیمم مشتق اول در تصویر آشکار می‌کند. عملگرهای گرادیان بر اساس این ایده هستند که از مشتق اول و دوم سطوح روشنایی استفاده می‌کنند. مشتق اول نقاط لبه را برجسته می‌کند. تغییرات تندتر روشنایی، لبه‌های قوی‌تری را نشان می‌دهد. مشتق دوم دو طرف لبه نشان می‌دهد. مزیت روش مشتق دوم این است که اگر یک خط راست بین دو ضربه از محور صفر عبور دهیم مرکز لبه را به ما نشان می‌دهد که از لحاظ تئوری امکان اندازه‌گیری مکان لبه را برای دقت زیر پیکسل فراهم می‌شود. منظور از زیر پیکسل این است که ممکن است فاصله کسری باشد. در آشکارسازهای قدیمی، گرادیان تصویر به وسیله مشتق اول محاسبه می‌شود. هنگامی که گرادیان از یک مقدار آستانه بزرگتر باشد، یک شی در تصویر وجود دارد. اگر تصویر ورودی $f(x,y)$ باشد، گرادیان نقطه (x,y) به صورت زیر تعریف می‌شود:

$$\nabla f(x, y) = \begin{bmatrix} G_x & G_y \end{bmatrix} = \begin{bmatrix} \frac{\partial f}{\partial x} & \frac{\partial f}{\partial y} \end{bmatrix} \quad (6-3)$$

دامنه گرادیان از رابطه زیر به دست می‌آید:

$$mag(\nabla f) = \left(G_x^2 + G_y^2 \right)^{\frac{1}{2}} \quad (7-3)$$

و جهت (زاویه) به صورت زیر محاسبه می‌شود:

$$\varphi(x, y) = \arctan \left(\frac{G_x}{G_y} \right) \quad (8-3)$$

گرادیان هر پیکسل از سه رابطه فوق محاسبه می‌شود. در عمل از پنجرهای با نواحی کوچک برای کانولوشن استفاده می‌شود. عملگرهای گرادیان شامل عملگرهای Robert، Prewitt و Sobel است. این عملگرهای ساده بوده و لبه‌ها و جهتشان را تعیین می‌کنند، اما به نوفه حساس بوده و دقت آن‌ها با حضور نوفه در تصویر کم می‌شود.

ب) آشکارسازی لبه مبتنی بر لاپلاسین

در روش‌های آشکارسازی لاپلاسین محل عبور از صفر مشتق دوم تصویر را جستجو می‌کنند. یک لبه یک بعدی شکلی مانند یک شیب دارد و با محاسبه مشتق تصویر این نوع لبه‌ها در تصویر برجسته می‌شوند. عملگرهای لاپلاسین از مشتق دوم استفاده می‌کنند که این عملگر لاپلاسین به صورت زیر تعریف می‌شود:

$$\nabla^2 f(x, y) = \frac{\partial^2 f(x, y)}{\partial x^2} + \frac{\partial^2 f(x, y)}{\partial y^2} \quad (9-3)$$

عملگر لاپلاسین محل لبه‌ها را پیدا می‌کند و نواحی بزرگتری را اطراف هر پیکسل آزمایش می‌کند، ولی در گوشه‌ها و منحني‌ها به خوبی عمل نمی‌کند. همچنین در جایی که تابع شدت روشنایی تصویر خاکستری تغییر می‌کند، نمی‌تواند جهت لبه‌ها را به‌خاطر استفاده از لاپلاسین پیدا کند. لاپلاسین گوسی (LOG)، فیلتر گوسی را با لاپلاسن ترکیب کرده و به صورت زیر تعریف می‌شود:

$$G(x, y) = \frac{1}{2\pi\delta^2} \exp\left(-\frac{x^2 + y^2}{2\delta^2}\right) \quad (10-3)$$

استفاده از کانولوشن عملگر گوسی با تصویر $f(x, y)$ ، ابتدا تصویر را ملایم و سپس لبه‌های آن را آشکار می‌کند که رابطه آن را در زیر نشان می‌دهیم:

$$LOG(f(x, y)) = \nabla^2(G(x, y) \cdot f(x, y)) = (\nabla^2 G(x, y) \cdot f(x, y)) \quad (11-3)$$

آشکارساز لبه گوسی در راستای لبه‌ها متقارن بوده و با ملایم کردن تصویر نوفه را کاهش می‌دهند.

یکی از آشکارسازهای لبه گوسی، آشکارساز لبه Canny است. آشکارساز لبه Canny با وجود پیچیدگی محاسبات نسبت به سایر روش‌ها معمولاً جواب بسیار بهتری را در شرایط تصاویر با نوفه برای آشکارسازی لبه‌ها می‌دهد. این الگوریتم به عنوان بهینه‌ترین آشکارساز لبه شناخته می‌شود [۱۴، ۱۵]. این الگوریتم ابتدا تصویر را ملایم و نوفه را حذف می‌کند. سپس گرادیان تصویر برای برجسته کردن نواحی با مشتقات بالای مکانی محاسبه می‌شود. سپس این الگوریتم به جستجو در این پیکسل‌های برجسته شده پرداخته و هر پیکسل نمی‌تواند به عنوان ماکریم باشد را حذف می‌کند. با توجه به دو مقدار آستانه در یک هیسترزیس تعیین می‌شوند.

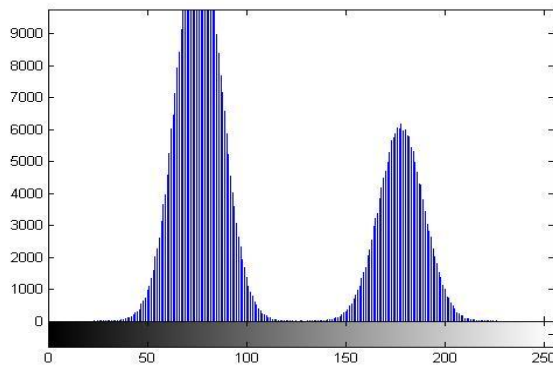
۳-۲-۳- آستانه‌گذاری

الگوریتم‌های آستانه‌گذاری تصویر، به خاطر خواص جالب، سادگی در پیاده‌سازی و سرعت محاسبات نقش برجسته‌ای را در بخش بندی تصاویر دارند [۱۶]. در روش‌های بخش‌بندی تصویر مبتنی بر لبه ابتدا لبه‌های موجود در تصویر آشکار شده و سپس سعی می‌شود که این بخش‌ها را به هم متصل و مرزهای اشیاء موجود در تصویر تعیین و تفکیک شود. اما در روش آستانه‌گذاری، تصویر مستقیماً به نواحی مختلف بر اساس سطح روشنایی یا خواصی از این مقدار تقسیم می‌شود.

فرض کنید که شکل (۶-۳) هیستوگرام شدت روشنایی یک تصویر باشد. این هیستوگرام مربوط به یک تصویر با پشت‌زمینه تاریک و وجود یک شی روشن در تصویر است. در این‌گونه تصاویر که پشت‌زمینه و شی به دو دسته مد حاکم در تصویر تقسیم می‌شوند، برای جداسازی شی از پشت‌زمینه در تصویر یک مقدار آستانه T را می‌توان تعیین کرد که این دو مد را از هم جدا کند. سپس همه نقاطی که روشنایی تصویر در آن‌ها از مقدار آستانه بیشتر است، متعلق به یک کلاس و دسته‌ای که از این مقدار آستانه کمتر باشند، متعلق به کلاس دیگر هستند. رابطه (۱۲-۳) این رابطه را نشان می‌دهد.

$$g(x, y) = \begin{cases} 1 & \text{if } f(x, y) > T \\ 0 & \text{if } f(x, y) < T \end{cases} \quad (12-3)$$

هنگامی که T یک مقدار عملی ثابت در کل تصویر باشد، به این فرآیند آستانه‌گذاری کلی می‌گویند. هنگامی که مقدار T در تصویر تغییر کند، از اصطلاح آستانه‌گذاری متغیر استفاده می‌شود. از اصطلاحات محلی و ناحیه‌ای نیز هنگامی که مقدار آستانه برای هر پیکسل در مختصات (x, y) به پیکسل‌های همسایه وابسته باشد استفاده می‌کنند.



شکل ۶-۳ هیستوگرام شدت روشنایی یک تصویر که به وسیله یک مقدار آستانه کلی می‌تواند تصویر را به دو بخش مجزا تقسیم کند.

۱-۲-۳-۳ آستانه‌گذاری کلی پایه

هنگامی که توزیع روشنایی اشیاء و پشتزمینه در یک تصویر به اندازه کافی قابل تفکیک باشند، یک مقدار آستانه کلی را می‌توان برای کل تصویر استفاده کرد. در بیشتر کاربردها اگر تغییرات کافی بین بخش‌های تصویر وجود داشته باشد، حتی اگر آستانه‌گذاری کلی روشنی مناسب باشد، یک الگوریتم مناسب برای تعیین مقدار آستانه در هر تصویر لازم است [۱۶]. از الگوریتم بازگشته زیر برای این منظور می‌توان استفاده کرد:

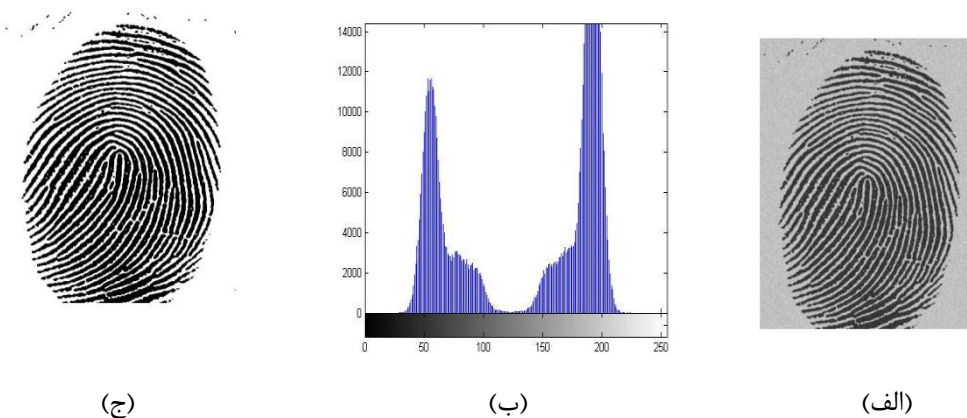
- ۱ یک مقدار آستانه اولیه برای مقدار T انتخاب می‌شود.
- ۲ تصویر به وسیله مقدار T بخش‌بندی می‌شود. این کار منجر به تولید دو دسته پیکسل می‌شود: G_1 شامل پیکسل‌هایی است که شدت روشنایی آنها از مقدار آستانه T بیشتر است و G_2 شامل پیکسل‌هایی است که از مقدار آستانه کمتر هستند.
- ۳ مقدار میانگین شدت روشنایی برای هر یک از مجموعه پیکسل‌های گروه G_1 و G_2 محاسبه شده و به ترتیب m_1 و m_2 نامیده می‌شوند.
- ۴ یک مقدار آستانه جدید به صورت زیر به دست آورده می‌شود:

$$T = \frac{1}{2} (m_1 + m_2) \quad (13-3)$$

-۵- گامهای دو تا چهار را تا زمانی که اختلاف بین دو مقدار آستانه در دو مرحله پیاپی کوچکتر از یک مقدار تعریف شده شود، ادامه می‌یابد.

این الگوریتم هنگامی که بین مدها، درهای برجسته‌ای در هیستوگرام تصویر وجود داشته باشد به خوبی عمل می‌کند. مقدار اولیه در این الگوریتم معمولاً مقدار متوسط روشنایی تصویر در نظر گرفته می‌شود.

شکل (۳-۷) یک تصویر و هیستوگرام آن و نتیجه این الگوریتم را برای بخش‌بندی تصویر نشان می‌دهد.



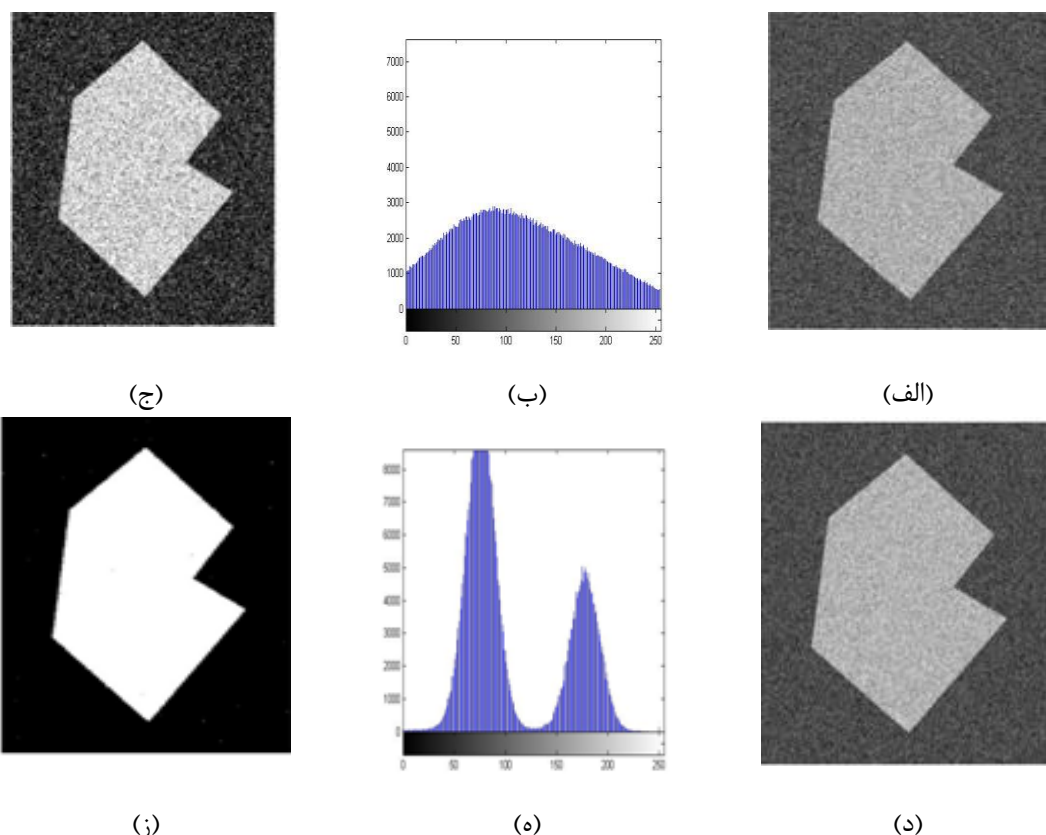
شکل ۳-۷ نتایج حاصل از بخش‌بندی بهوسیله روش آستانه‌گذاری کلی (تصویر الف تصویر ورودی، تصویر ب هیستوگرام تصویر و تصویر ج نتیجه حاصل از الگوریتم را نشان می‌دهد)

۳-۲-۲-۲- استفاده از ملایم کردن تصویر برای بهبود الگوریتم آستانه‌گذاری

کلی

وجود نویه در یک تصویر می‌تواند منجر به غیر ممکن شدن بخش‌بندی تصویر به وسیله آستانه‌گذاری کلی شود [۱۶]. هنگامی که نمی‌توان تولید نویه را در هنگام تولید تصویر کاهش داد، از فرآیند ملایم کردن برای بهبود عملکرد الگوریتم آستانه‌گذاری و کاهش تأثیر نویه استفاده می‌کنند.

شکل (۸-۳) تأثیر نویه در آستانه‌گذاری و نقش ملایم کردن برای حل این مشکل را نشان می‌دهد.



شکل ۸-۳ تأثیر نویه روی بخش‌بندی به روش آستانه‌گذاری

((الف) تصویر اصلی با نویه، (ب) هیستوگرام تصویر با نویه، (ج) تصویر بخش‌بندی شده با نویه، (د) تصویر فیلترشده با فیلتر میانه گیر، (ه) هیستوگرام تصویر فیلتر شده، (ز) تصویر بخش‌بندی شده حاصل از فیلترینگ)

۳-۲-۳- آستانه‌گذاری متغیر

عواملی مانند نوفه و نورپردازی غیریکنواخت می‌تواند، نقش مهمی را در عملکرد الگوریتم آستانه‌گذاری برای بخش‌بندی تصاویر داشته باشد. در مواردی که حتی فرآیندهای پیش‌پردازش مانند ملایم کردن نیز برای حل این مشکلات کارآمد نیستند، گام بعدی که نسبت به مراحل قبل پیچیده‌تر است برای حل این مشکلات از الگوریتم‌های آستانه‌گذاری متغیر استفاده می‌کنند [۱۶].

در این الگوریتم‌ها از روش‌هایی مانند تقسیم‌بندی تصویر به نواحی کوچک‌تر و سپس آستانه‌گذاری برای هر بخش با توجه به هیستوگرام آن بخش و یا استفاده از اطلاعات محلی برای بخش‌بندی تصاویر استفاده می‌شود.

یکی از روش‌های آستانه‌گذاری متغیر که از خاصیت آماری واریانس نواحی برای تفکیک نواحی که پیکسل‌های داخل آن نواحی، همگن هستند در اینجا به طور خلاصه شرح داده می‌شود. این تکنیک‌ها برای تصاویر با همگنی بالا مناسب هستند و ناحیه‌شی و پشتزمینه باید هر یک همگن باشند بجز ناحیه بین این دو ناحیه [۱۷].

این تکنیک به صورت زیر بیان می‌شود:

$$C(T) = P_1(T) \sigma_1^2(T) + P_2(T) \sigma_2^2(T) \quad (14-3)$$

در رابطه فوق، $C(T)$ واریانس بین دو گروه پیکسل تفکیک شده از هم است. $P_1(T)$ ، احتمال پیکسل‌هایی که مقدار روشنایی آن‌ها کمتر از مقدار آستانه هستند. $P_2(T)$ ، احتمال پیکسل‌هایی که مقدار روشنایی آن‌ها بیشتر از مقدار آستانه هستند. $\sigma_1^2(T)$ واریانس پیکسل‌های گروه اول و $\sigma_2^2(T)$ واریانس پیکسل‌های گروه دوم است. بهترین مقدار آستانه زمانی به دست می‌آید که مقدار این رابطه مینیمم شود.

۳-۳-۳ - عملگرهای مورفولوژی

کلمه مورفولوژی به شاخه‌ای از علم زیست‌شناسی که در مورد شکل و ساختار حیوانات و گیاهان بحث می‌کند اشاره دارد. در ریاضیات، مورفولوژی به عنوان ابزاری برای نمایشی جدید و توصیفی از قالب نواحی مانند مرزها، اسکلت‌بندی، و کانوکس هال گفته می‌شود [۱۶]. زبان ریاضیات مورفولوژی نظریه مجموعه‌ها است. مورفولوژی یک روش منحصر به فرد و قوی برای بسیاری از مسایل پردازش تصویر ارایه می‌دهد [۱۶]. مجموعه‌ها در این ریاضیات نمایش جدیدی از اشیاء موجود در تصویر هستند. مثلاً تمامی پیکسل‌های سفید در یک تصویر باینری را می‌توان به صورت یک مجموعه نشان داد که توصیفی مورفولوژی از تصویر است. از این ابزارها همچنین برای پیش‌پردازش‌ها و پردازش‌های بعدی مانند فیلترینگ مورفولوژی، نازک‌سازی و هرس‌کردن استفاده می‌شود.

تکنیک‌های مورفولوژی را به طور کلی می‌توان به دو دسته مورفولوژی در تصاویر باینری و تصاویر خاکستری تقسیم کرد. در ادامه به بیان و تشریح برخی از این عملگرهای مورفولوژی و تکنیک‌ها در دو بخش جداگانه خواهیم پرداخت.

۳-۳-۱-۱ - مورفولوژی در تصاویر باینری

در این بخش برخی از مهمترین عملگرهای پایه در مورفولوژی در تصاویر باینری معرفی می‌شوند.

الف) اروشن^۱ و دیلیشن^۲

این عملگرهای عملگرهای پایه برای پردازش‌های موفولوژیکی هستند. در حقیقت بسیاری از الگوریتم‌های مورفولوژیکی بر اساس این دو عملگر اولیه تعریف می‌شوند [۱۶].

¹ Erosion

² Dilation

در تصاویر باینری، A تصویر و B المان ساختاری را نشان می‌دهد. z موقعیت یک پیکسل را در تصویر باینری نشان می‌دهد.

عملگر اروشن در یک تصویر باینری به صورت زیر تعریف می‌شود.

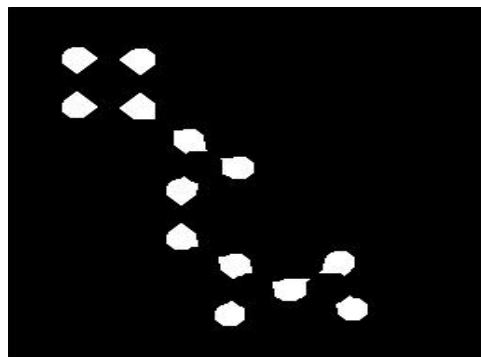
$$A \ominus B = \{z | (B)_Z \subseteq A\} \quad (15-3)$$

این عملگر باعث حذف بخش‌های کناری تصویر و نازک‌تر شدن یک تصویر می‌شود. نیز می‌تواند اجزا ریز موجود در تصویر را حذف کند.

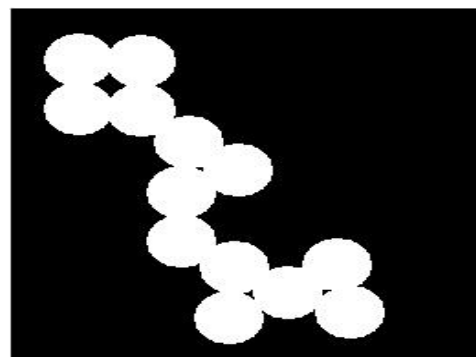
عملگر دیلیشن به صورت رابطه زیر تعریف می‌شود.

$$A \oplus B = \{z | (\hat{B})_Z \cap A \neq \emptyset\} \quad (16-3)$$

المان ساختاری منعکس شده B را نشان می‌دهد. این عملگر باعث پرشدن و اتصال بریدگی‌ها و حفره‌های کوچک شده و منجر به ضخیم شدن یک تصویر می‌شود.



(ب)

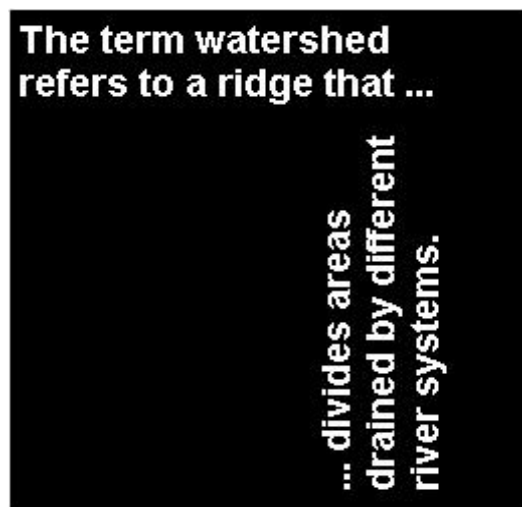


(الف)

شکل ۳-۹ تصویر (الف) تصویر باینری اصلی و تصویر (ب) نتیجه حاصل بعد از اعمال عملگر اروشن به وسیله یک المان ساختاری دایره‌ای شکل را نشان می‌دهد.



(ب)



(الف)

شکل ۳-۱۰ تصویر (الف) تصویر باینری اصلی و تصویر (ب) نتیجه حاصل بعد از اعمال عملگر دیلیشن بهوسیله یک المان ساختاری نواری شکل

ب) بازکردن^۱ و بستن^۲

با ترکیب عملگرهای اروشن و دیلیشن، عملگرهای جدیدی بهنام بازکردن و بستن تعریف می‌شود که در زیر روابط آن‌ها آمده است. از این عملگرها می‌توان برای حذف جزئیات و اتصال بریدگی‌های موجود در تصاویر استفاده کرد. همچنین می‌توان از آن‌ها برای ساخت فیلترهای مورفولوژیکی استفاده کرد.

$$A \circ B = (A \ominus B) \oplus B \quad (17-3)$$

$$A \bullet B = (A \oplus B) \ominus B \quad (18-3)$$

¹ Opening

² Closing

۳-۳-۲-۳- مورفولوژی در تصاویر خاکستری

الف) اروشن و دیلیشن

تصویر دیجیتال در مختصات (x,y) به صورت $f(x,y)$ و المان ساختاری را به صورت $b(x,y)$ نمایش داده می شود.

المان های ساختاری در مورفولوژی سطح خاکستری مانند تعریف آن در تصاویر باینری به عنوان یک پنجره برای جستجو و بررسی در تصویر ورودی برای ویژگی هایی مشخص تعریف می شود. در مورفولوژی سطح خاکستری این المان ها به دو دسته صاف و ناصاف تقسیم می شوند. شکل (۱۱-۳) این دو المان را برای یک شکل دیسک نمایش می دهد.



شکل ۱۱-۳ (الف) المان ساختاری صاف و (ب) المان ساختاری ناصاف

اروشن تصویر f به وسیله المان ساختاری صاف b در مختصات (x,y) به عنوان مقدار مینیمم تصویر در ناحیه محصور شده به وسیله b ، در حالیکه که مرکز آن در مختصات (x,y) قرار دارد تعریف می شود. رابطه (۱۹-۳) این تعریف را نشان می دهد.

$$[f \ominus b](x,y) = \min_{(s,t) \in b} \{f(x + s \cdot y + t)\} \quad (19-3)$$

به طور مشابه دیلیشن تصویر f به وسیله المان ساختاری صاف b در مختصات (x,y) به عنوان مقدار ماکریمم تصویر در ناحیه محصور شده به وسیله b ، در حالیکه که مرکز آن در مختصات (x,y) قرار دارد، تعریف می شود. رابطه (۲۰-۳) این تعریف را نشان می دهد.

$$[f \oplus b](x, y) = \max_{(s,t) \in b} \{f(x+s, y+t)\} \quad (20-3)$$

ب) بازکردن و بستن

تعریف عملگرهای بازکردن و بستن برای تصاویر سطح خاکستری مانند تصاویر باینری است. عملگرهای

بازکردن و بستن به صورت زیر تعریف می‌شوند:

$$f \circ b = (f \ominus b) \oplus b \quad (21-3)$$

همانطور که در رابطه (21-3) دیده می‌شود عملگر بازکردن از طریق اعمال دیلیشن بعد از اروشن روی تصویر ورودی به دست می‌آید.

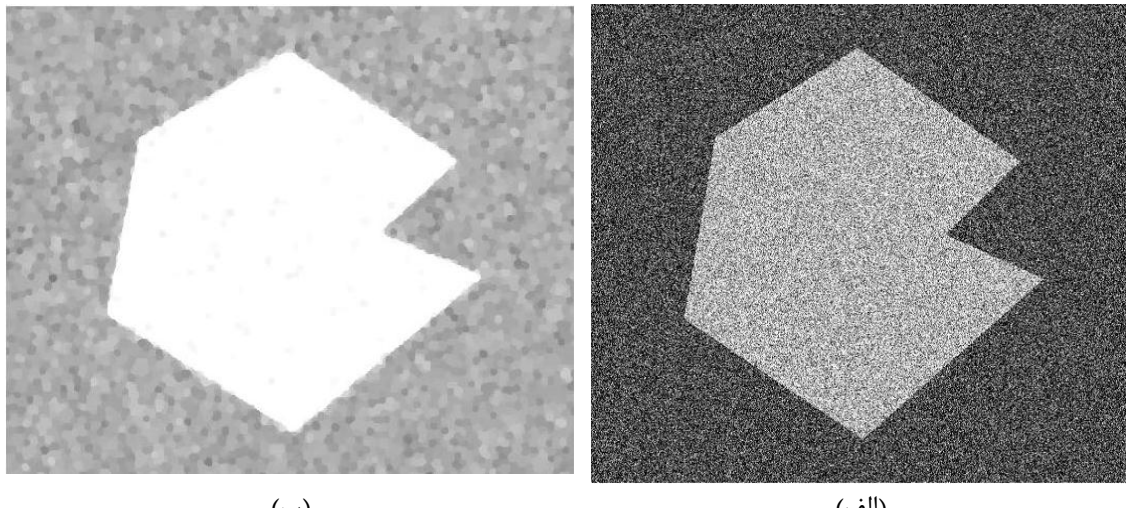
عملگر بستن از طریق اعمال اروشن بعد از دیلیشن بر روی تصویر ورودی به دست می‌آید که در رابطه (22-3) نشان داده شده است.

$$f \bullet b = (f \oplus b) \ominus b \quad (22-3)$$

ج) ملایم کردن مورفولوژیکی

چون عملگر بازکردن، جزئیات روشن کوچکتر از المان ساختاری را در تصویر حذف می‌کند و عملگر بستن جزئیات تاریک کوچک را حذف می‌کند، از این دو عملگر به صورت ترکیبی تحت عنوان فیلترهای مورفولوژیکی برای ملایم کردن تصویر و حذف نوافه استفاده می‌شود [۱۶].

شکل (12-3) نتیجه حاصل از فیلترینگ تصویر با نوافه را با یک المان ساختاری دیسک شکل به-وسیله ترکیب بستن و بازکردن نشان می‌دهد. در ابتدا بستن و سپس روی تصویر حاصل بازکردن انجام شده است.



شکل ۱۲-۳ استفاده از عملگرهای مورفولوژی برای حذف نویه (الف. تصویر با نویه و ب. تصویر فیلتر شده)

روش دیگر فیلترینگ، فیلترینگ ترتیبی تکراری است. در این روش، عملیات فیلترینگ فوق را در چند مرحله پشت سر هم روی تصویر اصلی انجام می‌دهند. در حالت کلی این روش باعث تارشدنگی بیشتر تصویر با یک المان ساختاری هم اندازه با المان ساختاری قبلی می‌شود.

۴-۳-۳- خوشبندی

خوشبندی، تصویر را به کلاس‌های مختلف بدون اطلاع از دانش قبلی تقسیم می‌کند. در این روش داده‌های متعلق به یک کلاس تا حد ممکن به هم مشابه و داده‌های متعلق به کلاس‌های مختلف تا حد ممکن با هم متفاوت هستند.

خوشبندی را می‌توان نوعی فشرده‌سازی داده‌ها دانست که به وسیله آن حجم زیادی از داده‌ها به تعداد کمی داده که به صورت خوش نمایش داده می‌شوند، تبدیل شوند. هدف از خوشبندی، تقسیم داده‌های موجود یا اشیاء به تعدادی خوش است که هر خوش یک زیر مجموعه یا گروه را تشکیل می‌دهد [۱۲]. هر گروه باید دو ویژگی را داشته باشند: همگنی داده‌های داخل یک گروه (داده‌های متعلق

به یک گروه باید تا حد ممکن مشابه هم باشند) و ناهمگنی بین داده‌های متعلق به دو گروه مجزا نسبت به هم (داده‌های متعلق به دو گروه مجزا تا حد ممکن باید متفاوت از هم باشند).

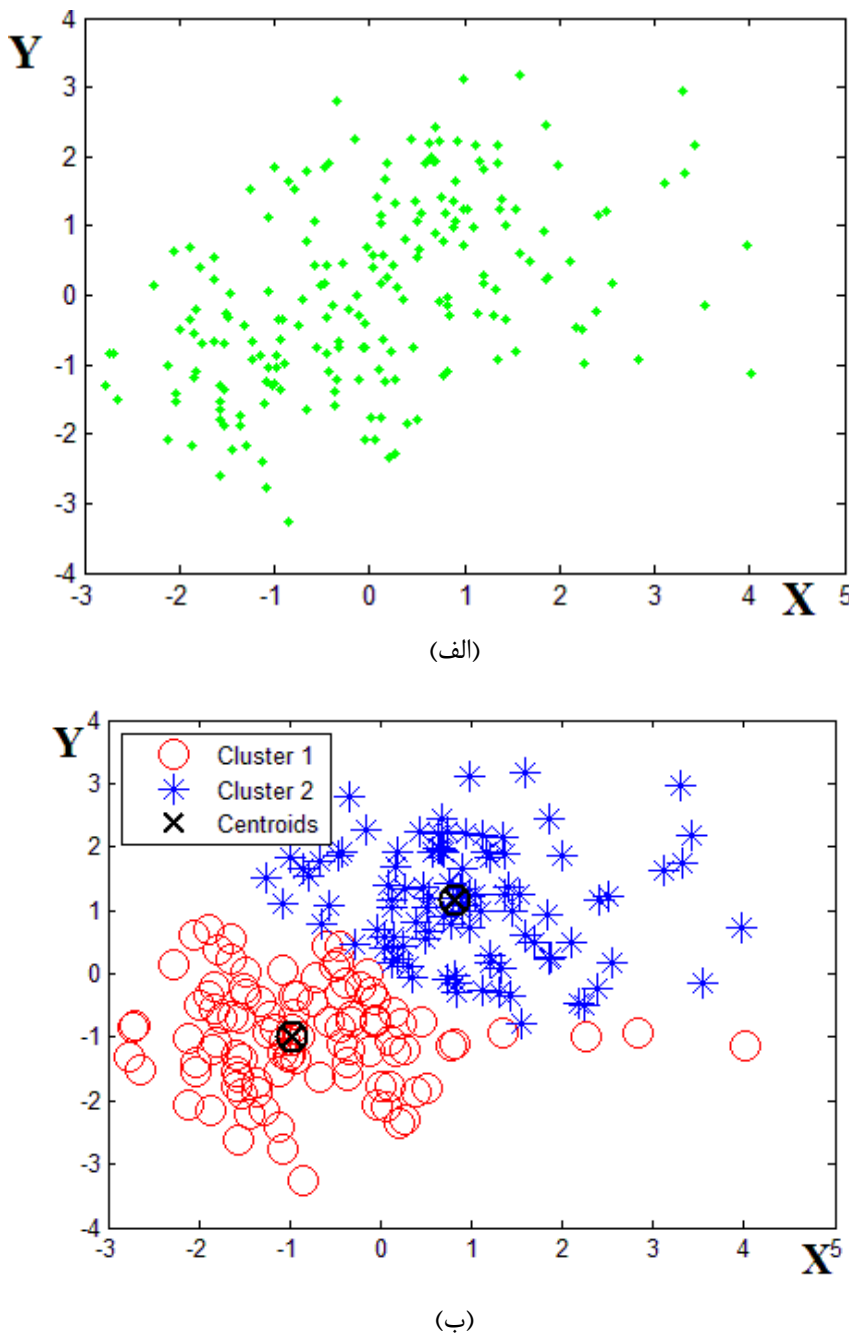
۳-۳-۱-۴- خوشبندی C-means

این الگوریتم یک الگوریتم خوشبندی است که با استفاده از اندازه‌گیری فاصله داده‌ها از هم آن‌ها را به تعدادی کلاس مجزا تقسیم می‌کند. از این الگوریتم می‌توان برای بخش‌بندی تصاویر با فرض معلوم بودن تعداد کلاس‌ها استفاده کرد. این الگوریتم یک طبقه‌بندی کننده بدون ناظر است که داده‌های ورودی را بر اساس فاصله ذاتی آن‌ها به چند کلاس تعریف شده تقسیم می‌کند.

این الگوریتم را می‌توان به صورت گام‌های زیر تعریف کرد:

- ۱- ابتدا تعداد خوش‌های توسط کاربر تعیین می‌شود.
- ۲- به تعداد خوش‌های تعریف شده مقدار اولیه میانگین هر خوش به صورت تصادفی انتخاب می‌شود.
- ۳- فاصله داده‌ها تا هر میانگین محاسبه می‌شود.
- ۴- با توجه به مقدار فاصله برای هر داده تا میانگینی که کمترین فاصله را دارد، آن داده به نزدیکترین خوش تعلق دارد.
- ۵- بعد از خوش‌بندی داده‌ها، برای خوش‌های به دست آمده، میانگین هر یک مجدداً محاسبه می‌شود.
- ۶- با استفاده از معیارهایی از توقف مانند میزان تغییرات میانگین‌ها در دو مرحله متوالی یا تعداد دفعات تکرار الگوریتم، پایان الگوریتم خوش‌بندی تعیین می‌شود. در غیر اینصورت گام‌های ۳ تا ۵ دوباره تکرار می‌شوند.

شکل (۱۳-۳) الگوریتم خوشبندی C-means را برای داده‌هایی به صورت نمونه نشان می‌دهد. داده‌های شکل (الف) به دو دسته در شکل (ب) تقسیم شده‌اند.



شکل ۱۳-۳ خوشبندی C-means (الف. داده‌های ورودی و ب. داده‌ها به دو دسته خوشبندی شده‌اند).

۳-۳-۴-۲- خوشبندی Fuzzy C-means

یکی از الگوریتم‌های خوشبندی، خوشبندی فازی است. ایده اصلی پشت خوشبندی فازی این است که یک شی یا داده می‌تواند، متعلق به بیشتر از یک کلاس باشد که عضویت آن در هر کلاس می‌تواند درجه متفاوتی از عضویت را داشته باشد. درجه عضویت تولید شده به وسیله این الگوریتم فازی چندین مزیت را دارد. اول اینکه در صورتی که تعداد خوشبندیها بیشتر انتخاب شوند، بازهم به خاطر درجه عضویت، خوشبندی‌های مهم‌تر برجسته شده و در بخش‌بندی نتایج خوب خواهد بود. دوم اینکه طبیعت فازی باعث می‌شود که بتوان بر مشکل توصیف قطعی الگوها غلبه کرد. حتی اگر توصیفگر به خوبی برای بخش‌بندی تعریف نشود، این الگوریتم فازی همچنان پایداری خوبی را از خود نشان می‌دهد. سوم این‌که، کارشناسان در تعیین مرز بین ساختارهای متفاوت مشکل دارند. بنابراین به راحتی می‌توان درجه‌های عضویتی را برای پیکسل‌هایی که متعلق به یک ساختار خاص هستند، تعریف کرد. در آخر این‌که، ممکن است دانش چندین کارشناس متفاوت را بخواهند در بخش‌بندی و جداسازی ساختارها دخالت دهند. دو نوع الگوریتم خوشبندی فازی به نام‌های الگوریتم فازی C-means و الگوریتم فازی احتمالاتی C-means را می‌توان تعریف کرد.

یکی از مهمترین الگوریتم‌های فازی، الگوریتم فازی C-means است [۱۲]. این الگوریتم نسخه بهبود یافته الگوریتم خوشبندی سخت C-means است. این الگوریتم داده‌ها را به صورت یک ماتریس $n \times m$ دریافت می‌کند. که n تعداد داده‌ها و m تعداد پارامترهای است. C تعداد خوشبندیها و U ماتریس فرضی تقسیم‌بندی و μ مقدار همگرایی را مشخص می‌کند که باید به این الگوریتم داده شود. این الگوریتم یک الگوریتم بازگشتی است که سعی می‌کند مجموعه X را به C خوشبندی تقسیم کند. هر خوشبندی i یک مقدار میانگین b_i مشخص می‌شود. هر بردار مشخصه x_j با یک درجه عضویت μ_{ij} متعلق به یکی از کلاس‌های C است که درجه عضویت یک داده را به هر کلاس نشان می‌دهد. $\{u_{ij}\}_{i=1}^C, \{u_{ij}\}_{j=1}^N$ که تقسیم‌بندی فازی X خوانده می‌شود.

$B = \{b_i\}$ مجموعه مرکز خوشها را نشان می‌دهد. این الگوریتم فازی یک فرآیند بهینه‌سازی برای مینیمم کردن محدودیت زیر است.

$$J(B, U, X) = \sum_{i=1}^C \sum_{j=1}^N u_{ij}^m d(x_j, b_i) \quad (23-3)$$

m در رابطه فوق پارامتر کنترل است که میزان فازی بودن را تعیین می‌کند. این الگوریتم عضویت نسبی را برای هر داده در هر خوش مشخص، تولید می‌کند. رابطه تحلیلی این الگوریتم فازی به صورت زیر است.

$$u_{ij} = \left(\sum_{k=1}^C \left(\frac{d(x_j, b_i)}{d(x_j, b_k)} \right)^{\frac{2}{m-1}} \right)^{-1} \quad (24-3)$$

رابطه فوق وابسته به فاصله هر داده از تمام خوشها بوده و فقط به یک خوش وابسته نیست.

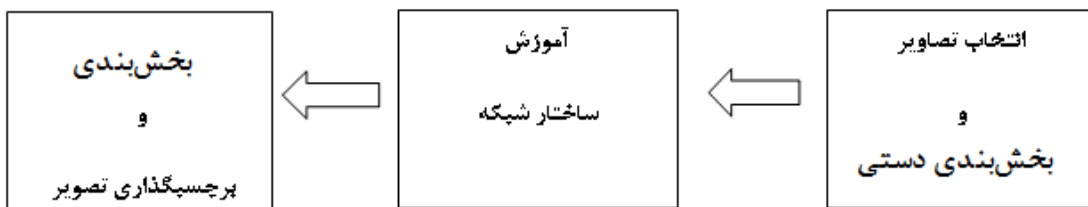
۳-۴-۳-۳- خوشبندی به وسیله شبکه‌های عصبی

یک شبکه عصبی مصنوعی، مدلی ریاضی و محاسباتی است که از شبکه‌ای از نرون‌های متصل به هم ساخته شده است. یک شبکه عصبی برای حل یک مسئله نیاز به فرآیند یادگیری دارد. یادگیری فرآیندی است که در طی آن پارامترهای شبکه با توجه به اطلاعات محیطی موجود، خود را به بهترین نحو برای حل یک مسئله تنظیم می‌کنند. یک شبکه عصبی مصنوعی، یک شبیه سازی از سیستم عصبی واقعی است. این شبکه از تعدادی نرون متصل به هم تشکیل شده است.

شبکه‌های عصبی به طور کلی با توجه به نوع فرآیند یادگیری به دو دسته: شبکه‌های با ناظر و شبکه‌های بدون ناظر تقسیم می‌شوند. در یادگیری با ناظر یک کارشناس تصاویری را برای آموزش شبکه انتخاب می‌کند. سپس این تصاویر را به تعدادی کلاس مشخص بخش‌بندی کرده و هر کلاس را با برچسب مشخصی تعیین می‌کنند. ولی در شبکه‌های بدون ناظر یک ناظر خارجی برای بخش بندی وجود ندارد. به عبارتی دیگر هیچ نمونه‌ای از تصاویر برچسب‌گذاری شده، وجود ندارد. شبکه‌های بدون ناظر به دنبال یافتن یک ساختار پنهان بین داده‌های موجود برای تقسیم‌بندی این داده‌ها به کلاس‌های مختلف هستند [۱۸]. این الگوریتم‌ها می‌توانند تصاویر را به بخش‌های مختلف، بدون دخالت ناظر تقسیم کنند. تکنیک‌های بخش‌بندی مبتنی بر شبکه‌های عصبی به طور کلی به دو دسته تقسیم می‌شوند: روش‌های با ناظر و روش‌های بدون ناظر.

الف) روش‌های با ناظر

روش‌های با ناظر نیاز به یک کارشناس دارند تا داده‌های ورودی را بخش‌بندی کنند. یعنی اینکه کارشناس‌هایی باید برای آموزش شبکه، تصاویر ورودی آموزشی را با دقت بخش‌بندی کنند. روش‌های با ناظر مبتنی بر انسان یا دانش اپراتور هستند، تا بتوان تصاویر آموزش را انتخاب و به صورت دستی به C ناحیه بخش‌بندی کرد. هر یک از نواحی برچسب‌گذاری شده و شبکه طراحی شده با ساختار معین به وسیله تصاویر آموزشی، آموزش داده می‌شود. این شبکه آموزش دیده قادر خواهد بود که تصاویر مشابه را نیز بخش‌بندی کند. برچسب هر تصویر جدید در مرحله آزمایش شبکه به وسیله دانش ذخیره شده در معماری شبکه عصبی، استفاده می‌شود. شکل (۳-۱۴) فرآیند کلی را نشان می‌دهد.



شکل ۱۴-۳ ۱۴ مراحل بخش‌بندی تصویر به وسیله شبکه عصبی با ناظر

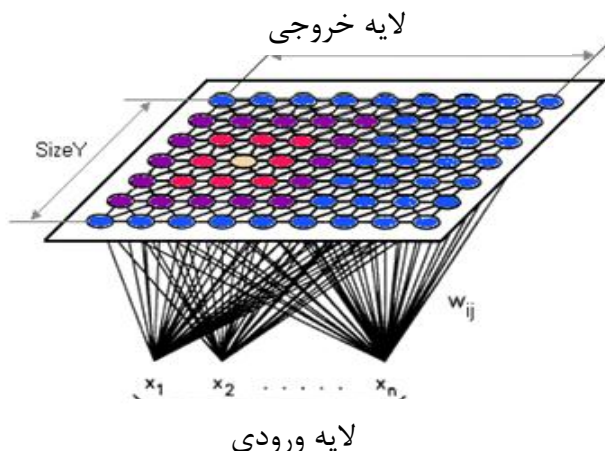
ب) روش‌های بدون ناظر

روش‌های بدون ناظر، به صورت نیمه یا کاملاً اتوماتیک هستند. دخالت کاربر ممکن است در بخش‌هایی از فرآیند، برای بهبود نتیجه لازم باشد. ولی نتیجه حاصل باید خیلی مستقل از دخالت انسان باشد. روش‌های بدون ناظر، تصویر را بدون دخالت کاربر بخش‌بندی می‌کنند. این روش‌ها تصاویر را به C زیرناحیه تقسیم کرده و سپس به صورت اتوماتیک برچسب‌هایی را به این بخش‌ها اختصاص می‌دهند. یک شبکه عصبی که از گروهی از نرون‌ها ساخته شده که برای فعال شدن با هم رقابت می‌کنند را شبکه عصبی رقابتی می‌نامند. وقتی که بیشتر از یک نرون فعال شود، به نرونی که بیشترین مقدار ورودی را دارد مقدار یک می‌دهند و بقیه را صفر می‌کنند. این شرایط "برنده شدن در بین همه" خوانده می‌شود.

در میان شبکه‌های عصبی، شبکه عصبی خودسازمانده^۱ (SOM) یکی از شبکه‌های بدون ناظر است که معمولاً برای بخش‌بندی تصاویر از آن استفاده می‌شود [۱۸]. این شبکه از نوع شبکه‌های رقابتی است که برای خوشبندی داده‌ها از آن استفاده می‌شود. در این شبکه نرون‌ها برای فعال شدن با توجه به داده ورودی با هم رقابت می‌کنند. در این شبکه با ورود یک داده جدید به ورودی شبکه، همه نرون‌های لایه خروجی با توجه به یک معیار فاصله، فاصله خود را تا این داده محاسبه می‌کنند. نرون با

^۱ Self Organizing Map

نزدیکترین معیار فاصله در رقابت برنده می‌شود. سپس وزن‌های این نرون و نرون‌هایی که در همسایگی آن هستند، متناسب با فاصله خود تا نرون برنده به روز رسانی می‌شوند. شکل (۱۵-۳) ساختار کلی این شبکه‌ها را نشان می‌دهد.



شکل ۱۵-۳ ساختار کلی شبکه عصبی خودسازمانده (SOM)

الگوریتم خودسازمانده را می‌توان به‌طور خلاصه به‌صورت زیر بیان کرد:

۱- وزن‌های اولیه نرون‌ها (w_{ij})، پارامترهای ساختار توپولوژیکی همسایگی‌ها و نرخ یادگیری (α) تعیین می‌شوند.

۲- تا هنگامی که شرایط توقف فراهم شود مراحل ۳ تا ۷ انجام می‌شود.

۳- برای هر بردار ورودی مراحل ۴ تا ۶ انجام می‌شود.

۴- برای هر نرون تابع فاصله زیر محاسبه می‌شود.

$$D(j) = \sum_i (w_{ij} - x_i)^2 \quad (25-3)$$

۵- نرونی که کمترین مقدار D را دارد، تعیین می‌شود.

۶- وزن‌های نرون برنده \dot{z} و نرون‌های همسایه آن با توجه به میزان فاصله همسایگی آن‌ها تا نرون برنده

به روز رسانی می‌شوند:

$$W_{ij}(new) = W_{ij}(old) + \alpha [x_i - W_{ij}(old)] \quad (26-3)$$

۷- نرخ یادگیری (α) به روز رسانی می‌شود. مقدار نرخ یادگیری در هر مرحله از دفعات تکرار کاهش می‌یابد.

در مقایسه روش‌های خوشبندی فازی و شبکه‌های عصبی رقابتی روی تصاویر رنگی مختلف، روش شبکه‌های عصبی رقابتی نتایج بهتری را برای بخش بندی تصویر نتیجه می‌دهد [۱۱].

۳-۳-۵- ارزیابی روش‌های مختلف بخش بندی

تحقیقات زیادی در زمینه بررسی روش‌های مختلف بخش بندی تصاویر صورت گرفته است. ولی تعداد خیلی کمی از این تحقیقات به چگونگی ارزیابی و مقایسه این روش‌ها و پیاده‌سازی آن‌ها روی تصاویر مختلف پرداخته‌اند. بیشتر تحقیقات تنها بر یکی از کاربردهای بخش‌بندی تصاویر مانند پزشکی، کنترل از راه دور، بازیابی تصاویر و... تکیه کرده‌اند [۱۳].

برای ارزیابی روش‌ها حوزه کاربرد هر روش بسیار مؤثر است و نمی‌توان یک روش بخش‌بندی برای همه حوزه‌های کاری تعریف کرد. ولی همیشه در هر حوزه یک روش بهترین خواهد بود [۱۳].

برای یافتن بهترین روش در هر حوزه می‌توان سه مسئله زیر را در مقایسه روش‌ها با هم در نظر گرفت:

- نواحی بخش‌بندی شده ممکن است بزرگتر یا کوچکتر از مقدار واقعی باشند.

- لبه‌های نواحی بخش‌بندی شده ممکن است متصل به هم نباشند.

- زیر یا بیش بخش‌بندی در تصاویر رخ دهد.

۴-۳ - شبکه عصبی RBF

شبکه‌های عصبی RBF، در سال‌های اخیر مورد توجه بسیار زیاد محققان قرار گرفته‌اند. این شبکه‌ها به‌طور موفقیت آمیزی در زمینه‌های مختلفی به کار گرفته شده‌اند [۱۹]. ایده اصلی این نوع شبکه‌های عصبی مبتنی بر اختصاص هر یک از نرون‌های لایه میانی به عنوان یک مرکز برای دسته‌ای از داده‌های موجود است. نام این شبکه از این واقعیت گرفته شده است که توابع فعال‌ساز در لایه میانی از نوع توابع شعاعی مانند تابع گوسی هستند. این شبکه‌ها دارای سه لایه هستند: لایه ورودی، لایه میانی (لایه مخفی) و لایه خروجی. ابعاد لایه ورودی مساوی با ابعاد داده‌های ورودی است. پس از ورود داده‌ها به لایه ورودی، این داده‌ها به توابع شعاعی در لایه میانی وارد می‌شوند. خروجی این توابع فعال‌ساز به‌وسیله یک رابطه خطی با وزن‌های لایه خروجی با هم ترکیب می‌شوند و خروجی نهایی برای این شبکه‌ها تولید می‌شود.

به منظور استفاده از یک شبکه عصبی RBF، باید توابع فعال‌ساز نرون‌های لایه مخفی، تعداد واحدهای پردازنده لایه مخفی و یک معیار ارزیابی برای بررسی عملکرد و آموزش شبکه در کاربرد خاصی مشخص شوند. به یافتن پارامترهای توابع فعال ساز و وزن‌های لایه خروجی شبکه، آموزش شبکه می‌گویند. در مرحله آموزش، شبکه سعی می‌کند که پارامترها و وزن‌ها را به نحوی بهینه کند که بهترین ارتباط را بین فضای داده‌های ورودی و داده‌های خروجی برقرار کند. پس از آموزش شبکه، می‌توان از آن برای تعیین خروجی در مورد داده‌های آزمایشی که از لحاظ آماری مشابه داده‌های آموزش هستند، استفاده کرد.

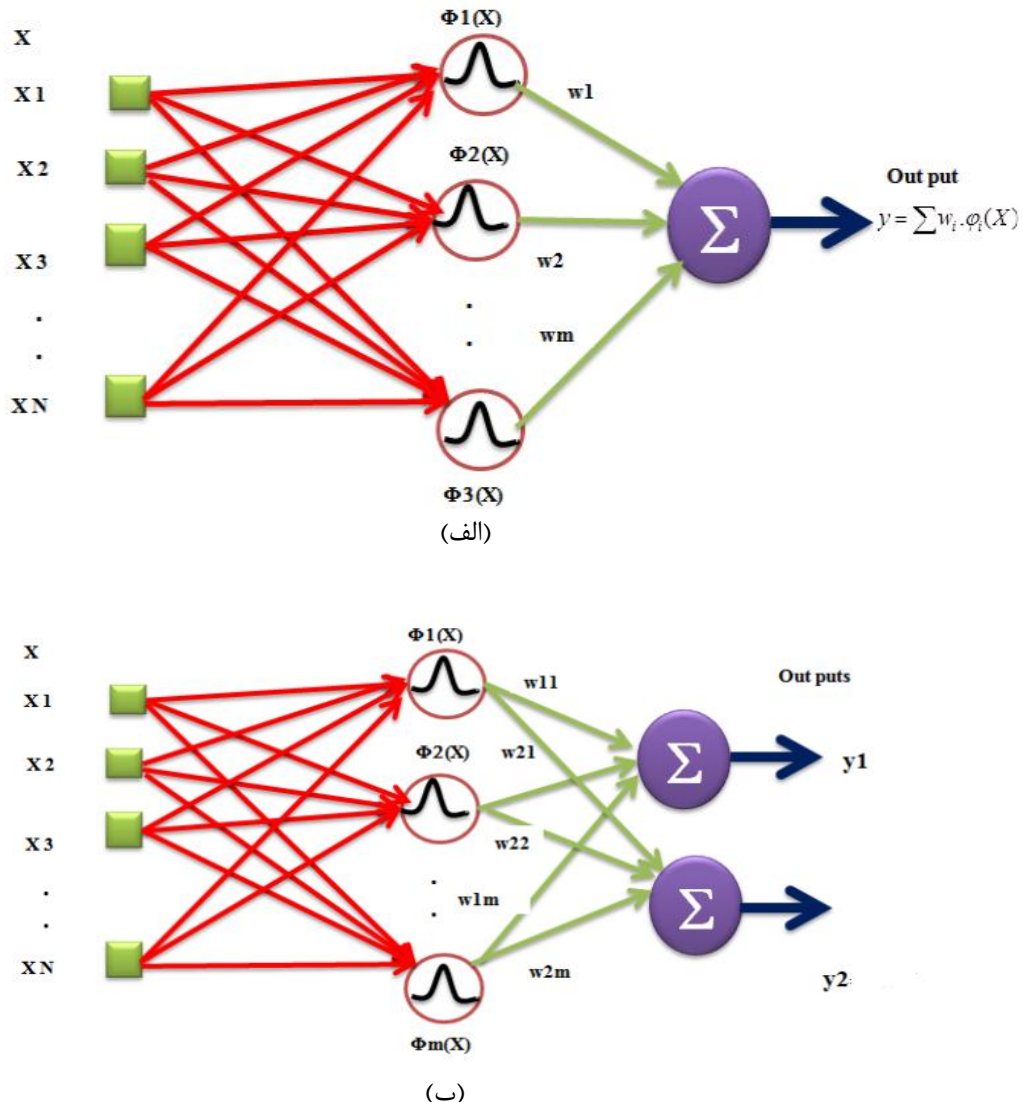
در ادامه این بخش به بررسی جزئی‌تر این نوع شبکه‌های عصبی پرداخته می‌شود.

۱-۴-۳- ساختار شبکه‌های RBF

شبکه‌های عصبی شعاعی، یک نوع شبکه عصبی رو به جلو دو لایه است. این شبکه‌ها به وسیله یک مجموعه داده ورودی و خروجی مشخص می‌شوند. بین داده‌های ورودی و خروجی یک لایه از واحدهای پردازشگر که واحدهای مخفی خوانده می‌شوند، وجود دارد. داده‌های ورودی، وارد لایه ورودی شبکه می‌شوند. اگر از این شبکه‌های برای تخمین یکتابع استفاده شود، شبکه دارای یک خروجی است و اگر برای طبقه‌بندی باشند، دارای چند خروجی به تعداد کلاس‌ها هستند. توابع فعال-ساز نرون‌های لایه مخفی توابعی شعاعی هستند. شکل (۱۶-۳) ساختار کلی این شبکه‌ها را نشان می‌دهد.

اگر X داده ورودی، y خروجی یک شبکه عصبی رقابتی باشد. رابطه زیر خروجی این شبکه را نشان می‌دهد. داده ورودی پس از عبور از توابع فعال ساز نرون‌های لایه میانی، با یک ترکیب خطی به وسیله وزن‌های لایه خروجی مقدار خروجی را تولید می‌کند.

$$y = \sum w_i \cdot \varphi_i(X) \quad (27-3)$$



شکل ۱۶-۳ االف. ساختار شبکه RBF تک خروجی و ب. ساختار شبکه RBF چند خروجی

۳-۴-۲- توابع فعال‌ساز شعاعی

توابع شعاعی، توابعی هستند که مقدار خروجی آن‌ها تابعی از فاصله متغیر ورودی از یک نقطه مرکزی است. با افزایش فاصله از این نقطه (به طور مثال میانگین در توابع گوسی) مقدار خروجی تابع به صورت

یکنواخت کاهش می‌یابد. با ترکیبی از این توابع می‌توان، توابع مختلفی را تقریب زد. برخی از توابع فعال‌ساز شعاعی که معمولاً مورد استفاده قرار می‌گیرند در زیر معرفی می‌شوند.

● چند جمله‌ای توان زوج

$$\phi(r) = (r^2 + c^2)^{\frac{1}{2}} \quad (28-3)$$

$$c > 0$$

$$r \in R$$

● معکوس چند جمله‌ای زوج

$$\phi(r) = \frac{1}{(r^2 + c^2)^{\frac{1}{2}}} \quad (29-3)$$

$$c > 0$$

$$r \in R$$

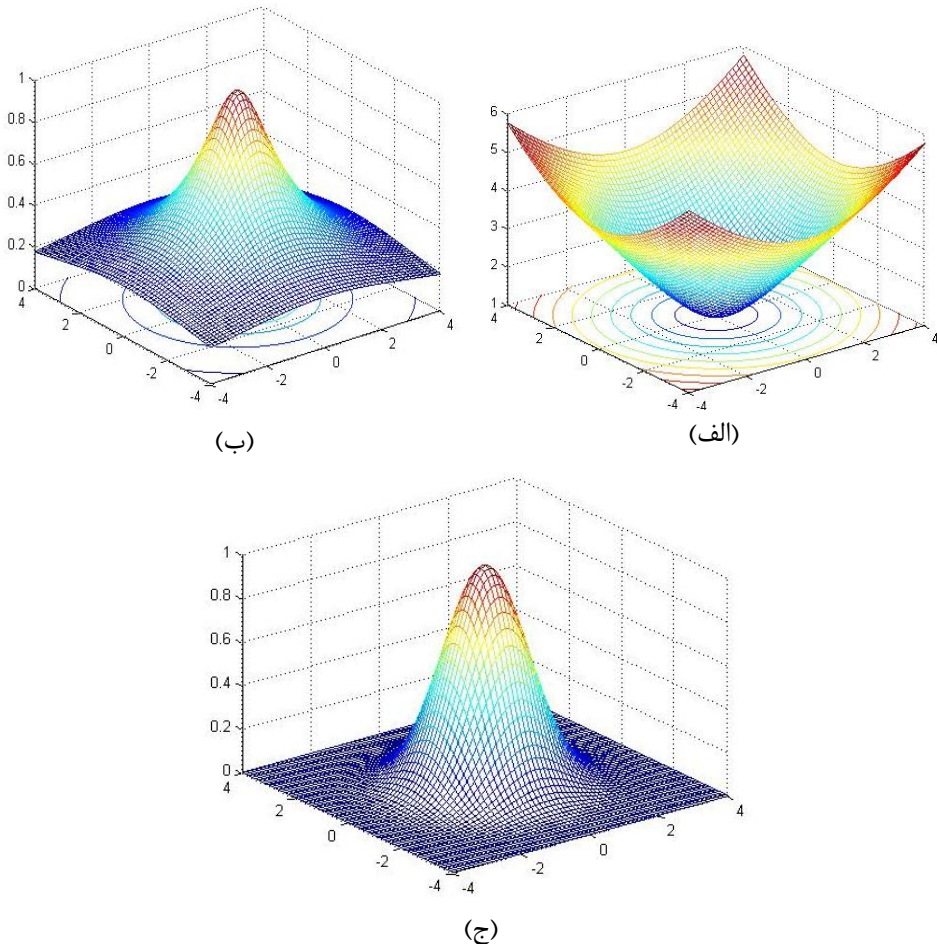
● تابع گوسی

$$\phi(r) = \exp\left(-\frac{r^2}{2\sigma^2}\right) \quad (30-3)$$

$$\sigma > 0$$

$$r \in R$$

شکل (۱۷-۳) تابع معرفی شده شعاعی در این بخش را نشان می‌دهد.



شکل ۳-۱۷-۳ توابع شعاعی. الف. تابع چند جمله‌ای توان زوج، ب. تابع معکوس چند جمله‌ای توان زوج
ج. تابع گویی

۳-۴-۳- الگوریتم یادگیری شبکه عصبی RBF

یادگیری شبکه عصبی RBF، شامل دو بخش است. یک بخش تعیین بهترین پارامترها برای تابع فعال‌ساز شعاعی در لایه میانی و بخش دیگر یافتن بهترین وزن‌ها در لایه خروجی، برای ترکیب خروجی‌های لایه مخفی با هم برای رسیدن به بهترین خروجی است.

- تعیین پارامترهای تابع فعال‌ساز شعاعی

برای تعیین پارامترهای تابع فعال‌ساز می‌توان از الگوریتم‌های مختلفی استفاده کرد. که برخی از آن‌ها عبارتند از:

- الف) پارامترهای توابع فعال ساز مقادیر ثابتی هستند که به صورت تصادفی انتخاب می‌شوند.
- ب) پارامترهای توابع فعال ساز با روش‌های خود سازمان یافته مانند الگوریتم خوشه‌بندی C - means با جستجو در فضای داده‌های ورودی تعیین می‌شوند.
- ج) پارامترهای توابع فعال ساز مانند وزن‌های لایه خروجی با فرآیند آموزش با ناظر تعیین شوند.

• تعیین وزن‌های لایه خروجی

برای تعیین وزن‌های لایه خروجی دو روش کلی را می‌توان بیان کرد:

الف) از ماتریس شبکه معکوس برای یافتن وزن‌های لایه خروجی استفاده می‌شود.

اگر فرض کنیم که نمونه‌های ورودی با x_j و مقادیر خروجی توابع فعال ساز لایه خروجی را با ϕ_{ji}

نشان دهیم. بردار d خروجی‌های مورد انتظار برای ورودی‌ها را نشان دهد. با استفاده از رابطه زیر می‌توانیم وزن‌های لایه خروجی را که با بردار W نشان داده می‌شود به دست آورد.

$$W = (\phi^T \phi)^{-1} \phi^T d \quad (31-3)$$

$$W = \begin{bmatrix} w_1 \\ \vdots \\ w_m \end{bmatrix} \quad d = \begin{bmatrix} d_1 \\ \vdots \\ d_m \end{bmatrix} \quad \phi = \begin{bmatrix} \phi_{11} & \dots & \phi_{1m} \\ \vdots & \ddots & \vdots \\ \phi_{N1} & \dots & \phi_{Nm} \end{bmatrix}$$

ب) استفاده از الگوریتم‌های یادگیری انتشار به عقب

برای یافتن بهترین وزن‌ها در لایه خروجی می‌توان از الگوریتم‌های یادگیری در شبکه‌های عصبی چند لایه پرسپترون مانند روش انتشار به عقب^۱ استفاده کرد. مراحل کلی این الگوریتم را می‌توان به صورت زیر بیان کرد:

- انتخاب وزن‌های اولیه به صورت تصادفی
- تغذیه شبکه با یک داده ورودی آموزشی و محاسبه خروجی شبکه
- اندازه‌گیری خطای بین خروجی به دست آمده با خروجی مطلوب
- محاسبه گرادیان خطای نسبت به پارامترهای شبکه
- به روز رسانی وزن‌ها با استفاده از گرادیان خطای
- تکرار الگوریتم تغذیه شبکه با داده‌های آموزش و به روز رسانی وزن‌ها تا رسیدن به خطای قابل قبول یا پایان تعداد دفعات به روز رسانی وزن‌ها.

۳-۵-۳- معیارهای ارزیابی همانندی تصاویر با هم

برای ارزیابی تصویر از نظر همانندی با هم، به طور کلی دو روش وجود دارد. در روش اول با استفاده از ناظر انسانی همانندی تصاویر با هم سنجیده می‌شود [۲۰]. به این روش، اصطلاحاً روش طرفدارانه می‌گویند. از این روش در کاربردهایی که کاربر نهایی برای استفاده از آن انسان است، استفاده می‌شود. عیب این روش، سخت بودن کار، وقت‌گیر بودن کار و هزینه بالای آن است.

^۱ Back propagation

روش دوم برای ارزیابی تصاویر که اصطلاحاً به آن روش بی‌طرفانه می‌گویند، از معیارهای کمی برای ارزیابی همانندی تصاویر استفاده می‌شود. هر چه معیار ارزیابی کمی مناسب‌تری انتخاب شود نتیجه آن به نتیجه روش اول نزدیک‌تر خواهد بود [۲۰].

برای ارزیابی همانندی تصاویر می‌توان از معیارهای مختلفی استفاده کرد، در این بخش به معرفی برخی از معیارها پرداخته می‌شود. ضمن مقایسه آن‌ها با هم، بهترین معیار برای ارزیابی در آشکارسازی شکستگی در چاهنماههای تصویری انتخاب می‌شود.

معیارهایی که برای ارزیابی کمی در این بخش بررسی خواهند شد عبارتند از:

- مجموع مربعات خطأ (MSE)
- PSNR^1
- SSIM^2
- استفاده از ماتریس طبقه‌بندی (Confusion Matrix)

حال به معرفی هر یک از پارامترهای ارزیابی فوق پرداخته می‌شود.

• مجموع مربعات خطأ

یکی از روش‌های بی‌طرفانه ارزیابی همانندی دو تصویر که بسیار مورد استفاده قرار گرفته است، روش مجموع مربعات خطأ است. این روش به میانگین‌گیری بر روی مجموع مربع اختلاف روشنایی هر پیکسل از تصویر مورد نظر با تصویر مرجع می‌پردازد [۲۰]. رابطه زیر این معیار را نشان می‌دهد.

$$MSE(X, Y) = \frac{1}{N} \sum_{i=1}^N (x_i - y_i)^2 \quad (32-3)$$

¹ Mean Square Error

² Peak Signal – to – Noise Ratio

3 Structural Similarity Index Measure

در رابطه بالا N تعداد پیسکل‌های تصویر، x_i و y_i به ترتیب روشنایی پیکسل آن تصویر مورد مقایسه و تصویر مرجع هستند.

اگرچه این معیار بسیار ساده و سریع است، ولی این معیار در بسیاری از کاربردهای پردازش تصویر و برخی اعوجاجها در تصاویر معیاری مناسب برای ارزیابی دو تصویر از نظر همانندی نیست [۲۰]. به طور مثال ممکن است پیکسل‌های یک تصویر بسیار کم جابجا شوند، اگرچه از نظر بصری دو تصویر مشابه هم هستند ولی از نظر این معیار دو تصویر شباهت بسیار کمی خواهند داشت و مقدار خطأ زیاد خواهد بود.

PSNR •

معیار دیگری که معمولاً در روش بی‌طرفانه برای ارزیابی همانندی دو تصویر استفاده می‌شود، نسبت ماکریم سیگنال به نوفه است که بر حسب دسیبل با رابطه زیر محاسبه می‌شود [۲۰].

$$PSNR(X,Y)=10 \log_{10}\left(\frac{MAX^2}{MSE(X,Y)}\right) \quad (33-3)$$

در رابطه فوق MAX بیشترین مقدار روشنایی ممکن برای یک پیکسل از تصویر است. مثلاً برای تصاویر b بیتی این مقدار برابر با $(-1)^{2^b}$ است. با توجه به رابطه این معیار و ارتباط آن با مجموع مربعات خطأ، این روش نیز مشکلات مجموع مربعات خطأ را خواهد داشت. از طرفی این معیار زمانی اطلاعات جدیدی به ما می‌دهد که مقدار ماکریم دو تصویر یکسان نباشد.

SSIM •

یکی از معیارهایی که اخیراً برای اندازه‌گیری همانندی تصویر پیشنهاد شده است، شاخص SSIM است. این معیار با بهره‌گیری از قابلیت سیستم بینایی انسان که برای مقایسه تصاویر به اطلاعات ساختاری هم توجه می‌کند، به ارزیابی همانندی دو تصویر می‌پردازد [۲۰].

برای محاسبه SSIM دو تصویر فرض کنید که x و y دو قطعه از تصاویر باشند که از محلی یکسان از دو تصویر مورد مقایسه گرفته شده باشند. شاخص SSIM محلی شباهت سه عامل از دو قطعه تصویر را اندازه‌گیری می‌کند: روشنایی دو قطعه از تصویر $I(x,y)$, کنترast دو قطعه $c(x,y)$ و ساختار دو قطعه $s(x,y)$. این شباهت‌های محلی با استفاده از روابط آماری ساده که به آسانی قابل مقایسه هستند بیان می‌شوند و به صورت زیر با هم ترکیب می‌شوند تا SSIM را ایجاد نمایند:

$$S(x, y) = I(x, y) \cdot c(x, y) \cdot s(x, y) \quad (34-3)$$

$$S(x, y) = \left(\frac{2\mu_x\mu_y + C_1}{\mu_x^2 + \mu_y^2 + C_1} \right) \cdot \left(\frac{2\sigma_x\sigma_y + C_2}{\sigma_x^2 + \sigma_y^2 + C_2} \right) \cdot \left(\frac{\sigma_{xy} + C_3}{\sigma_x\sigma_y + C_3} \right) \quad (35-3)$$

که در آن μ_x و μ_y به ترتیب میانگین پیکسل‌های واقع در x و y , σ_x و σ_y به ترتیب انحراف معیار پیکسل‌های واقع در x و y است. σ_{xy} همبستگی متقابل بین پیکسل‌های x و y است. اعداد C_1 و C_2 و C_3 ثابت‌هایی کوچک و مثبت برای جلوگیری از ناپایداری محاسباتی مقادیر نزدیک به صفر میانگین-ها و انحراف معیارهای رابطه فوق است.

شاخص SSIM معیاری محدود و متقارن است. یعنی مقدار آن بین (-1) و $(+1)$ قرار دارد و $S(x,y) = S(y,x)$ است. این شاخص به صورت محلی و با یک پنجره لغزان با جایگایی پیکسل به پیکسل محاسبه می‌شود. میانگین مقدارهای پیکسل‌های مختلف مقدار نهایی شاخص را برای کل تصویر نشان می‌دهد.

• ماتریس طبقه‌بندی

در این روش از اطلاعات مکانی هر پیکسل در کنار اطلاعات روشنایی تصویر برای ارزیابی همانندی تصویر مورد بررسی با تصویر مرجع استفاده می‌شود. از این روش برای مقایسه تصویر بخش‌بندی شده با تصویر بخش‌بندی شده مرجع استفاده می‌شود. در این روش پیکسل‌ها در تصویر مورد بررسی به دو دسته تقسیم می‌شوند. پیکسل‌هایی که در تصویر مورد بررسی از نظر روشنایی و مکانی منطبق با

پیکسل‌های متناظر در تصویر مرجع هستند. دسته دوم پیکسل‌هایی که در تصویر بررسی از نظر رنگ یا مکانی متناظر با پیکسل مشابه در تصویر مرجع نیستند. ماتریس طبقه‌بندی به صورت زیر تعریف می‌شود.

$$\text{Confusion Matrix} = \begin{bmatrix} C_{11} & C_{12} \\ C_{21} & C_{22} \end{bmatrix} \quad (36-3)$$

C_{11} پیکسل‌هایی هستند که به عنوان پدیده مورد نظر شناخته شده‌اند و در تصویر مرجع نیز مربوط به پدیده مورد مطالعه هستند.

C_{12} پیکسل‌هایی هستند که به عنوان پشت زمینه شناخته شده‌اند ولی در تصویر مرجع مربوط به پدیده مورد نظر هستند.

C_{21} پیکسل‌هایی هستند که به عنوان پدیده مورد نظر شناخته شده‌اند ولی در تصویر اصلی مربوط به پشت زمینه هستند.

C_{22} پیکسل‌هایی هستند که متعلق به پشت زمینه شناخته شده‌اند و در تصویر مرجع نیز متعلق به پشت زمینه هستند.

برای آن‌که اثر نسبت پیکسل‌های تصویر از نظر تعداد در نتیجه ارزیابی همانندی دو تصویر کاهش یابد. مقادیر فوق با تقسیم بر تعداد پیکسل‌های مربوط به کلاس خود در تصویر مرجع نرمال شده‌اند. میانگین درایه‌های قطری ماتریس فوق میزان همانندی دو تصویر را نسبت به هم نشان می‌دهد. این الگوریتم برای ارزیابی یک تصویر بخش‌بندی شده نسبت به تصویر مرجع به دلیل توجه به مکان در کنار رنگ از سایر شاخص‌های معرفی شده در این حوزه کاربردی از پردازش تصویر بسیار مناسب‌تر است. میانگین درایه‌های قطری ماتریس فوق به عنوان میانگین دقت^۱ معرفی می‌شود و با علامت اختصاری A.C نشان داده می‌شود.

^۱ Average correction

$$A.C = \left(\frac{C_{11} + C_{22}}{2} \right) \quad (37-3)$$

• مقایسه شاخص‌های ارزیابی

در میان شاخص‌های ارزیابی در صورتی که هدف از بررسی همانندی دو تصویر از نظر خرابی‌های مانند نوکه و اعوجاج در تصویر باشد، بهترین معیار SSIM است. این معیار با تکیه بر اطلاعات محلی پیکسل‌ها در کنار روشنایی به ساختار بخش‌های مختلف تصویر مانند بافت نیز توجه می‌کند.

برای مقایسه دو تصویر از نظر همانندی در الگوریتم‌های بخش‌بندی در کنار روشنایی هر پیکسل مکان آن پیکسل نیز مهم است. در این الگوریتم‌ها، معیار ارزیابی با توجه به تعداد پیکسل‌هایی که در تصویر مرجع و تصویر ارزیابی متعلق به یک کلاس یکسان از پیکسل‌ها هستند، مورد توجه است. به‌طور مثال از تعداد پیکسل‌های پشت زمینه چه تعداد پیکسل به عنوان پشت زمینه در تصویر بخش بندی شده به درستی تشخیص داده شده‌اند. بنابراین برای ارزیابی تصویر حاصل از بخش‌بندی با تصویر مرجع بخش‌بندی شده، استفاده از مفهوم ماتریس طبقه‌بندی از سایر شاخص‌ها بهتر است.

فصل چهارم

الکوریسم ہائی پریشناڈی

برائی شناسائی و ردیابی سکستنی ہے

۱-۴- مقدمه

تحقیقات انجام شده نشان می دهد که برای شناسایی شکستگی ها در مخازن کربناته با استفاده از چاه نمودارهای تصویری، تحقیقات جامع و روش استانداردی پیشنهاد نشده است. لذا در این تحقیق برحی روشهای پردازش تصویر، جهت شناسایی شکستگی ها از چاه نمودارهای تصویری استفاده شده است.

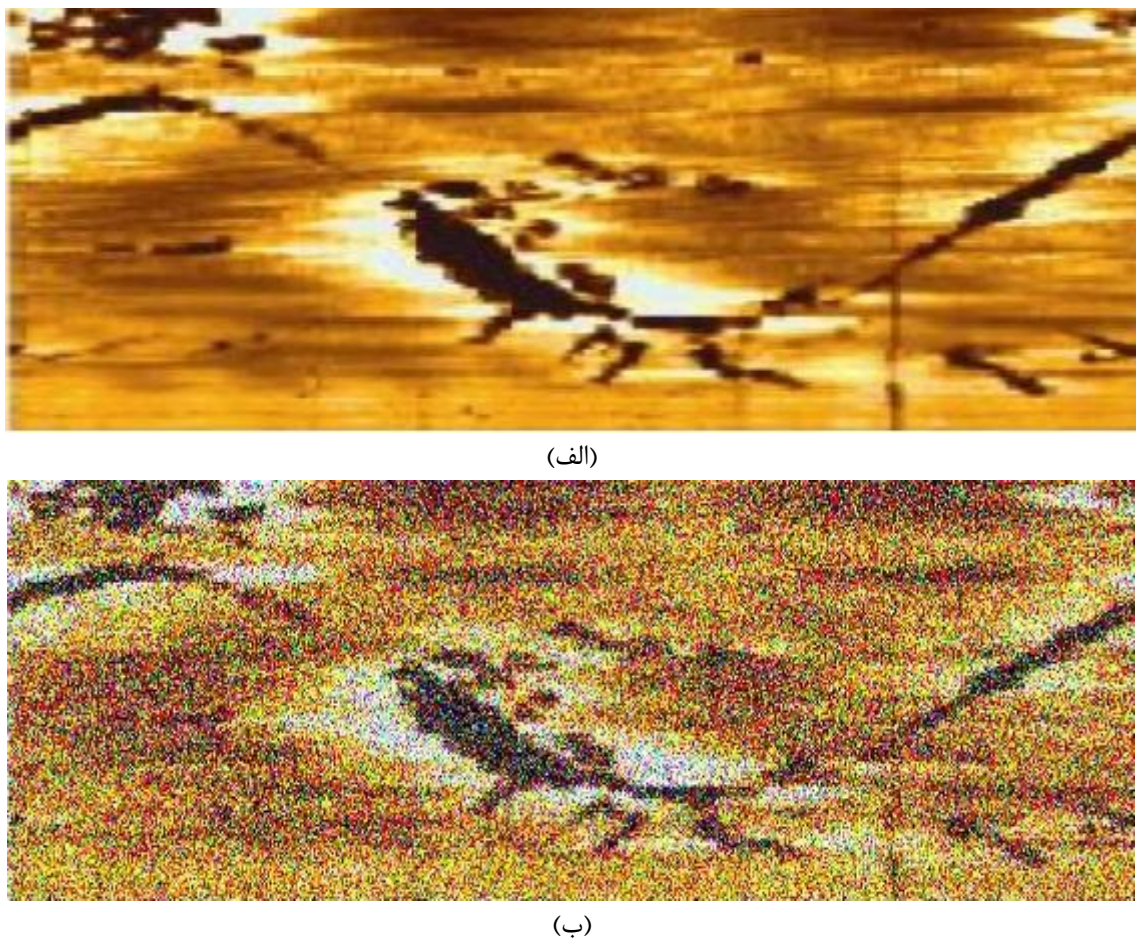
در این فصل مراحل مختلف کارهای انجام شده بر روی چاه نمودارهای تصویری برای شناسایی شکستگی ها بیان خواهد شد. الگوریتم های پیشنهادی برای شناسایی و ردیابی شکستگی به صورت گام به گام بیان و نتیجه آنها در هر مرحله بر روی چاه نمودار تصویری نمونه بررسی می شود.

۲-۴- بررسی مراحل الگوریتم

برای شناسایی شکستگی ها با استفاده از چاه نمودارهای تصویری می توان مراحل کلی کار را به صورت زیر بیان کرد:

- بررسی برحی روشهای مختلف بخش بندی و مقایسه نتایج آنها با هم و انتخاب بهترین روش برای بخش بندی چاه نمودارهای تصویری
- استخراج نقاطی از تصویر که نماینده نقاط مربوط به شکستگی هستند.
- دسته بندی نقاط جدا شده برای هر یک از شکستگی ها
- تعیین و رسم مسیر شکستگی مربوط به هر یک از شکستگی ها که در مرحله قبل جدا شده اند.

برای بررسی الگوریتم ها شکل (۱-۴) تصویر نمونه یک چاه نمودار تصویری را برای دو حالت بدون نوفه و با نوفه نشان می دهد. از این تصاویر برای بررسی نتایج الگوریتم ها در این فصل استفاده خواهد شد.



شکل ۴-۱ تصاویر نمونه (الف. تصویر بدون نویفه و ب. تصویر با نویفه)

۴-۱-۲-۴- بخش‌بندی چاهنماههای تصویری

اولین گام در شناسایی شکستگی‌ها به وسیله چاهنماههای تصویری جدا‌سازی پدیده‌های شکستگی و برخی پدیده‌های مشابه آن مانند لایه‌بندی از سایر پیکسل‌های تصویر است. در این مرحله از کار به بررسی روش‌های مختلف بخش‌بندی و مقایسه نتایج آن‌ها با هم و سپس انتخاب بهترین روش برای بخش‌بندی جهت ادامه کار پرداخته می‌شود.

الگوریتم‌هایی که در این بخش مورد ارزیابی قرار گرفته‌اند را می‌توان به دو دسته کلی تقسیم کرد:

- الگوریتم‌های مبتنی بر روشنایی و استفاده از تصاویر خاکستری

- الگوریتم‌های مبتنی بر رنگ (استفاده از تصاویر رنگی)

در ادامه به طور مفصل روش‌های مورد استفاده از دو دسته کلی معرفی شده در فوق بررسی می‌شوند. در پایان نتایج حاصل از آن‌ها جهت انتخاب بهترین روش مقایسه می‌شود. شکل (۲-۴) تصویر بخش‌بندی شده مرجع را برای مقایسه نتایج الگوریتم‌های بخش‌بندی نشان می‌دهد.



شکل ۲-۴ تصویر بخش بندی شده مرجع

۱-۱-۲-۴- الگوریتم‌های بخش بندی مبتنی بر روشنایی (تصاویر خاکستری)

با توجه به اینکه الگوریتم‌های مبتنی بر روشنایی برای بخش بندی نسبت به تصاویر رنگی دارای بار محاسباتی کمتری هستند. در ابتدا به بررسی روش‌های خاکستری پرداخته می‌شود. از سه روش کلی بخش بندی تصاویر خاکستری که در بیشتر کارهای پردازش تصویر از آن‌ها استفاده می‌شود بدین منظور استفاده شده است. سه الگوریتم استفاده شده عبارتند از :

- روش‌های مبتنی بر مشتقات تصویر خاکستری

- روش‌های آستانه‌گذاری

• روش های مبتنی بر عملگرهای مورفولوژیکی

در زیر هر کدام از این تکنیک ها معرفی شده و نتایج حاصل از آن ها بررسی خواهد شد.

الف) روش بخش بندی مبتنی بر مشتقات تصاویر خاکستری

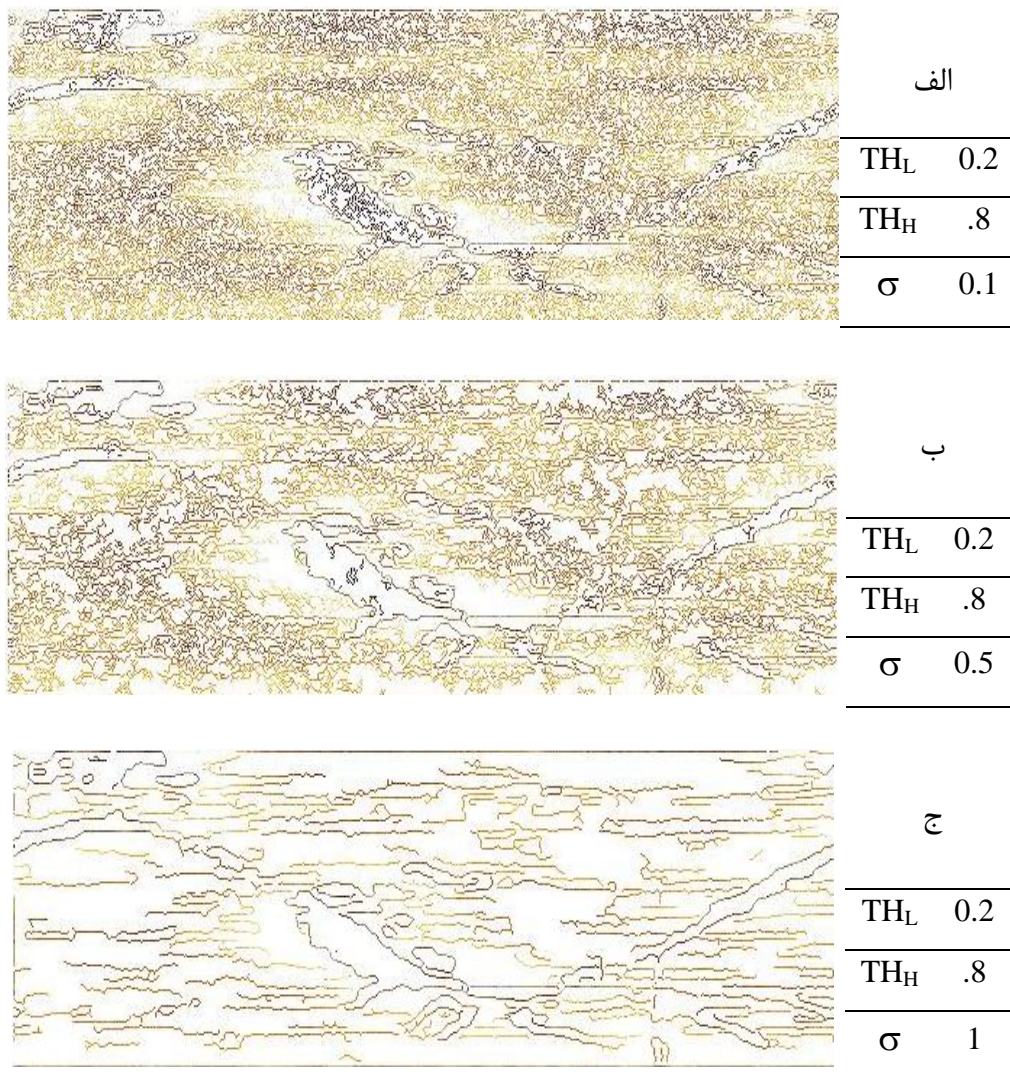
با توجه به اینکه چاهنودارهای تصویری حاوی نویه بوده و استفاده از فیلتر برای حذف نویه در آن ها ممکن است منجر به حذف برخی اطلاعات در تصویر شود. نیز لبه ها در تصاویر دچار سایش می شوند. بنابراین باید از روش هایی از مشتق گیری استفاده شود که تا حد ممکن نسبت به این تغییرات مصون باشند. بررسی ها انجام شده نشان داد که در بین روش های بخش بندی با استفاده از مشتقات روش آشکارساز لبه Canny نسبت به سایر روش ها دارای حساسیت کمتری نسبت به نویه بوده و باعث ساییدگی کمتری در لبه ها می شود. این آشکارساز در بیشتر روش های آشکارسازی مبتنی بر لبه در تصاویر خاکستری استفاده می شود. این روش به عنوان روش بهینه در بین بسیاری از متخصصان پردازش تصویر شناخته می شود. بدین منظور در بین آشکارسازهای لبه، این آشکارساز لبه برای بررسی بر روی چاهنودارهای تصویری انتخاب گردید. آشکارساز لبه Canny بعد از حذف نویه با استفاده از یک فیلتر گوسی با استفاده از لاپلاسین نقاطی که کاندید لبه هستند را آشکار می کند. سپس با استفاده از دو مقدار آستانه پایین و بالا به حذف نقاطی که شанс کمتری برای لبه بودن دارند می پردازد. با تغییر این مقادیر آستانه می توان لبه های آشکار شده را کنترل کرد. در کنار مقادیر آستانه می توان پارامتر پراکندگی فیلتر گوسین را در آشکار ساز لبه Canny کنترل کرد.

ابتدا تصاویر رنگی به تصاویر خاکستری تبدیل می شوند و پس از اعمال روش Canny بر روی تصویر خاکستری، تصویر حاصل مجدداً به تصویر رنگی تبدیل می شود.

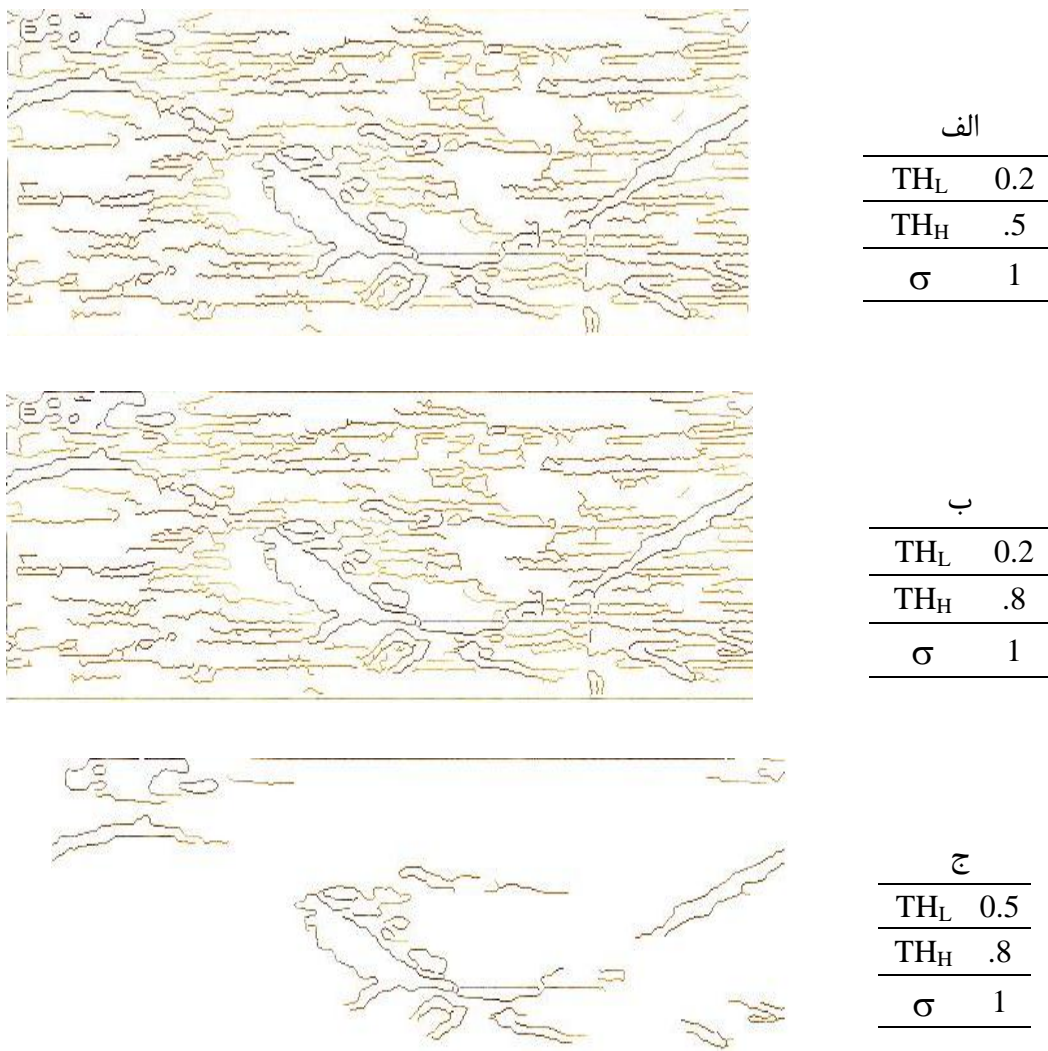
با ثابت نگه داشتن مقادیر آستانه و تغییر واریانس در آشکارساز لبه Canny نتیجه حاصل تغییر می کند. با افزایش مقدار واریانس نویه در تصاویر کاهش می باید ولی به دلیل ملاجم تر شدن تصویر برخی

فصل چهارم: الگوریتم های میثادی برای شناسایی دریایی شنگنک؛

از لبه ها و اطلاعات در تصویر ازبین رفته و آشکارسازی لبه ها تغییر می کند. شکل (۳-۴) نتایج را برای تصویر نمونه (۴-۱) بدون نوفه نشان می دهد.



شکل ۳-۴- نتایج حاصل از آشکارسازی لبه Canny برای بخش بندی تصویر با مقادیر مختلف واریانس



شکل (۴-۴) نتایج حاصل از آشکارساز لبه Canny برای بخش بندی تصویر با مقادیر مختلف آستانه

شکل (۴-۴) نتایج حاصل از تغییر مقادیر آستانه با فرض ثابت نگه داشتن واریانس را نشان می‌دهد.

برای تصاویر مختلف به دلیل تفاوت ساختار آنها در میزان نویه و جزئیات موجود در تصویر برای مقادیر متفاوت آستانه و واریانس، نتایج متفاوتی به دست می‌آید. با بررسی نتایج حاصل بر روی تصاویر فوق، همانطور که مشاهده می‌شود این تکنیک قابلیت مناسبی برای آشکارسازی لبه‌ها به منظور بخش

بندی چاهنماودارهای تصویری ندارد. جزئیات نامطلوب زیادی در مرحله بخش بندی که مربوط به پدیده های غیر از شکستگی و یا مشابه آن مانند لایه بندی، آشکار می شوند.

ب) بخش بندی با استفاده از روش های آستانه گذاری

در این بخش از کار از روش های آستانه گذاری کلی و محلی به منظور جداسازی شکستگی و پدیده های مشابه آن در چاهنماودارهای تصویری از سایر پیکسل ها استفاده شده است. مراحل این بخش از کار را می توان به صورت گام های زیر بیان کرد:

- بررسی هیستوگرام چاهنماودارهای خاکستری به منظور بخش بندی با روش های کلی
- بررسی هیستوگرام چاهنماودارهای تصویری به منظور بخش بندی با استفاده از روش های محلی

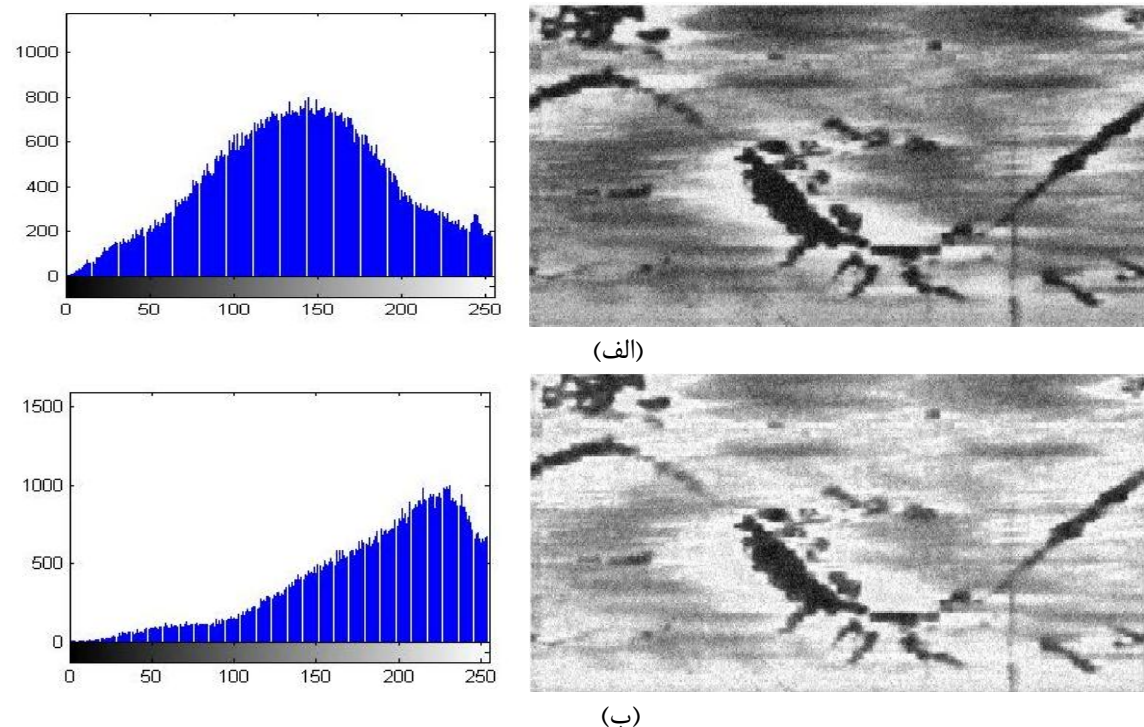
الف) بررسی هیستوگرام چاهنماودارهای خاکستری به منظور بخش بندی با روش های کلی
اگر چه روش بخش بندی با استفاده از مقدار آستانه از نظر تئوری نسبتاً ساده بوده و به دلیل سرعت بالای آن مورد توجه قرار می گیرد. ولی در عمل یافتن مقدار آستانه مناسب و وجود مشکلاتی مانند نوشه این روش را در عمل با پیچیدگی های خاص خود و نوعاً غیر ممکن می سازد.

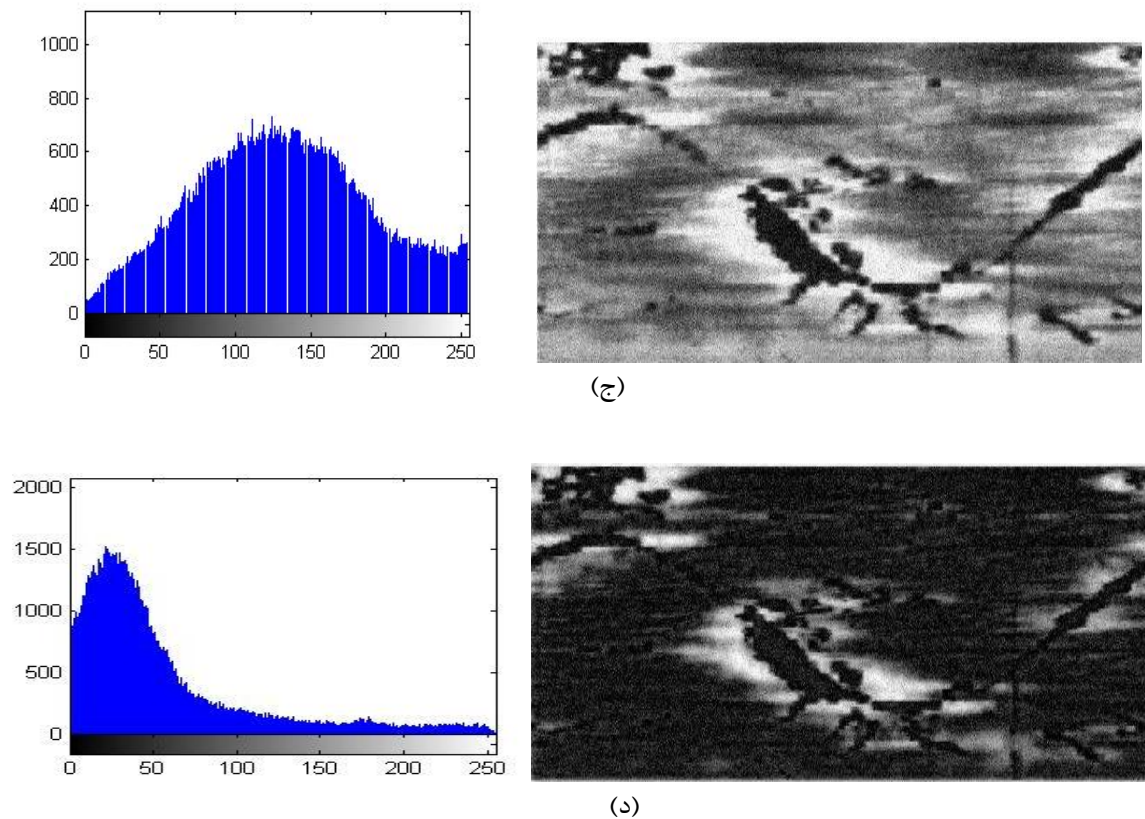
به منظور بررسی امکان بخش بندی تصاویر با استفاده از مقدار آستانه به کمک هیستوگرام تصویر چاهنماودارهای تصویری، هیستوگرام تصاویر نمونه موجود در حالت های مختلف زیر مورد بررسی قرار گرفت.

- هیستوگرام تصویر خاکستری چاهنماودار تصویری
- هیستوگرام هر یک از مؤلفه های R، G و B تصویر به طور جداگانه
- حذف نوشه با استفاده از فیلتر گوسی و انجام مراحل قبلی

به منظور بررسی حالت‌های فوق از تصویر (۱-۴) به عنوان تصویر نمونه استفاده شده است. هر کدام از حالت‌های فوق بر روی این تصویر مورد بررسی و آزمایش قرار گرفته و در ادامه نتایج آن‌ها مشاهده می‌شود.

همانطور که از هیستوگرام‌ها در شکل (۵-۴) مشخص است، امکان پیدا کردن مقدار آستانه مناسب برای تفکیک شکستگی‌ها از سایر پیکسل‌ها با روش آستانه‌گذاری کلی به دلیل وجود نوفه و جزئیات زیاد در تصویر امکان‌پذیر نیست.

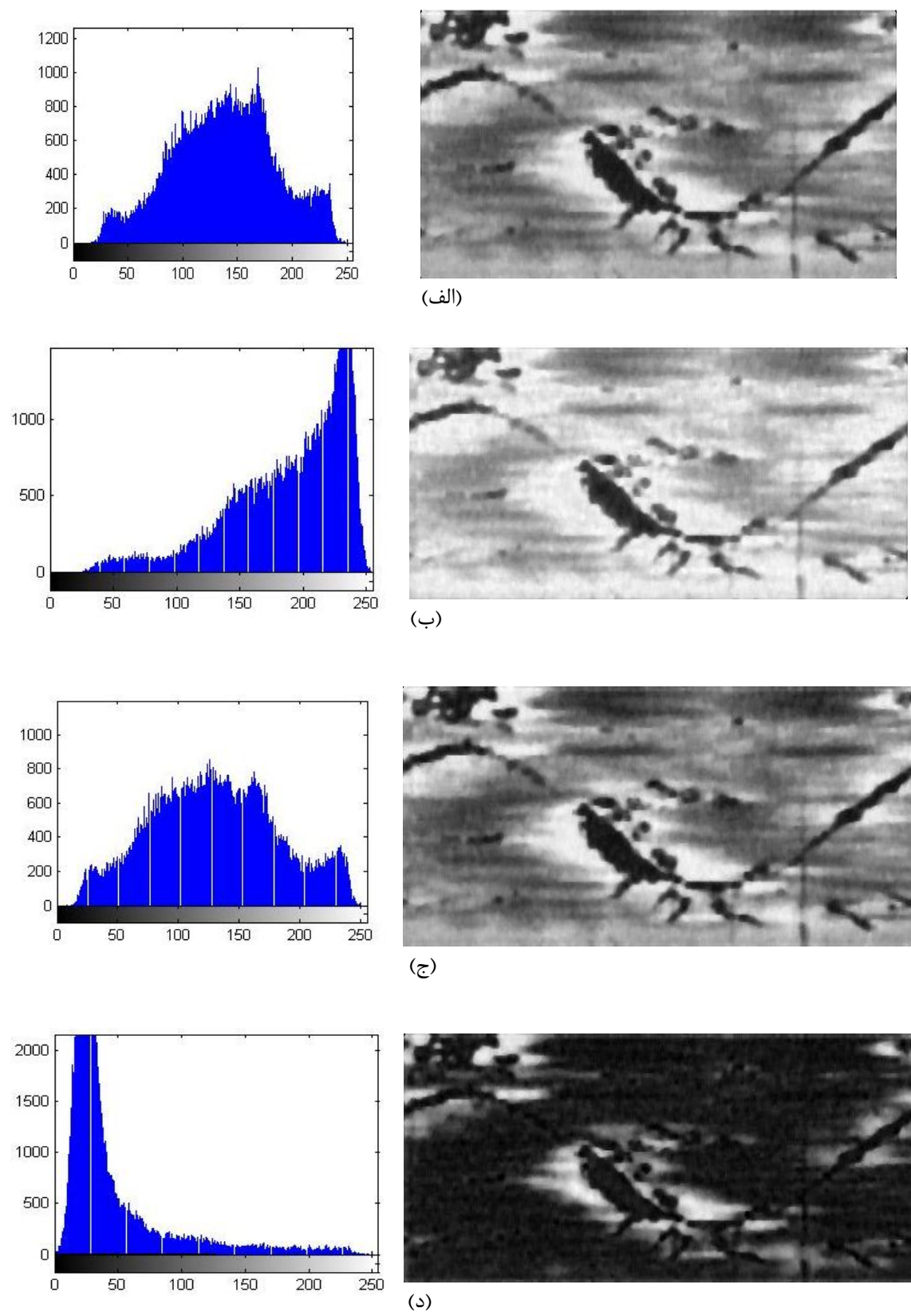




شکل ۴-۵ تصویر خاکستری و مؤلفه های آن به همراه هیستوگرام روشنایی آن ها(الف. تصویر اصلی، ب. مؤلفه قرمز، ج. مؤلفه سبز و د. مؤلفه آبی)

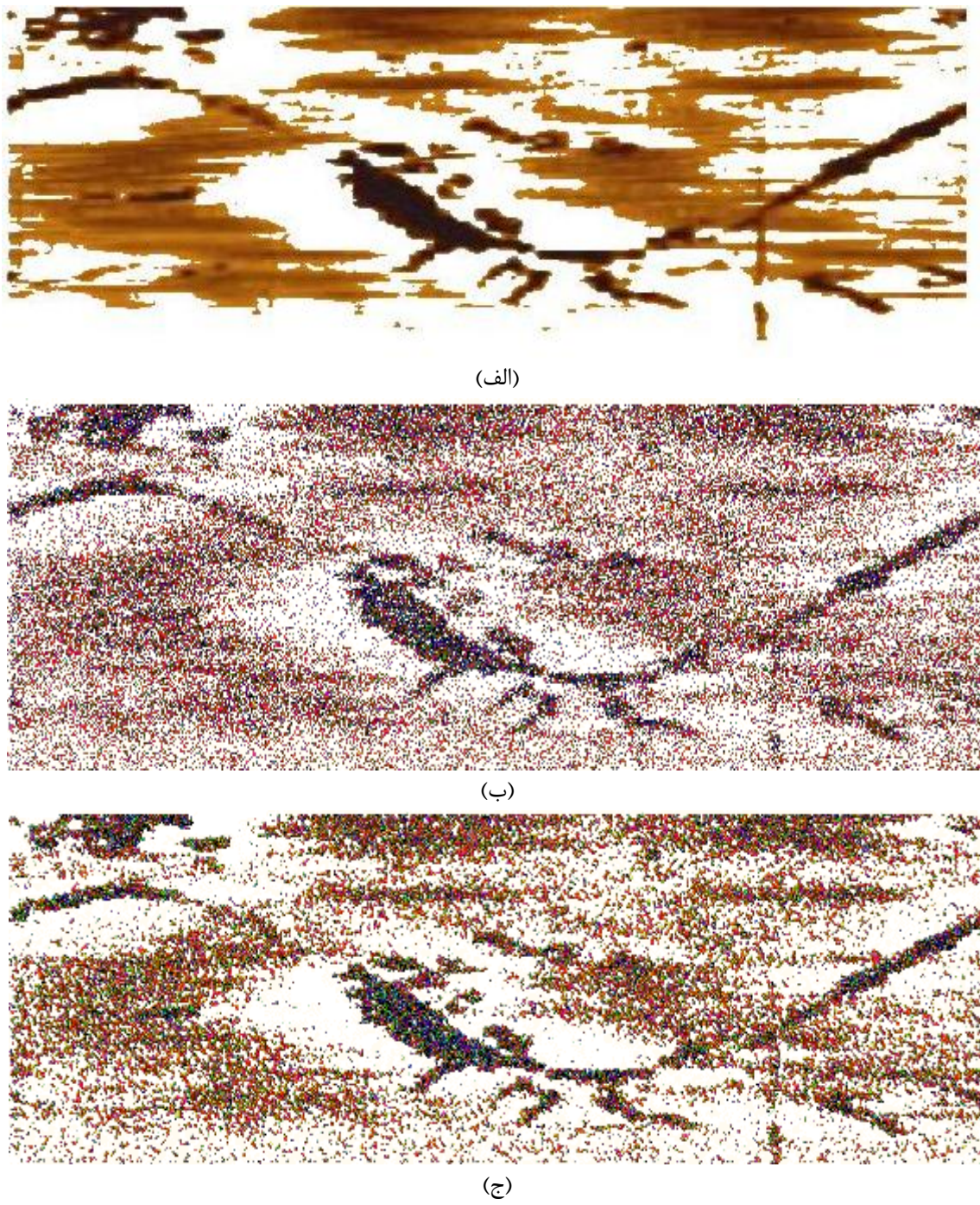
با استفاده از فیلتر میانه‌گیر، نوفه تصویر خاکستری اصلی و مؤلفه های آن را به منظور دست یافتن به هیستوگرام هایی بهتر برای یافتن آستانه، کاهش داده شد. شکل (۶-۴) نتایج حاصل را نشان می دهد.

همانطور که نتایج در شکل (۶-۴) نشان می دهند با کاهش نوفه با استفاده از فیلتر میانه‌گیر، هیستوگرام حاصل از تصویر دارای دره هایی مجزا برای یافتن مقدار آستانه مناسب برای بخش بندهی این تصاویر نیست.



شکل ۴-۶ تصویر خاکستری و مؤلفه های آن به همراه هیستوگرام روشنایی آن ها پس از کاهش نویه با فیلتر میانه گیر
(الف. تصویر اصلی، ب. مؤلفه قرمز، ج. مؤلفه سبز و د. مؤلفه آبی)

شکل (۷-۴) نتایج حاصل از بخش بندی به وسیله روش آستانه‌گذاری آتسو را برای تصویر بدون نوفه، تصویر با نوفه و تصویر فیلتر شده نشان می‌دهد. جدول (۴-۱) نتایج ارزیابی این روش را با پارامترهای مختلف نشان می‌دهد.



شکل ۷-۴ نتایج حاصل از بخش بندی به روش آستانه‌گذاری آتسو (الف. تصویر بدون نوفه، ب. تصویر با نوفه و ج. تصویر فیلتر شده)

فصل چهارم: الگوریتم های پیشنهادی برای شناسایی و ردیابی شکستگی ها

جدول ۴-۴ نتایج ارزیابی حالت های مختلف تصویر بخش بندی شده با استفاده از روش آستانه گذاری آتسو

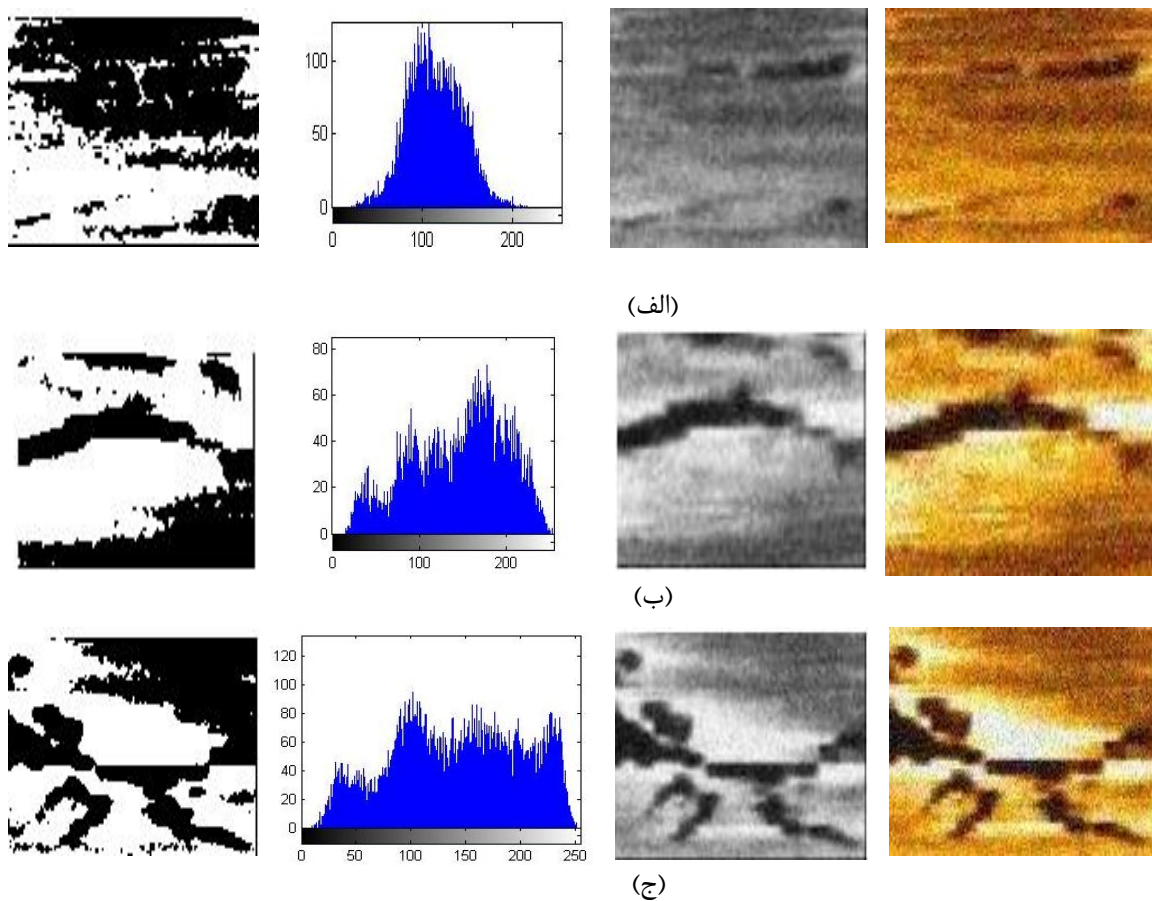
حالت تصویر	بدون نوفه	با نوفه	فیلتر شده
MSE	۱۱۸۰۰	۱۵۶۰۰	۱۳۷۰۰
PSNR	۷/۴	۶/۲	۶/۸
SSIM	.۶۵	.۴۵	.۴۷
Average Correction (A.C)			۷۸/۸
۷۰			۷۷

ب) بررسی هیستوگرام چاهنومودارهای خاکستری به منظور بخش بندی با روش های محلی

در ابتدا بخش های مختلفی از چاهنومودارهای تصویری با تفاوت در ساختار پیکسل های آنها انتخاب شده اند. به طور مثال از تصویر نمونه شکل (۴-۱) سه پنجره با حالت های مختلف بدون شکستگی و دو حالت حاوی شکستگی انتخاب شده اند. پس از به دست آوردن هیستوگرام هر یک از این پنجره ها به طور جداگانه، با استفاده از روش آتسو که از اطلاعات آماری واریانس برای یافتن بهترین مقدار آستانه بکار می رود، به بخش بندی این بخش ها از تصویر پرداخته شد. شکل (۴-۸) نتایج حاصل را نشان می دهد.

ابتدا تصویر رنگی به تصویر خاکستری تبدیل شده و پس از کاهش نوفه با استفاده از فیلتر میانه گیر، از روش آتسو برای یافتن مقادیر آستانه بهینه در این تصاویر برای بخش بندی استفاده شده است.

همانطور که نتایج حاصل نشان می دهند، با روش پنجره گذاری و استفاده از روش های محلی نمی توان به نتایج مطلوبی برای بخش بندی در این تصاویر دست یافت. در کنار شکستگی ها که به صورت تیره در تصویر مشاهده می شوند، پدیده ها و جزئیات تیره دیگر نیز آشکار می شوند. پس روش آستانه گذاری محلی نیز روشنی مناسب برای بخش بندی چاهنومودارهای تصویری به منظور جداسازی شکستگی ها نیست.



شکل ۸-۴ استفاده از روش محلی آتسو و پنجره گذاری به منظور بخش بندی تصویر با استفاده از مقدار آستانه به کمک هیستوگرام روشنایی

ب) استفاده از عملگرهای مورفولوژیکی برای بخش بندی چاهنmodارهای تصویری

در ابتدا تصویر رنگی چاهنmodار تصویری به یک تصویر خاکستری تبدیل می‌شود. سپس با استفاده از فیلتر میانه‌گیر نوشه این تصاویر کاهش می‌یابد. با استفاده از المان‌های ساختاری با ابعاد مختلف با استفاده از رابطه (۱-۱) به بخش بندی چاهنmodارها پرداخته شد.

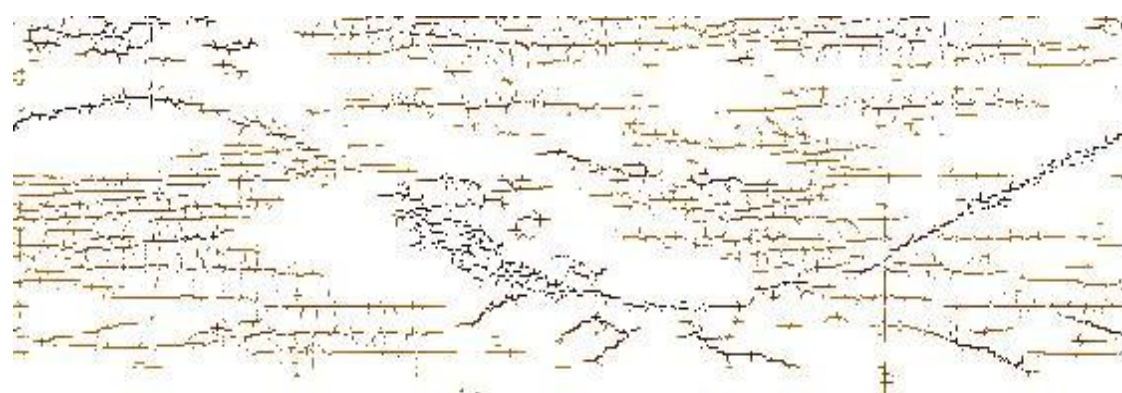
$$f_{out}(x, y) = f(x, y) - (O \circ C(f))(x, y) \quad (1-4)$$

همانطور که رابطه فوق نشان می‌دهد، ابتدا عملگر بستن بر روی تصویر خاکستری فیلتر شده اعمال می‌شود و سپس به دنبال آن عملگر بازکردن اعمال می‌شود. تصویر حاصل از تصویر اصلی کم می‌شود.

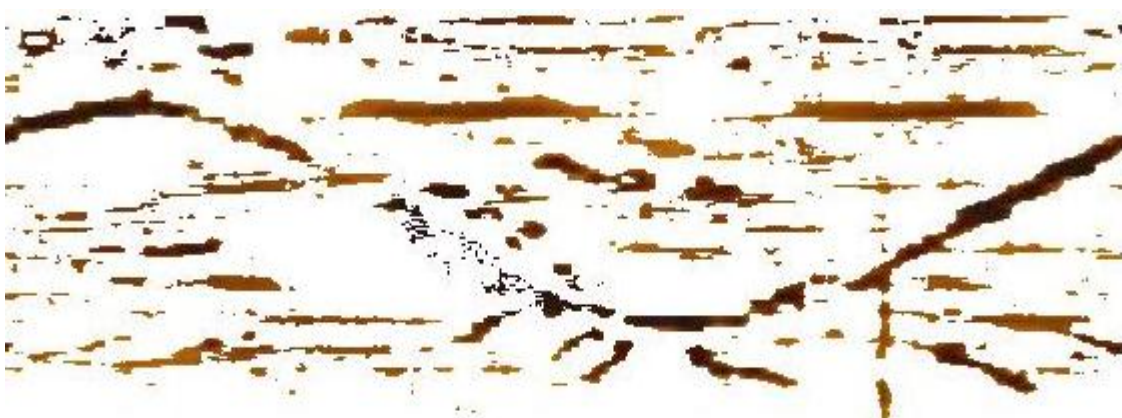
فصل چهارم: الگوریتم های میثادی برای شناسایی در ریاضی شکل ها

تصویر حاصل، تصویر بخش بندی شده است که شامل شکستگی ها و پدیده های مشابه آن است. پس از بخش بندی، تصویر خاکستری به دست آمده به تصویر رنگی تبدیل می شود.

شکل (۴-۹) نتایج حاصل از بخش بندی با المان های ساختاری مربعی با ابعاد متفاوت را نشان می دهد.



الف. المان ساختاری با ابعاد 2×2



ب. المان ساختاری با ابعاد 10×10



ج. المان ساختاری مستطیلی با ابعاد 30×30



د. المان ساختاری مستطیلی با ابعاد 60×60

شکل ۹-۴ نتایج حاصل از بخش بندی به وسیله عملگرهای مورفولوژی با المان ساختاری مستطیلی با ابعاد مختلف

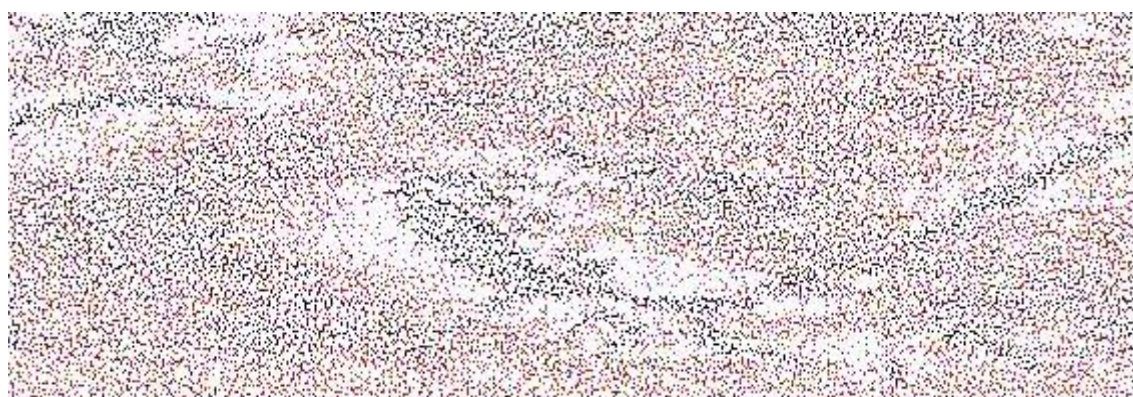
استفاده از عملگرهای مورفولوژی نسبت به روش های قبلی نتایج بهتری را نشان می دهد. ولی همانطور که در تصاویر حاصل مشهود است، با تغییر ابعاد المان ساختاری نتیجه حاصل تغییر می کند. به همین دلیل با کوچک گرفتن ابعاد المان جزئیاتی را که متعلق به شکستگی یا پدیده های مشابه آن نیستند، به مقدار زیاد در تصویر بخش بندی شده ظاهر می شوند. در صورت افزایش ابعاد تصویر شکستگی هایی که دارای ابعاد کوچکتری هستند، آشکار نمی شوند. بنابراین نمی توان با یک المان ساختاری با ابعاد مشخص و یکسان شکستگی های با ابعاد متغیر و متفاوت را به خوبی از تصویر اصلی جدا کرد.

بررسی ها همچنین نشان می دهد که با تغییر شکل المان ساختاری نتایج حاصل تغییر چندانی نمی کند و مشکلات بخش بندی که به آنها اشاره شد همچنان وجود خواهد داشت.

جدول (۴-۲) نتایج حاصل از بخش بندی با عملگرهای مورفولوژی را برای المان ساختاری با ابعاد مختلف به وسیله پارامترهای مختلف ارزیابی برای تصویر بدون نوفه را نشان می‌دهد.

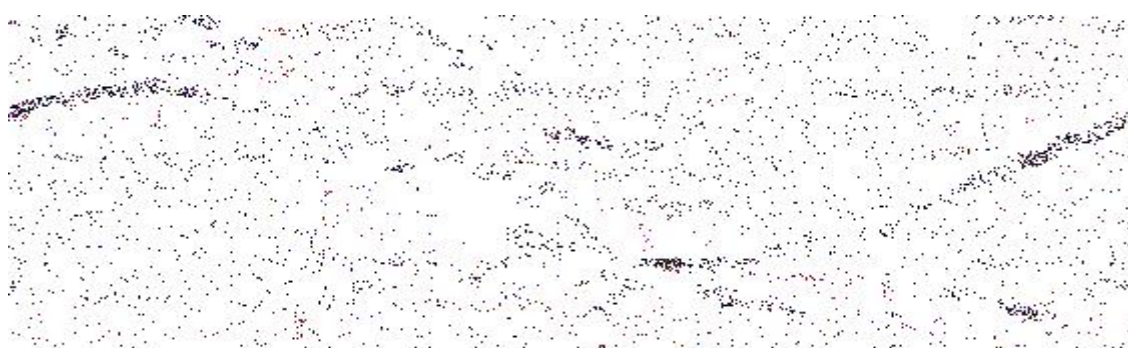
جدول ۴-۲ ارزیابی نتایج بخش بندی با عملگرهای مورفولوژی با المان ساختاری با ابعاد مختلف													
بعاد المان													
۱۰۰*۱۰۰	۷۰*۷۰	۶۰*۶۰	۵۰*۵۰	۴۰*۴۰	۳۰*۳۰	۲۰*۲۰	۱۵*۱۵	۱۰*۱۰	۸*۸	۴*۴	۲*۲	۲۸۴۳/۶	MSE
۱۷۳۷	۱۷۱۷/۳	۲۸۸۶/۶	۳۰۵۷	۳۸۰۲/۶	۴۰۷۸	۴۸۸۰/۵	۵۴۰۴	۵۴۲۱	۱۸۵۰	۱۷۳۷	۱۷۱۷/۳	۲۸۸۶/۶	۳۰۵۷
۱۱/۲۵	۱۰/۸	۱۰/۷۸	۱۱/۴	PSNR									
.۷۶	.۷۸	.۷۶	.۷۷	SSIM									
۵۹	۶۸	۷۴/۸	۷۵/۸	Average Correction (A.C)									
۶۴/۶	۷۶	۷۸/۸	۸۴/۸	۸۴/۴	۸۶/۴	۷۹	۷۷/۲	۷۷/۲					
.۸۸	.۹	.۹۱	.۹	.۸۵	.۸۳	.۷۸	.۷۶	.۷۲	.۷۲	.۷	.۶۸	.۶۷	
۱۳/۶	۱۴/۴۶	۱۵/۷	۱۵/۸	۱۳/۵	۱۳/۲۷	۱۲/۳۳	۱۲	۱۱/۲۵	۱۰/۸	۱۰/۷۸	۱۱/۴		
۱۵*۱۵	۱۰*۱۰	۸*۸	۴*۴	۲*۲	۲۸۴۳/۶	۳۰۵۷	۴۰۷۸	۴۸۸۰/۵	۵۴۰۴	۵۴۲۱	۱۸۵۰	۱۷۳۷	۱۷۱۷/۳

در تصاویر با نوفه، نتیجه استفاده از عملگرهای مورفولوژیکی به مراتب بدتر می‌شود. شکل (۴-۱۰) نتایج حاصل از بخش‌بندی در شرایط با نوفه به وسیله عملگرهای مورفولوژیکی را نشان می‌دهد. همانطور که تصاویر نیز نشان می‌دهند، نتایج نسبت به حالت بدون نوفه بسیار نامطلوب‌تر هستند.

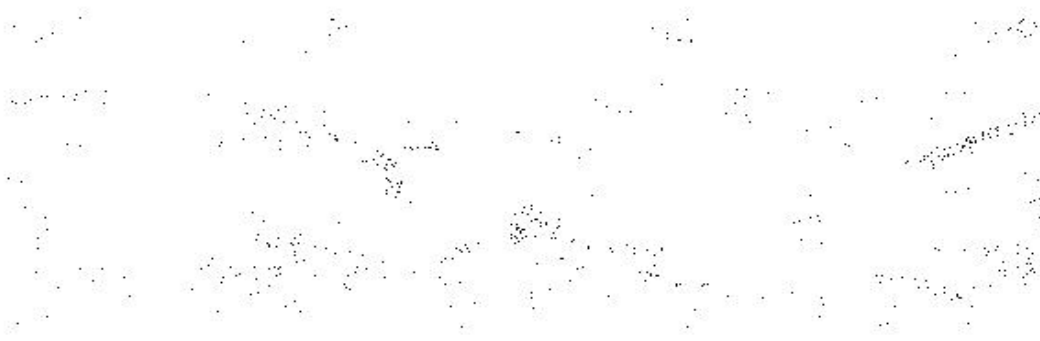


الف. المان ساختاری با ابعاد ۲*۲

فصل چهارم: الگوریتم های میثادی برای شناسایی دردیابی شکنکنی



ب. المان ساختاری با ابعاد 10×10



ج. المان ساختاری با ابعاد 30×30

شکل ۴-۴ نتایج حاصل از بخش‌بندی به وسیله عملگرهای مورفولوژی بر روی تصویر با نوفه

جدول (۳-۴) نتایج حاصل از بخش‌بندی با عملگرهای مورفولوژی را برای المان ساختاری با ابعاد مختلف، به وسیله پارامترهای مختلف ارزیابی برای تصویر با نوفه نشان می‌دهد.

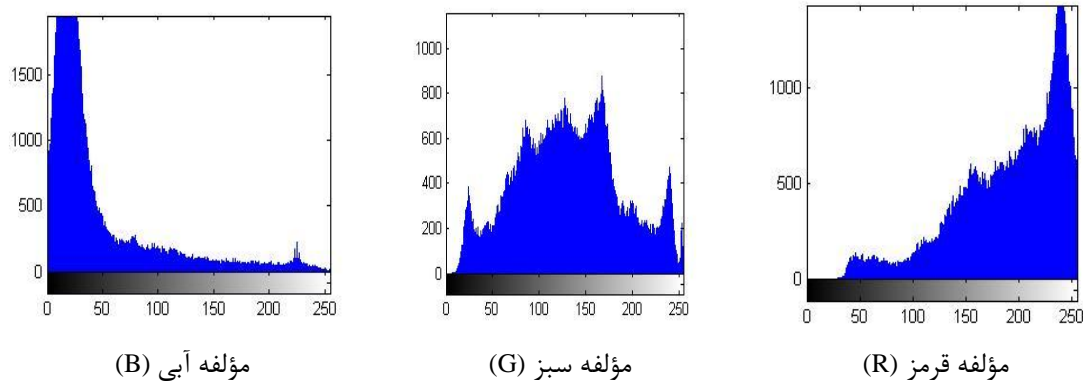
جدول ۴-۴ ارزیابی نتایج بخش‌بندی با عملگرهای مورفولوژی با المان ساختاری با ابعاد مختلف برای تصویر با نوفه

ابعاد المان	40×40	30×30	20×20	15×15	10×10	8×8	4×4	2×2	MSE
۳۹۳۰	۳۹۷۰	۴۰۸۰	۴۲۹۰	۴۷۹۰	۵۲۵۰	۷۷۲۰	۱۰۶۴۸		
۱۲/۱۸	۱۲/۱۴	۱۲	۱۱/۸	۱۱/۳۳	۱۰/۹۳	۹/۲۵	۷/۸۶		PSNR
.۸۳	.۸۱	.۷۴	.۶۶	.۵۵	.۵	.۴۴	.۴۳		SSIM
۵۰	۵۱	۵۲/۱۵	۵۳/۶۶	۵۴/۵	۵۵	۵۲/۶۶	۵۲/۸	Average Correction (A.C)	

۴-۱-۲-۴- الگوریتم های بخش بندی مبتنی بر رنگ (تصاویر رنگی)

تصاویر رنگی نسبت به تصاویر خاکستری می توانند حاوی اطلاعات بیشتری باشند. همانطور که توانایی سیستم بینایی انسان در تفسیر و دریافت اطلاعات از تصاویر رنگی بیشتر است، الگوریتم های پردازش تصویر مبتنی بر رنگ نیز می توانند در برخی از کاربردها، نتایج بهتری را نشان دهند. ولی پردازش تصاویر رنگی از طرفی نسبت به تصاویر خاکستری دارای بار محاسباتی و زمان بیشتری است.

بررسی بر روی هیستوگرام های روشنایی مؤلفه های قرمز، سبز و آبی چاهنودارهای تصویری نمونه نشان می دهد که توزیع روشنایی در آن ها با هم متفاوت است. بنابراین ویژگی رنگ که ترکیبی از این مؤلفه ها است می تواند به عنوان یک بردار سه بعدی دارای اطلاعات مفید و متفاوت تری نسبت به روشنایی در تصاویر خاکستری باشد. شکل (۱۱-۴) هیستوگرام روشنایی مؤلفه های مختلف تصویر نمونه بدون نویه (۱-۴) را نشان می دهد. این هیستوگرامها برای هر مؤلفه دارای چگالی توزیع متفاوتی هستند.



شکل ۱۱-۴ هیستوگرام مؤلفه های مختلف تصویر نمونه

از سه روش Fuzzy C-mean و شبکه عصبی SOM برای بخش بندی چاهنودارهای تصویری با استفاده از رنگ استفاده شد. این روش ها از تکنیک خوشه بندی برای دسته بندی بخش های مختلف تصویر با استفاده از معیار رنگ می پردازنند. هر کدام از این روش ها دارای مزایا و معایبی در

بخش‌بندی چاهنماودارهای تصویری هستند. در ادامه ابتدا به بررسی هر یک از این روش‌ها و نتایج آن‌ها پرداخته می‌شود. سپس در بخش ارزیابی، عملکرد روش‌های مختلف بخش‌بندی و نتایج آن‌ها مقایسه و بررسی می‌شود.

الف) الگوریتم بخش‌بندی با استفاده از C – means

برای بخش‌بندی چاهنماودارهای تصویری با استفاده از الگوریتم C – means هر پیکسل به عنوان یک بردار دارای سه مؤلفه رنگ در نظر گرفته می‌شود. با توجه به این‌که نتایج این الگوریتم به تعیین تعداد خوش‌های بستگی دارد، باید بهترین تعداد خوش‌های را تعیین کرد. بدین منظور چاهنماودارهای تصویری مختلف برای تعداد خوش‌های مختلف بخش‌بندی شده و سپس با معیارهای مختلف با تصویر مرجع بخش‌بندی شده مقایسه شدند. محدوده بهترین تعداد کلاس برای بخش‌بندی در این تصاویر تعیین گردید.

به منظور بررسی دقیق‌تر این الگوریتم، نتایج آن در دو حالت مختلف بخش‌بندی چاهنماودار بدون نوفه و با نوفه مورد ارزیابی قرار گرفته است.

شکل (۱۲-۴) نتایج بخش‌بندی تصویر نمونه را برای حالت بدون نوفه برای تعداد خوش‌های مختلف نشان می‌دهد. جدول (۴-۴) مقادیر عددی و شکل (۱۳-۴) نمودارهای پارامترهای ارزیابی را در برابر تعداد خوش‌های در مقایسه با تصویر بخش‌بندی شده مرجع نشان می‌دهند. نتایج حاصل با معیارهای مختلف مقایسه نشان می‌دهد که بهترین تعداد کلاس برای بخش‌بندی این تصاویر با روش – C mean، شش خوش‌ه است.

فصل چهارم: الگوریتم های میثادی برای شناسایی در ریاضی شنیدنکی ها



الف. نتیجه حاصل از خوشبندی دو کلاسه



ب. نتیجه حاصل از خوشبندی شش کلاسه



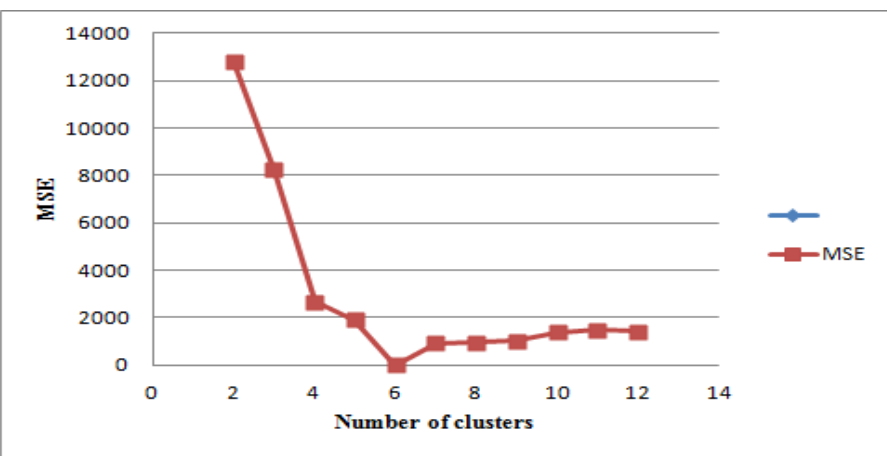
ج. نتیجه حاصل از خوشبندی ۱۲ کلاسه

شکل ۱۲-۴ نتایج بخش بندی با استفاده از $C - \text{means}$ برای تعداد خوشبندی های مختلف

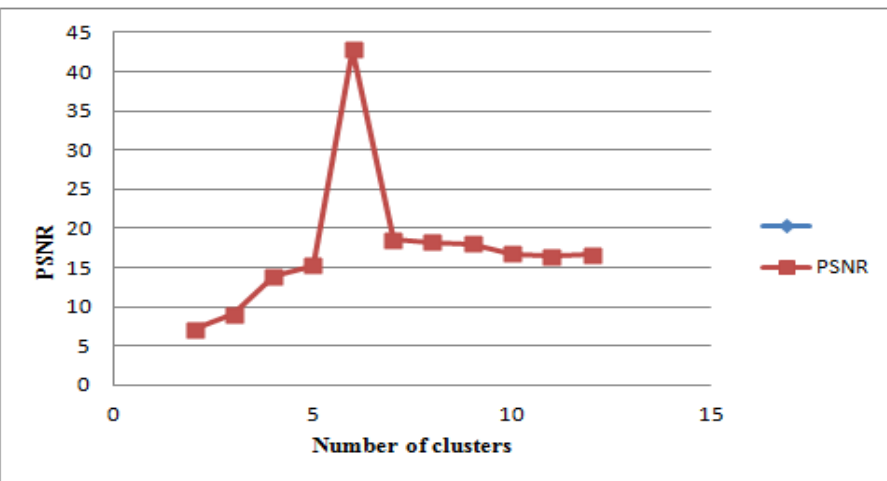
فصل چهارم: الگوریتم های میثادی برای شناسایی در رمایی شکنکنی

جدول ۴-۴ نتایج خوشبندی با means - C با معیارهای مختلف ارزیابی

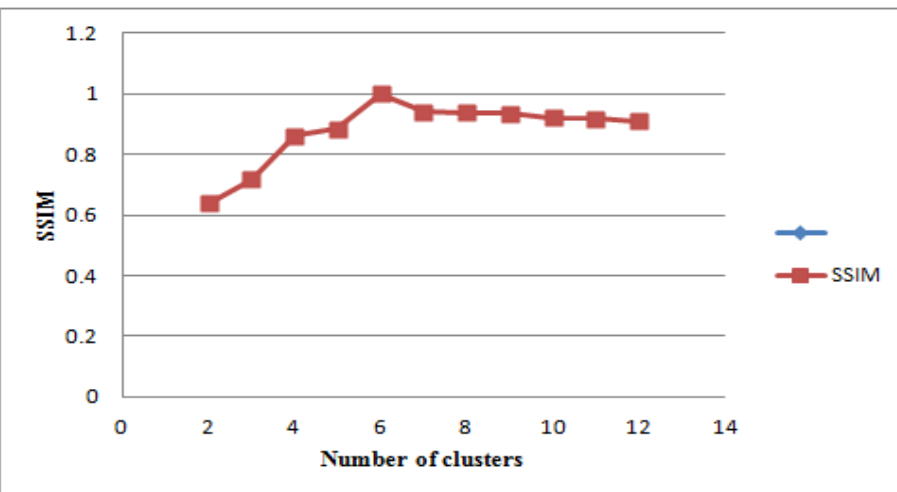
۱۲	۱۱	۱۰	۹	۸	۷	۶	۵	۴	۳	۲	تعداد خوش
۱۴۳۰	۱۴۸۰	۱۳۸۰	۱۰۳۰	۹۶۹	۹۱۵	۳/۴۶	۱۹۲۰	۲۶۶۰	۸۲۵۰	۱۲۸۲۳	MSE
۱۶/۶	۱۶/۴	۱۶/۷	۱۸	۱۸/۲۶	۱۸/۵	۴۲/۷۳	۱۵/۳	۱۳/۸۷	۸/۹۶	۷	PSNR
.۹	.۹۱۶	.۹۲	.۹۳۵	.۹۳۸	.۹۴	.۹۹	.۸۸	.۸۶	.۷۲	.۶۴	SSIM
۸۰	۷۹	۸۰/۵	۸۵	۸۶	۸۶/۸	۹۹/۹۹	۹۷/۲	۹۶	۸۶/۳	۷۶/۵	Average Correction



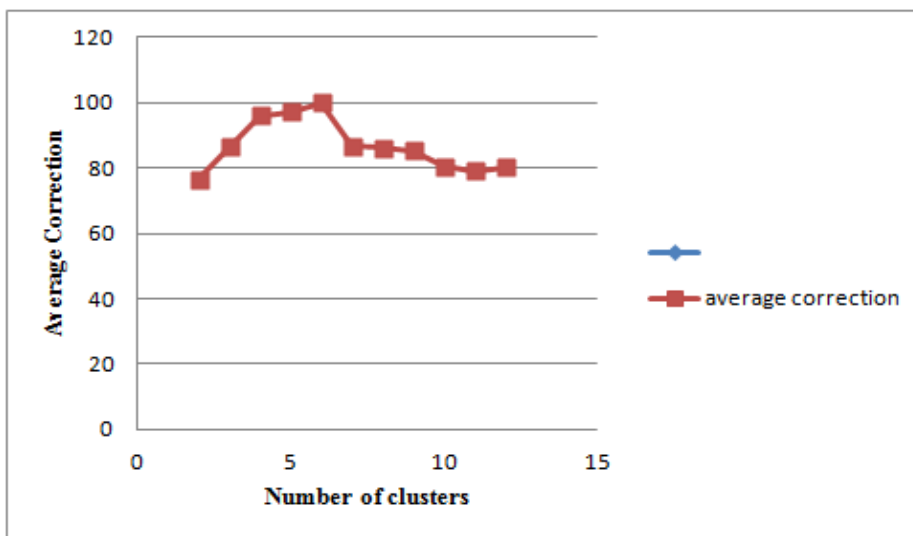
(الف)



(ب)



(ج)



(د)

شکل ۱۳-۴ نمودارهای ارزیابی روش C – means با معیارهای مختلف

الگوریتم C – means دو مشکل اساسی است. این الگوریتم به نوفه حساس بوده و در تصاویر دارای نوفه نتایج خوبی را نشان نمی‌دهد. نیز نتیجه خوشبندی به مقدار اولیه انتخابی برای خوشبدها وابسته است. درنتیجه ممکن است در چند بار اجرای این الگوریتم به نتایج یکسانی نرسید.

شکل (۱۴-۴) نتیجه حاصل از بخشبندی با این الگوریتم را برای تصویر نمونه با نوفه (شکل ۱-۴) برای تعداد بهینه خوش شش و جدول (۵-۴) نتایج ارزیابی را نشان می‌دهد.



شکل ۱۴-۴ نتیجه حاصل از بخش بندی با استفاده از C – means برای تصویر با نوفه

جدول ۱۵-۴ ارزیابی نتایج الگوریتم C – means برای تصویر با نوفه برای تعداد خوشه بهینه شش

Average Correction	SSIM	PSNR	MSE	معیار ارزیابی
۷۵	.۵	۸/۶۳	۸۹۲۰	مقدار ارزیابی

ب) الگوریتم های بخش بندی با استفاده از Fuzzy C – means

الگوریتم خوشه بندی فازی با استفاده از منطق تصمیم گیری فازی به خوشه بندی داده ها می پردازد. در این الگوریتم هر داده با درجه ای از عضویت به خوشه های مختلف تعلق دارد. در این الگوریتم نیز باید تعداد خوشه ها توسط ناظر تعیین شود.

در ابتدا برای تصویر بدون نوفه تعداد بهینه خوشه پیدا می شود. نتایج حاصل از تعداد خوشه های مختلف با معیارهای معرفی شده مورد ارزیابی قرار می گیرد. سپس برای تصویر با نوفه نیز عملکرد در بهترین تعداد خوشه تعیین شده بررسی می شود.

شکل (۱۵-۴) تصاویر حاصل از بخش بندی و شکل (۱۶-۴) نمودارهای معیارهای مختلف را بر روی تصویر نمونه بدون نوفه (۱-۴) نشان می دهد. در جدول (۶-۴) نتایج عددی معیارهای مختلف برای این الگوریتم نشان داده شده است.



الف. نتیجه حاصل از خوشبندی دو کلاسه



ب. نتیجه حاصل از خوشبندی شش کلاسه

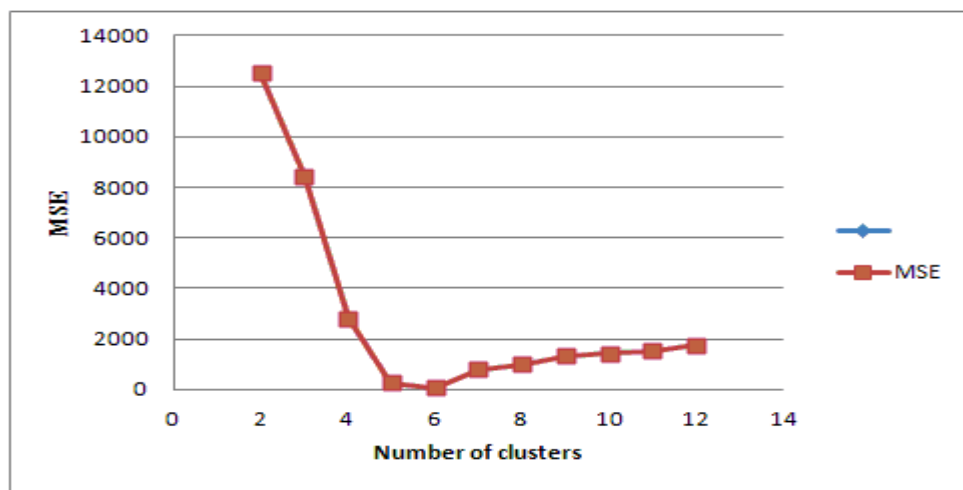


ج. نتیجه حاصل از خوشبندی ۱۲ کلاسه

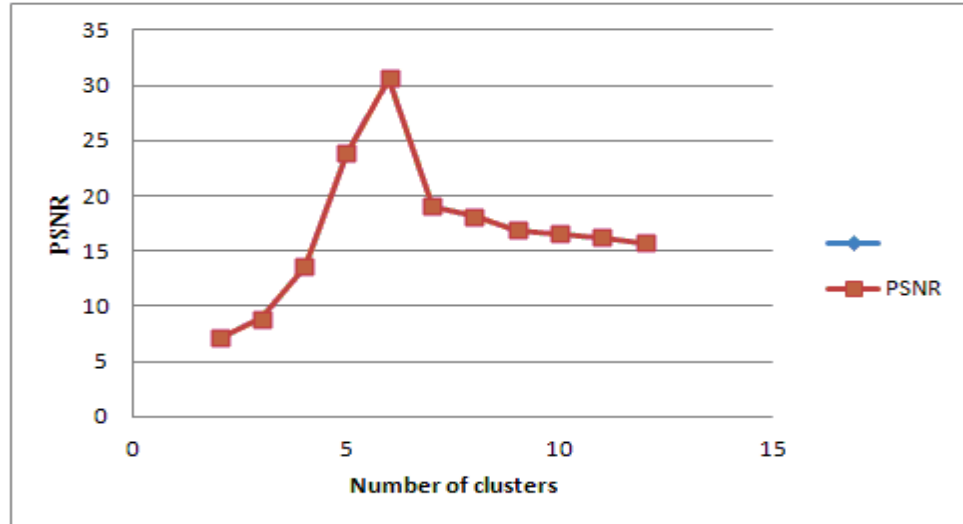
شکل ۱۵-۴ نتایج بخش‌بندی با استفاده از Fuzzy C-means برای تعداد خوشبندی‌های مختلف

جدول ۶-۴ نتایج خوشبندی با Fuzzy C – means با معیارهای مختلف ارزیابی

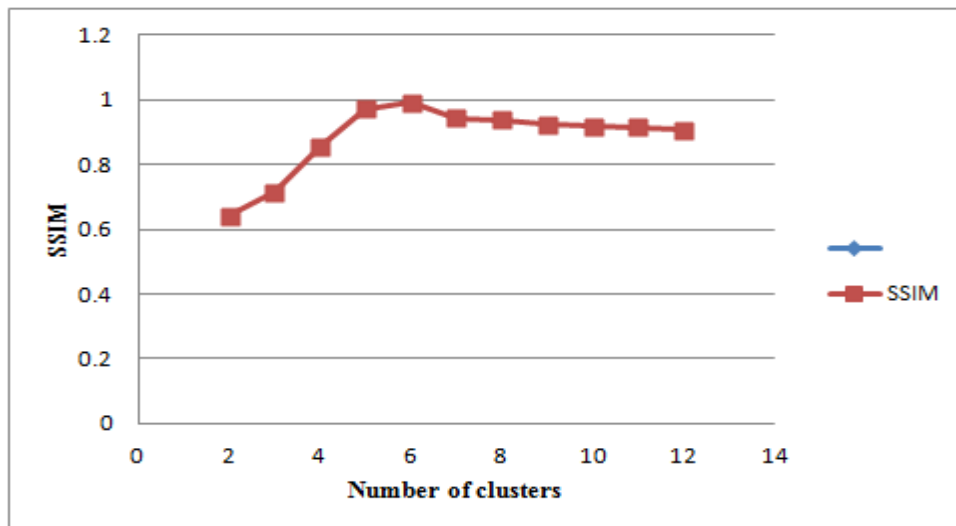
۱۲	۱۱	۱۰	۹	۸	۷	۶	۵	۴	۳	۲	تعداد خوشبندی
۱۷۵۰	۱۵۴۰	۱۴۴۰	۱۳۲۰	۹۹۹	۸۰۷	۵۶	۲۷۱۰	۲۸۳۰	۸۴۶۰	۱۲۵۰	MSE
۱۵/۷	۱۶/۲۵	۱۶/۵۵	۱۷	۱۸/۱۳	۱۹	۳۰/۵۸	۲۳	۱۳/۶	۸/۸۵	۷/۱۵	PSNR
.۹	.۹۱۴	.۹۱۹	.۹۲	.۹۳	.۹۴	.۹۹	.۹۷	.۸۵	.۷۱	.۶۴	SSIM
۷۶	۷۸/۵	۸۰	۸۱/۳۶	۸۵/۶۸	۸۸/۳۵	۹۹/۱۵	۹۹/۶۲	۹۵/۸	۸۵/۸۷	۷۷/۲۳	Average Correction



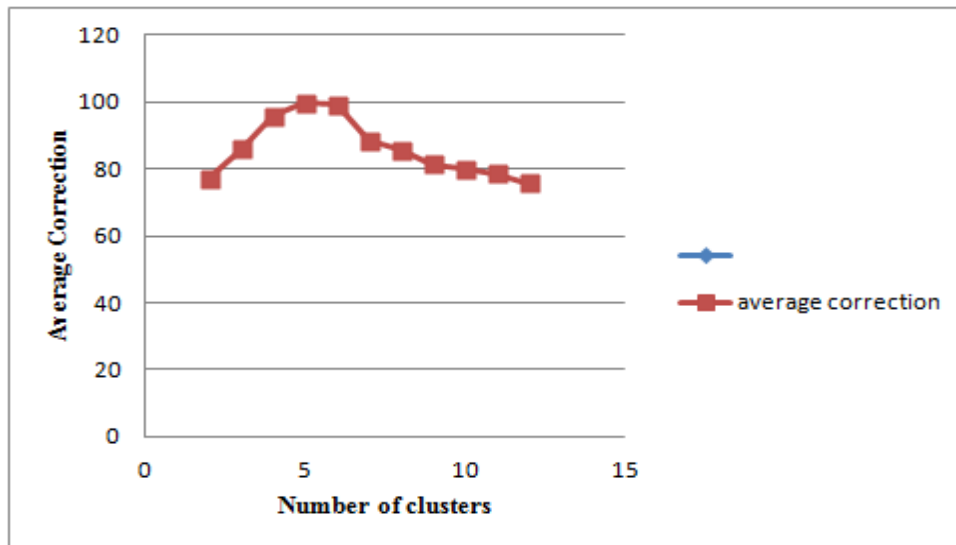
(الف)



(ب)



(ج)



(د)

شکل ۱۶-۴ نمودارهای ارزیابی روش Fuzzy C – mean با معیارهای مختلف

این الگوریتم روی تصویر با نویه نیز اعمال گردید و نتایج آن بررسی شد. نتایج نشان می‌دهد که این الگوریتم نیز نسبت به نویه برای بخش بندی حساس است. ولی نسبت به خوش بندی سخت نتایج آن تا حدودی بهتر است.

شکل (۱۷-۴) نتیجه حاصل از بخش بندی با این الگوریتم را برای تصویر نمونه با نویه شکل (۱-۴) برای تعداد بهینه خوش شش و جدول (۷-۴) نتایج ارزیابی را نشان می‌دهد.



شکل ۱۷-۴ نتیجه حاصل از بخشبندی با استفاده از Fuzzy C – means برای تصویر با نوفه

جدول ۷-۴ ارزیابی نتایج الگوریتم Fuzzy C – means برای تصویر با نوفه برای تعداد خوشه بهینه شش

Average Correction	SSIM	PSNR	MSE	معیار ارزیابی
۸۴	.۶۵	۱۲/۵	۳۶۸۰	مقدار ارزیابی

ج) الگوریتم های بخش بندی با استفاده استفاده از شبکه عصبی خودسازمانده (SOM)

شبکه عصبی خودسازمانده با استفاده از الگوریتم های بدون ناظر رقابتی به خوشبندی داده های ورودی می پردازد. بردارهای ورودی در این شبکه مؤلفه های رنگ هر پیکسل هستند. از این شبکه برای بخشبندی چاهنما دارهای تصویری برای تعداد خوشه های مختلف استفاده شد و بهترین تعداد خوشه تعیین گردیده است. عملکرد شبکه با معیارهای ارزیابی که در بخش های قبل برای سایر روش ها نیز بیان شدند، برای تصاویر بدون نوفه و با نوفه مورد ارزیابی قرار گرفتند.

شکل (۱۸-۴) تصاویر حاصل از بخشبندی و شکل (۱۹-۴) نمودارهای معیارهای مختلف را بر روی تصویر نمونه (۱-۴) نشان می دهد. در جدول (۸-۴) نتایج عددی معیارهای مختلف برای این الگوریتم نشان داده شده است.



الف. نتیجه حاصل از خوشه‌بندی دو کلاسه



ب. نتیجه حاصل از خوشه‌بندی شش کلاسه



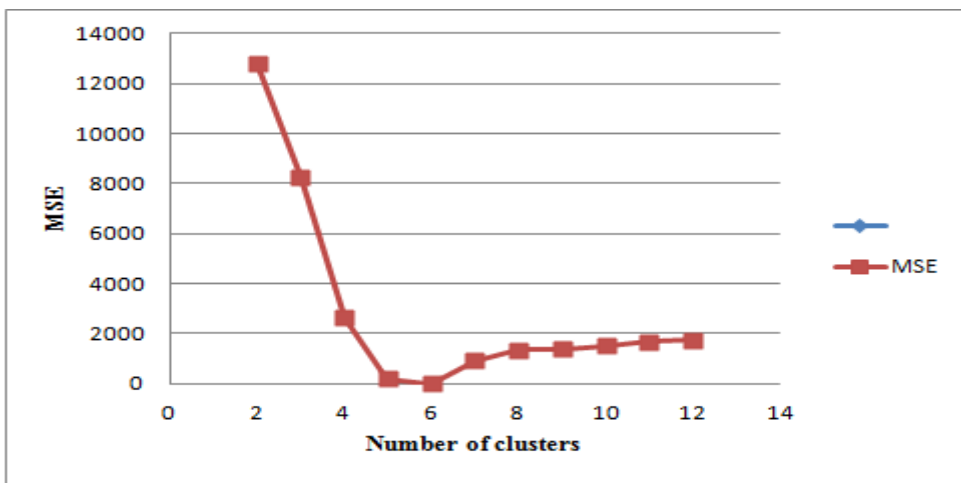
ج. نتیجه حاصل از خوشه‌بندی ۱۲ کلاسه

شکل ۱۸-۴ نتایج بخش‌بندی با استفاده از SOM برای تعداد خوشه‌های مختلف

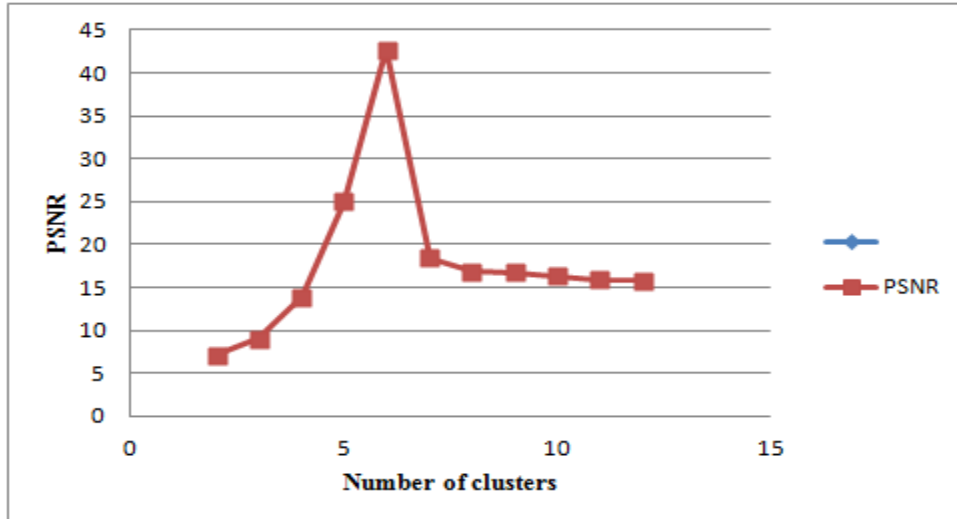
فصل چهارم: الگوریتم های میثادی برای شناسایی در رمایی شکنکنی

جدول ۴-۸ نتایج خوشبندی با SOM با معیارهای مختلف ارزیابی

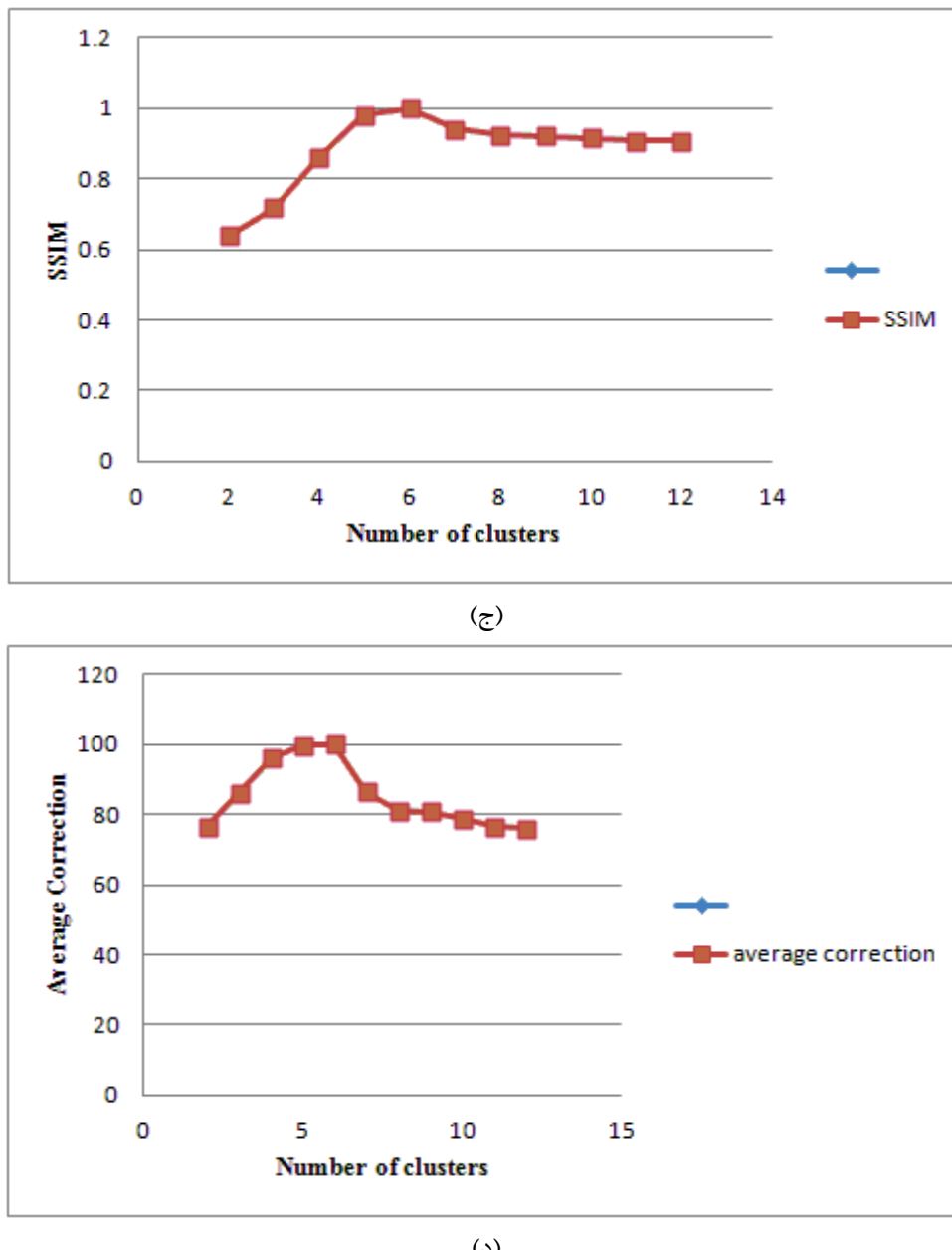
تعداد خوشبندی	۱۲	۱۱	۱۰	۹	۸	۷	۶	۵	۴	۳	۲	MSE
PSNR	۱۵/۷	۱۵/۸۵	۱۶/۳۳	۱۶/۷۶	۱۶/۸	۱۸/۴	۴۲	۲۵	۱۴	۹	۷	
SSIM	.۹۰۶	.۹۰۷	.۹۱۵	.۹۲۱	.۹۲۲	.۹۴	.۹۹	.۹۷۶	.۸۶	.۷۱	.۶۳	
Average Correction	۷۶	۷۶/۵	۷۸/۷۵	۸۰/۶	۸۰/۹	۸۶/۵۴	۹۹/۸۵	۹۹/۷	۹۶/۱	۸۶/۲۵	۷۶/۶	(A.C)



(الف)



(ب)



شکل ۱۹-۴ نمودارهای ارزیابی روش SOM با معیارهای مختلف

برای این الگوریتم نیز مانند دو روش قبلی تعداد خوش بهینه برای بخش بندی چاهمودارهای تصویری شش خوش است. این روش در تصاویر با نوفه نسبت به روش‌های قبلی عملکرد بهتری را از خود نشان می‌دهد. شکل (۲۰-۴) تصویر حاصل و جدول (۹-۴) مقادیر پارامترهای ارزیابی بخش بندی تصویر با نوفه نمونه شکل (۱-۴) را نشان می‌دهند.



شکل ۲۰-۴ نتیجه حاصل از بخش‌بندی با استفاده از SOM برای تصویر با نویه

جدول ۹-۴ ارزیابی نتایج الگوریتم SOM برای تصویر با نویه برای تعداد خوش بھینه شش

Average Correction	SSIM	PSNR	MSE	معیار ارزیابی
۹۴/۵	.۷۸	۱۴/۴۵	۲۳۲۰	مقدار ارزیابی

۳-۱-۲-۴ مقایسه روش‌های بخش‌بندی

روش‌های بخش‌بندی بررسی شده در این تحقیق، برخی از روش‌های موجود در حوزه پردازش تصویر هستند. با توجه به نوع کاربرد، هر یک از روش‌های مختلف بخش‌بندی دارای مزایا و معایب و عملکرد متفاوتی خواهند بود. بنابراین در هر نوع از تصاویر و کاربردی مشخص، باید بهینه‌ترین روش بررسی و انتخاب شود. در این بخش ابتدا به بررسی و مقایسه کیفی و کمی روش‌های معرفی شده برای بخش‌بندی چانمودارهای تصویری به منظور شناسایی شکستگی‌ها پرداخته می‌شود. سپس بهینه‌ترین روش معرفی و برای انجام سایر مراحل تحقیق از نتایج آن استفاده خواهد شد.

روش آشکارسازی لبه Canny که مبتنی بر مشتقات تصویر می باشد، همانطور که نتایج آن در بخش - های قبل مشاهد شد به دلیل وجود تغییرات زیاد در سطوح روشنایی، تغییرات ناگهانی روشنایی و وجود نویفه نتایج بسیار نامطلوب و غیرقابل قبولی را نشان می دهد.

در روش آستانه گذاری نیز به دلیل عدم وجود دره های مجزا و مشخص به راحتی نمی توان مقدار آستانه مناسب را برای جداسازی پدیده های شکستگی و پدیده های مشابه آن از سایر پیکسل های تصویر یافت. نتایج نشان می دهد که روش های محلی نیز چندان موفق عمل نمی کنند. وجود نویفه در این تصاویر پیچیدگی تعیین مقدار آستانه مناسب برای بخش بندی این تصاویر را بیشتر می کند.

روش مورفولوژی با توجه به ابعاد مختلف المان ساختاری، نتایج متفاوتی را از خود نشان می دهد. با انتخاب کوچک المان ساختاری، جزئیات زیاد و ریز در تصویر به صورت نامطلوبی آشکار می شوند و با انتخاب ابعاد بزرگ آن، شکستگی هایی با ضخامت کوچک حذف شده و آشکار نمی شوند. بنابراین امکان این که بدون دخالت کاربر و به صورت هوشمند، بتوان شکستگی های با ابعاد مختلف را آشکار کرد، وجود ندارد. عملکرد این الگوریتم در تصاویر با نویفه به مراتب نامطلوب تر و ضعیفتر خواهد بود.

روش های مبتنی بر رنگ معرفی شده، نسبت به روش های فوق که مبتنی بر روشنایی در تصویر هستند. اگرچه بار محاسباتی بیشتری را دارند ولی به دلیل بهره گیری از عنصر رنگ به عنوان ویژگی قوی تر، نتایج به مراتب مطلوب تری را از خود نشان دادند. البته این روش ها نیز خود دارای مزایا و معایبی بودند که در بخش های قبل با بررسی نتایج تصاویر نمونه و مقادیر ارزیابی می توان به طور دقیق تر عملکرد آن ها را مشاهده کرد.

روش های SOM با بهره گیری از روش خوش بندی، تصویر ورودی Fuzzy C – mean و C – means را به تعداد خوش ه مشخص تقسیم می کنند. برای تصاویر بدون نویفه نتایج این روش ها تقریباً یکسان خواهد بود. در تصاویر با نویفه روش شبکه عصبی خودسازمانده نتایج بسیار بهتری را از خود نشان می -

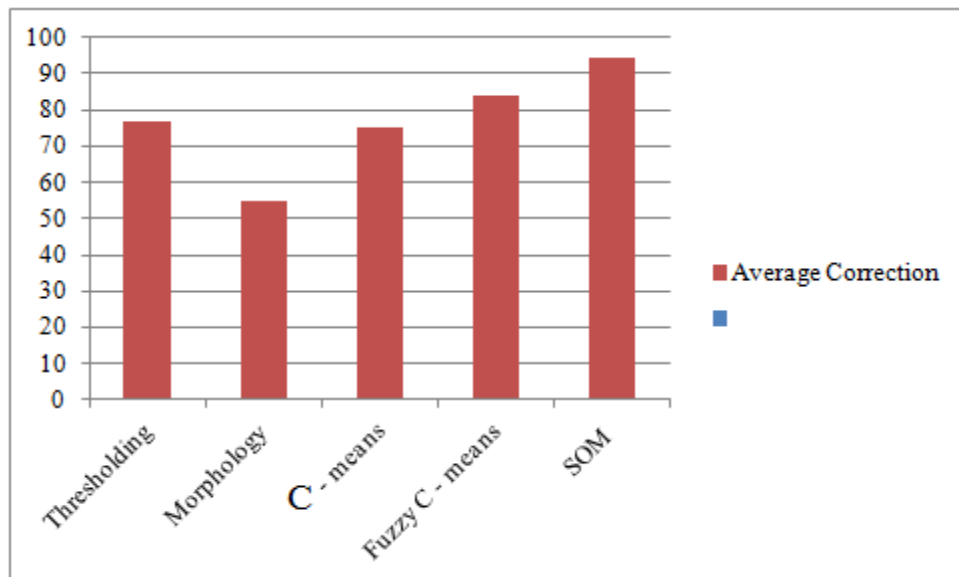
دهد و این روش نسبت به نوافه حساسیت کمتری از خود نشان می دهد. همچنین این روش با استفاده از الگوریتم یادگیری رقابتی نسبت به دو روش دیگر سرعت بیشتری دارد.

در زیر به منظور بررسی دقیق‌تر و کمی نتایج از نمودار برای مقایسه نتایج روش‌های مختلف برای انتخاب بهینه‌ترین جواب هر روش بر روی تصویر نمونه استفاده می‌شود. از بین پارامترهای ارزیابی معرفی شده، مقدار Average Correction نسبت به سایر پارامترها به تفسیر ذهنی انسان و نکات بیان شده در فصل سوم برای مقایسه تصاویر حاصل از بخش‌بندی با تصویر مرجع مناسب‌تر است. بنابراین در زیر از این معیار ارزیابی برای مقایسه روش‌ها به صورت کمی استفاده می‌شود.

جدول (۴-۱۰) نتایج ارزیابی روش‌های مختلف را برای تصویر نمونه شکل (۱-۴) برای تصویر با نوافه نشان می‌دهد.

جدول ۱۰-۴ مقایسه عملکرد روش‌های بخش‌بندی چاهنموراهای تصویری					
SOM	Fuzzy C - means	C - means	مورفولوژی	آستانه‌گذاری	روش بخش بندی
۹۴/۵	۸۴	۷۵	۵۵	۷۷	Average Correction

شکل (۲۱-۴) نمودار ارزیابی و شکل (۲۲-۴) تصاویر حاصل از روش‌های بخش‌بندی را برای چاه-نمودار نمونه در حالت با نوافه نشان می‌دهد.



شکل ۲۱-۴ نمودار مقایسه عملکرد روش های بخش بندی



الف. روش آستانه گذاری



ب. روش مورفولوژی



ج. روش C - means



د. روش Fuzzy C - means



س. روش SOM

شکل ۲۲-۴ تصاویر بخش‌بندی با روش‌های مختلف

۴-۲-۲- جداسازی نقاط شکستگی

پس از بخش‌بندی چاهن‌مودارهای تصویری با روش بهینه انتخاب شده، برای ردیابی مسیر دقیق شکستگی‌ها باید نقاطی را که مسیر شکستگی‌ها را تعیین می‌کنند، از تصویر بخش‌بندی شده جدا شوند.

برای رسیدن به نقاط شکستگی فرآیندهای زیر بر روی تصویر بخش‌بندی شده انجام می‌گیرد:

الف) باینری کردن تصویر بخش‌بندی شده

ب) جداسازی تداخل پدیده‌ها با هم و حذف جزئیات ریز و نوافه باقیمانده در تصویر بخش‌بندی شده باینری

ج) حذف اجزای افقی و عمودی

د) جداسازی نقاطی از اجزا باقیمانده به عنوان نمایندگی نقاط مسیر شکستگی

در ادامه به طور جزئی‌تر به بیان هر یک از مراحل فوق پرداخته می‌شود.

الف) باینری کردن تصویر بخش‌بندی شده

برای استفاده از عملگرهای مورفو‌لوزی در گام‌های بعدی، تصویر بخش‌بندی شده رنگی مرحله قبل به یک تصویر باینری با استفاده از روش آستانه‌گذاری آتسو تبدیل می‌شود. سپس تصویر باینری معکوس می‌شود.

شکل (۴-۲-۳) تصویر بخش‌بندی شده رنگی و تصویر باینری به دست آمده را نشان می‌دهد.



(الف)



(ب)

شکل ۲۳-۴ تصویر باینری چاهنمودار بخش‌بندی شده

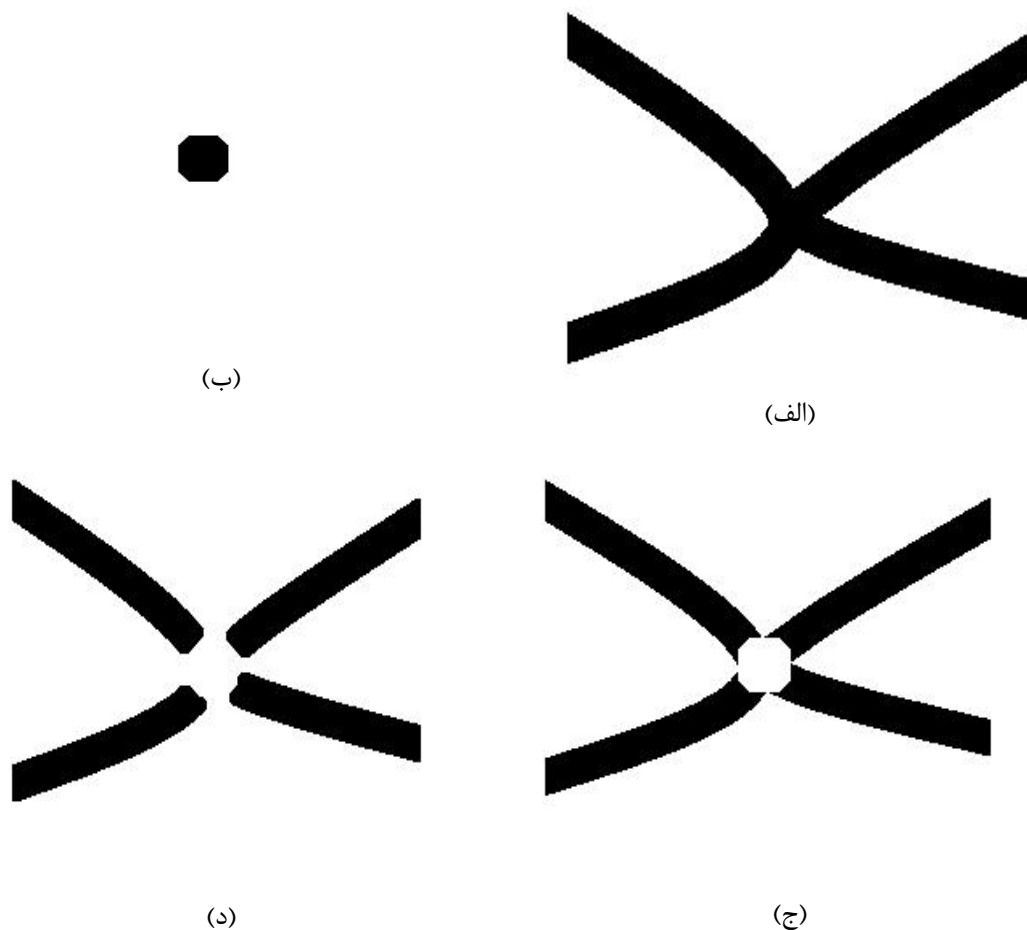
ب) جداسازی تداخل پدیده‌ها با هم و حذف جزئیات ریز و نوافه باقیمانده در تصویر بخش بندی شده باینری

در چاهنمودارهای تصویری ممکن است برخی پدیده‌ها با هم تداخل داشته باشند. برای جداسازی این پدیده‌ها از همدیگر، از عملگر مورفولوژی باز کردن استفاده شده است. با استفاده از رابطه زیر می‌توان تداخل پدیده‌ها را از هم جدا کرد.

$$f_{out}(x, y) = f(x, y) - (f \circ SE)(x, y) \quad (2-4)$$

با استفاده از عملگر باز کردن چون در محل‌های تداخل معمولاً ضخامت بیشتر است، این بخش‌ها ابتدا از تصویر جدا می‌شوند و سپس با تفاصل از تصویر باینری ورودی، تصویر باقیمانده تصویری است که

در آن تداخلها حذف شده است. برای آن که جداسدگی پدیده ها از هم برجسته تر شود می توان با یک المان ساختاری کوچکتر عمل باز کردن را بر روی تصویر مرحله قبل دوباره اعمال کرد. شکل (۲۴-۴) عملکرد این رابطه را بر روی دو پدیده متداخل برای جداسازی از هم نشان می دهد.



شکل ۲۴-۴ جداسازی پدیده های متداخل (الف. تصویر اصلی، ب. تصویر حاصل از باز کردن، ج. تصویر حاصل از جداسازی و د. تصویر جداسازی بعد از اعمال مجدد عملگر باز کردن)

در کنار حذف تداخلها با اعمال عملگر باز کردن پدیده های ریز موجود در تصویر که معمولاً ناشی از نوافه هستند نیز حذف می شوند.

شکل (۲۵-۴) نتیجه استفاده از عملگر بازکردن که منجر به حذف جزئیات ریز و نوافه و تداخل در تصویر مرحله قبل شده است را نشان می دهد.

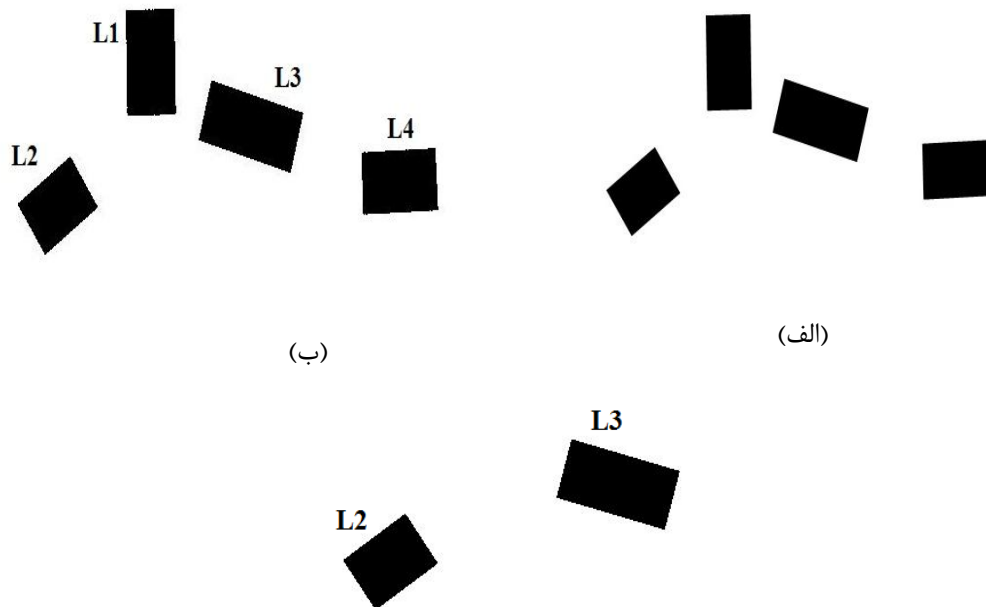


شکل ۲۵-۴ تصویر حاصل از حذف نوافه و تداخل

ج) حذف ردپاهای غیر شکستگی

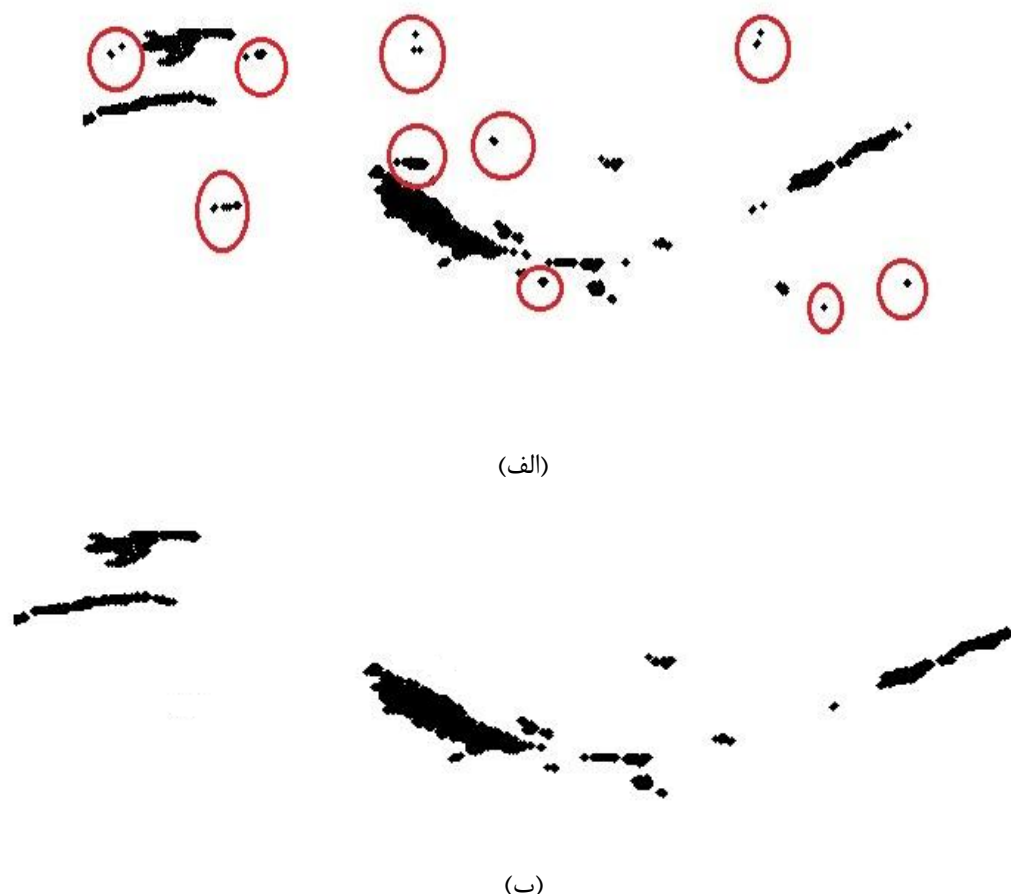
برخی از ردپاهای آشکارشده در تصویر مرحله قبل، متعلق به پدیده هایی مانند شکستگی های مصنوعی که معمولاً به صورت عمودی هستند، می باشند. نیز لایه بندی ها که دارای شیب افقی هستند. این ردپاهای می توان با استفاده از شیب و موقعیت وضعی آنها در تصویر از سایر اجزا که متعلق به شکستگی های طبیعی هستند، جدا نمود. برای جداسازی این پدیده ها و حذف آنها، ابتدا در تصویر اجزای موجود بر چسب گذاری می شوند و سپس شیب آنها در تصویر محاسبه می شود. با انتخاب دو مقدار آستانه شیب افقی و شیب عمودی می توان این پدیده ها را که در خارج از محدوده بین این دو مقدار آستانه هستند، حذف نمود.

شکل (۲۶-۴) مراحل بیان شده فوق را به صورت تصویری نشان می دهد. همانطور که این شکل نشان می دهد، اجزای موجود در تصویر ورودی که چهارتا هستند، بر چسب گذاری شده اند. سپس زاویه آنها نسبت به محور افقی اندازه گیری شده است و در تصویر حاصل اجزای افقی و عمودی حذف شده اند.



شکل ۲۶-۴ مراحل جداسازی ردپاهای افقی و عمودی

شکل (۲۷-۴) نتیجه حاصل از این بخش از الگوریتم را بر روی تصویر نمونه تولید شده در مرحله قبل الگوریتم را نشان می دهد.



شکل ۲۷-۴ نتایج حاصل از حذف ردپاهای غیر شکستگی (الف. تصویر مرحله قبل پردازش که ردپاهای حذف شده در تصویر به دست آمده با دایره جدا شده‌اند، ب. تصویر باقیمانده از ردپاهای شکستگی)
د) جداسازی نقاطی از اجزا باقیمانده به عنوان نمایندگی نقاط مسیر شکستگی‌ها

به منظور کاهش پردازش در گام ردیابی مسیر شکستگی‌ها، نقاطی از پیکسل‌های ردپاهای شکستگی-ها به عنوان نقاط نمونه انتخاب می‌شوند.

با استفاده پی در پی عملگر اروشن برای جداسازی این نقاط استفاده می‌شود. بر روی تصویر مرحله قبل فرآیند اروشن بر روی هر جز از تصویر تا هنگامی که فقط یک پیکسل از نظر ضخامت باقی بماند، اعمال می‌گردد.

شکل (۲۸-۴) نتیجه مسیر آشکارشده شکستگی به‌وسیله نقاط نمونه را نشان می‌دهد.



شکل ۴-۲۸ مسیر شکستگی جداشده با استفاده از نقاط نمونه

۴-۳-۲-۴- دسته بندی نقاط جدا شده برای هر یک از شکستگی ها

بعد از جداسازی نقاط نمونه که مسیرهای شکستگی ها هستند، باید نقاط مربوط به هر شکستگی از نقاط سایر شکستگی ها جدا شوند. به عبارتی این نقاط نمونه دسته بندی شوند. با توجه به این که برای دسته بندی نقاط هر شکستگی، ویژگی های عمومی و شناخته شده ای وجود ندارد، بررسی ها نشان داد که با استفاده از اطلاعات محلی مانند همسایگی، مکان نقاط نسبت به هم و زاویه ای که نقاط مختلف نسبت به هم دارند، می توان هر یک از مسیرهای شکستگی را از بقیه تفکیک نمود. در ادامه به بیان هر یک از مراحل و نکات مورد استفاده در این بخش به طور جزئی تر پرداخته می شود.

- انتخاب نقطه شروع برای یک شکستگی
- انتخاب نقاط بعدی شکستگی

الف) انتخاب نقطه شروع

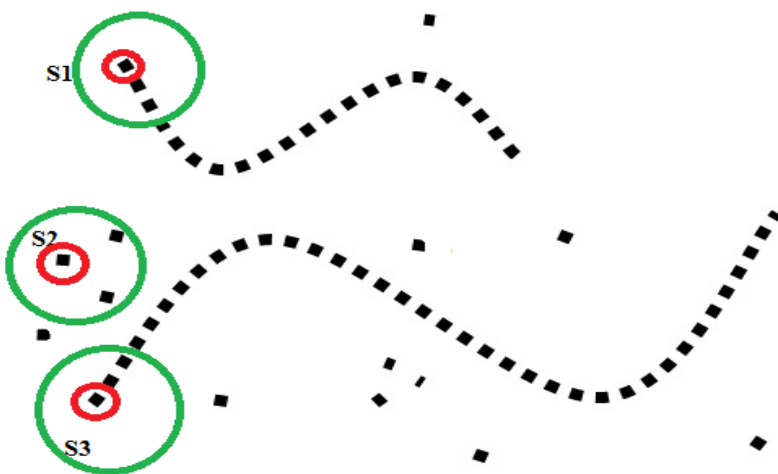
برای دسته بندی نقاط یک شکستگی و جداسازی آنها از سایر نقاط، در ابتدا باید نقطه شروع یک شکستگی انتخاب شود. برای انتخاب نقاط شروع می توان از دو روش استفاده نمود:

- روش دستی: در این روش با دخالت کاربر نقطه شروع برای یک شکستگی با مشاهده و بررسی چاهنما در اولیه و تصویری که حاوی نقاط نمونه شکستگی است، انتخاب می شود. اگرچه این روش

نیاز به دخالت یک کاربر دارد ولی به دلیل دخالت دانش کاربر، انتخاب نقاط با دقت و درجه اطمینان بیشتری صورت می‌گیرد.

روش هوشمند (بدون دخالت کاربر): در این روش از سمت چپ‌ترین ستون مربوط به تصویر نقاط نمونه، نقاطی که در همسایگی آن‌ها و در یک راستای تقریباً یکسان، تعدادی نقاط نمونه شکستگی وجود داشته باشد، به عنوان نقاط شروع انتخاب می‌شوند. در این روش باید راستاهای نزدیک به عمود و افقی در نظر گرفته نشود. در صورتی که در ستون سمت چپ تصویر نقطه مناسبی انتخاب نشود، باید ستون بعدی به سمت راست تصویر به همین ترتیب اسکن شود.

شکل (۴-۲۹) انتخاب نقاط شروع را نشان می‌دهد. در این شکل سه نقطه S1، S2 و S3 به عنوان نقاط کاندید برای شروع مسیر یک شکستگی تعیین شده‌اند. همانطور که در شکل دیده می‌شود با جست‌وجو در یک شعاع همسایگی برای این نقاط، نقاط S1 و S3 چون در همسایگی آن‌ها نقاطی وجود دارند که نسبت به نقطه شروع در راستای تقریباً یکسانی قرار دارند، می‌توانند به عنوان نقاط شروع انتخاب شوند. ولی نقطه S2 اگرچه در شعاع همسایگی آن نقاطی قرار می‌گیرند ولی راستای آن‌ها نسبت به نقطه شروع متفاوت با هم هستند و یک راستای مشخص با تعدادی همسایگی در شعاع تعیین شده برای نقطه شروع وجود ندارد. بنابراین نقطه S2 نمی‌تواند به عنوان نقطه شروع یک شکستگی انتخاب شود.



شکل ۲۹-۴ انتخاب نقطه شروع برای شکستگی

ب) انتخاب نقاط بعدی شکستگی

بعد از انتخاب نقطه شروع باید مسیر یک شکستگی و نقاط بعدی تعیین شوند. برای تعیین نقاط بعدی یک شکستگی از اطلاعات فاصله، زاویه نقاط شکستگی نسبت به یک نقطه شروع، میزان تغییرات زوایه برای نقاط شکستگی پشت سر هم و پیش بینی نقاط با استفاده از شبکه عصبی RBF به کمک نقاط قبلی یک شکستگی استفاده می شود.

مراحل کلی الگوریتم استفاده شده برای دسته‌بندی نقاط و تعیین مسیر یک شکستگی را می‌توان به صورت زیر بیان کرد:

- ۱- برای یک شعاع همسایگی نسبت به نقطه شروع، نقاطی که در راستای بین $+90^{\circ}$ تا -90° درجه قرار دارند، پیدا می‌شوند.
- ۲- زاویه نقاط پیدا شده در مرحله قبل نسبت به نقطه شروع محاسبه می‌شوند.
- ۳- با تعیین میانه زاویه نقاط در مرحله قبل، نقاطی که با مقدار میانه با یک آستانه تعریف شده فاصله دارند، حذف می‌شوند. این نقاط، نقاطی هستند که در راستای نقاطی که ادامه مسیر هستند قرار ندارند. نقاط باقیمانده راستای ادامه مسیر را نسبت به نقطه شروع نشان می‌دهند.

۴- زاویه هر نقطه نسبت به نقطه قبل، برای نقاط به دست آمده در مرحله قبل نسبت به هم محاسبه

شده و متوسط تغییرات زاویه را نیز به دست آورده می شود.

۵- آخرین نقطه که در سمت راست ترین موقعیت قرار دارد، از مرحله سوم به عنوان نقطه شروع

بعدی انتخاب می شود.

۶- از نقطه شروع انتخاب شده در مرحله ۵، مراحل ۱ تا ۵ تکرار می شود.

۷- در صورتی که در شعاع همسایگی، برای نقطه شروع جدید، نقاطی برای ادامه مسیر یافت نشود با

استفاده از شبکه عصبی RBF، تعدادی نقاط به کمک نقاط قبلی مسیر پیش بینی می شود. آخرین

نقطه پیش بندی شده به عنوان نقطه شروع جدید انتخاب می شود. سپس مراحل ۱ تا ۷ تکرار می -

شود.

برای کاهش خطا در الگوریتم فوق و جلوگیری از تغییرات ناگهانی مسیر، هر نقطه یافت شده جدید،

زاویه آن نسبت به نقطه قبل خود محاسبه می شود. تغییرات زاویه در دو نقطه متوالی نسبت به

میانگین تغییرات برای نقاط قبلی نباید از یک مقدار آستانه بیشتر باشد.

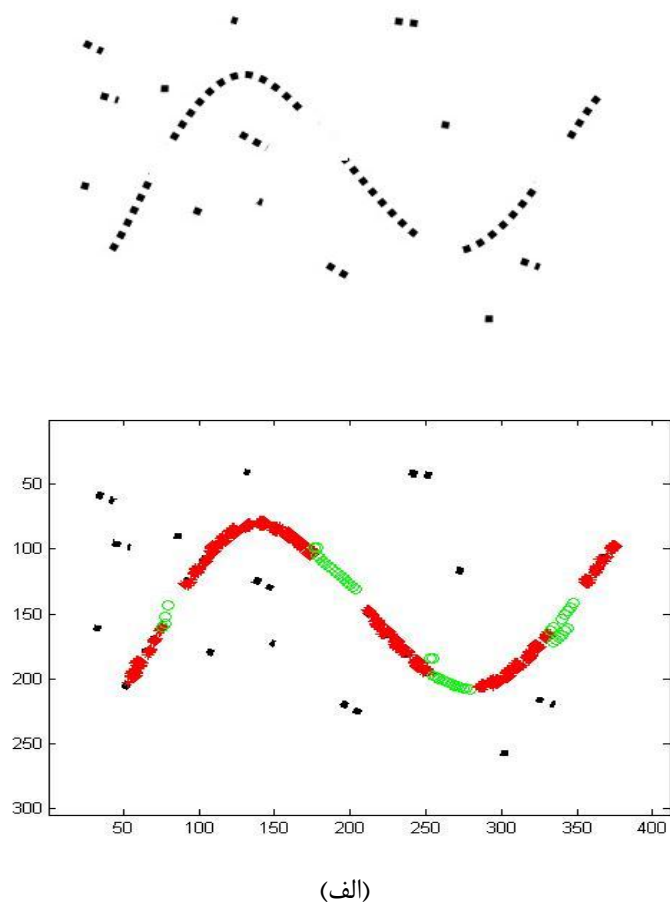
تعیین مقادیر آستانه مورد استفاده در الگوریتم فوق با توجه اطلاعات زمین شناسی منطقه و به صورت

تعامیلی توسط کاربر تعریف می شود.

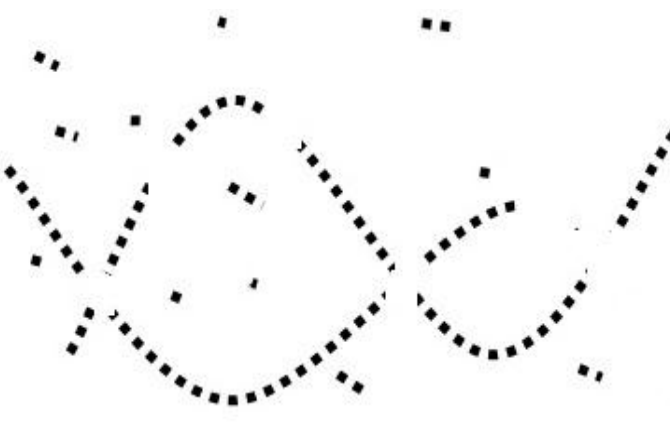
شکل (۴-۳۰) نتایج الگوریتم فوق را بر روی دو تصویر مصنوعی از شکستگی نشان می دهد. تصویر

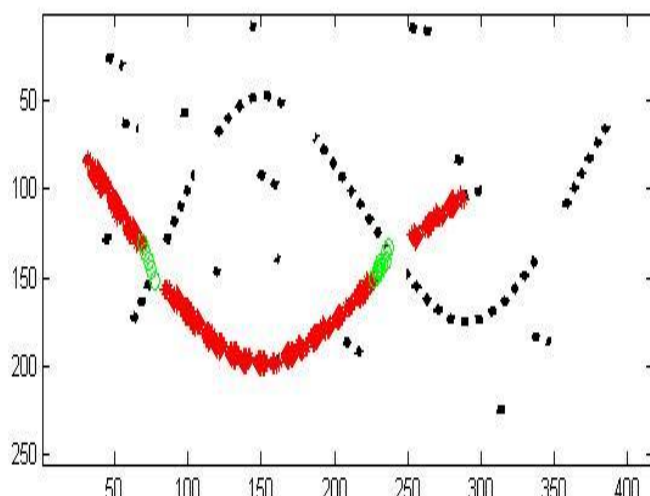
(الف) یک تصویر شکستگی بدون تداخل و تصویر (ب) تصویری از یک شکستگی که به دلیل تداخل با

پدیده دیگر دسته بندی نقاط آن سخت تر است را نشان می دهد.



(الف)

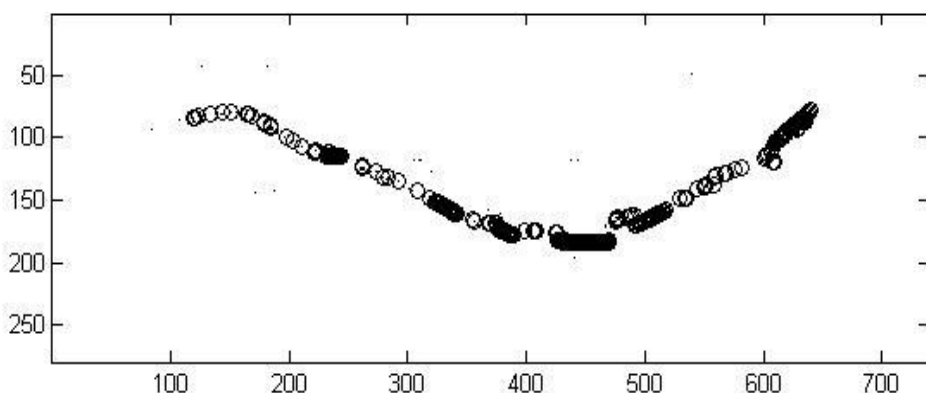




(ب)

شکل ۳۰-۴ نتایج الگوریتم دسته‌بندی نقاط شکستگی بر روی تصاویر مصنوعی

شکل (۳۱-۴) نتیجه الگوریتم دسته‌بندی را بر روی تصویر نمونه نشان می‌دهد.

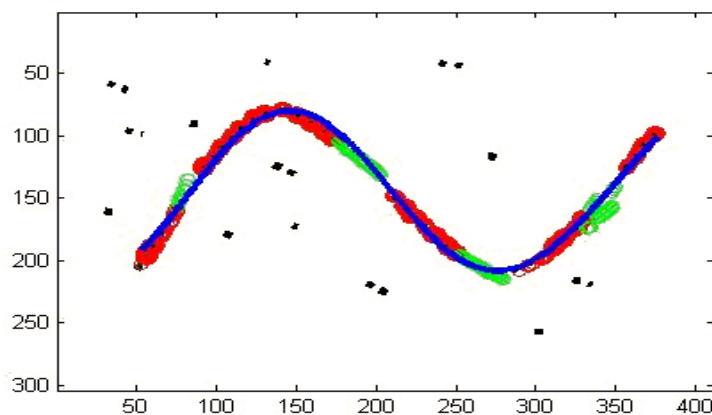


شکل ۳۱-۴ نتیجه الگوریتم دسته بندی نقاط شکستگی

۴-۲-۴- رسم مسیر شکستگی‌ها

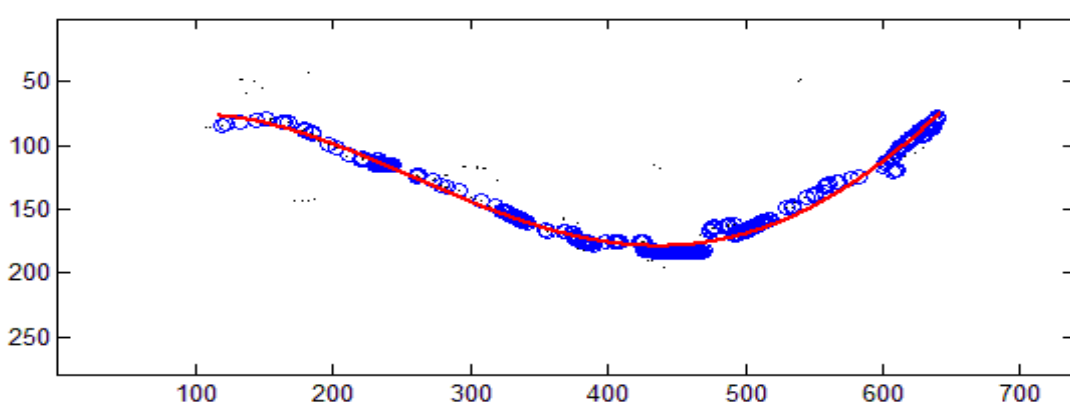
پس از دسته‌بندی داده‌های مربوط به هر شکستگی، با استفاده از نقاط به دست آمده برای هر شکستگی، می‌توان مسیر شکستگی‌ها را با نمودارهای سینوسی ردیابی و رسم کرد. نقاط دسته‌بندی

شده برای هر شکستگی، به عنوان نقاط آموزشی برای شبکه عصبی RBF، استفاده می شوند. شبکه عصبی مورد نظر، مسیر عبور شکستگی را به صورت منحنی های سینوسی تخمین زده و رسم می کند. شکل (۳۲-۴) رسم مسیر شکستگی به وسیله شبکه عصبی RBF، برای تصویر مصنوعی که در بخش قبل نقاط آن دسته بندی شده بودند را نشان می دهد.



شکل ۳۲-۴ رسم مسیر شکستگی برای نقاط دسته بندی شده

شکل (۳۳-۴) تصویر نهایی ردیابی شکستگی را برای تصویر نمونه که در مرحله قبل نقاط آن دسته بندی شدند را نشان می دهد.



شکل ۳۳-۴ ردیابی شکستگی برای چاهنودار نمونه

فصل پنجم

نتیج پیاده سازی الکوریتیم پیشہ دادی

۱-۵- مقدمه

برای بررسی الگوریتم های معرفی شده، چاهنودار تصویری FMI با ساختارهای متفاوت استفاده شده است. در این بخش مراحل مختلف الگوریتم پیشنهادی بر روی چاهنودارهای تصویری پیاده سازی شده و نتایج آنها مورد بحث قرار می گیرد.

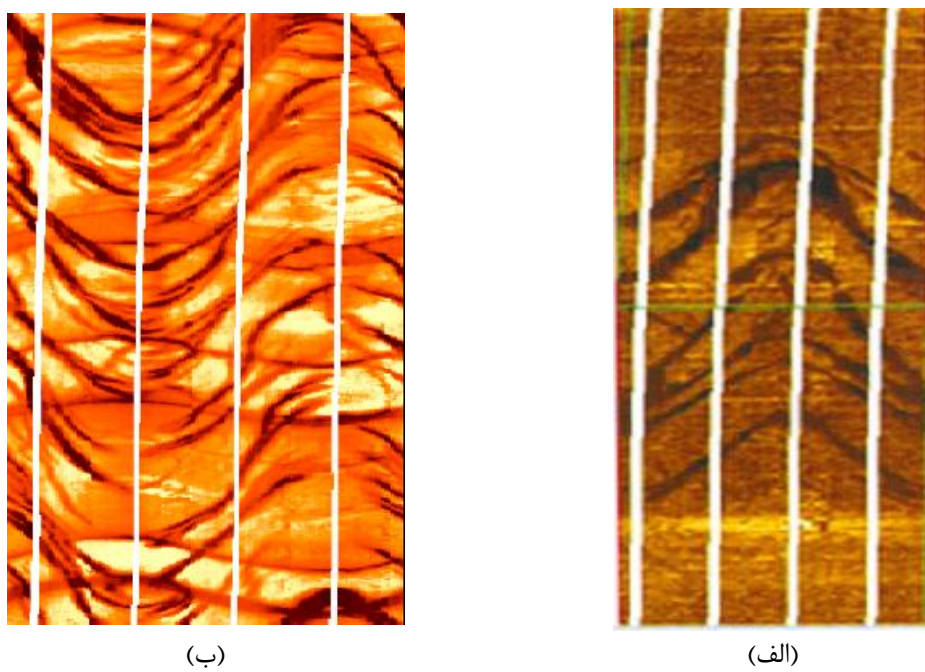
شکل (۱-۵) الگوریتم پیشنهادی برای شناسایی و ردیابی شکستگی های طبیعی باز به وسیله چاهنودار تصویری FMI را نشان می دهد. در ادامه هر یک از مراحل الگوریتم نشان داده شده به طور گام به گام تشریح و روی چاهنودارهای تصویری اعمال می شوند و نتایج آنها نشان داده می شود.



شکل ۱-۵ فلوچارت الگوریتم پیشنهادی برای شناسایی و ردیابی شکستگی

۲-۵- نتایج حاصل از الگوریتم‌ها

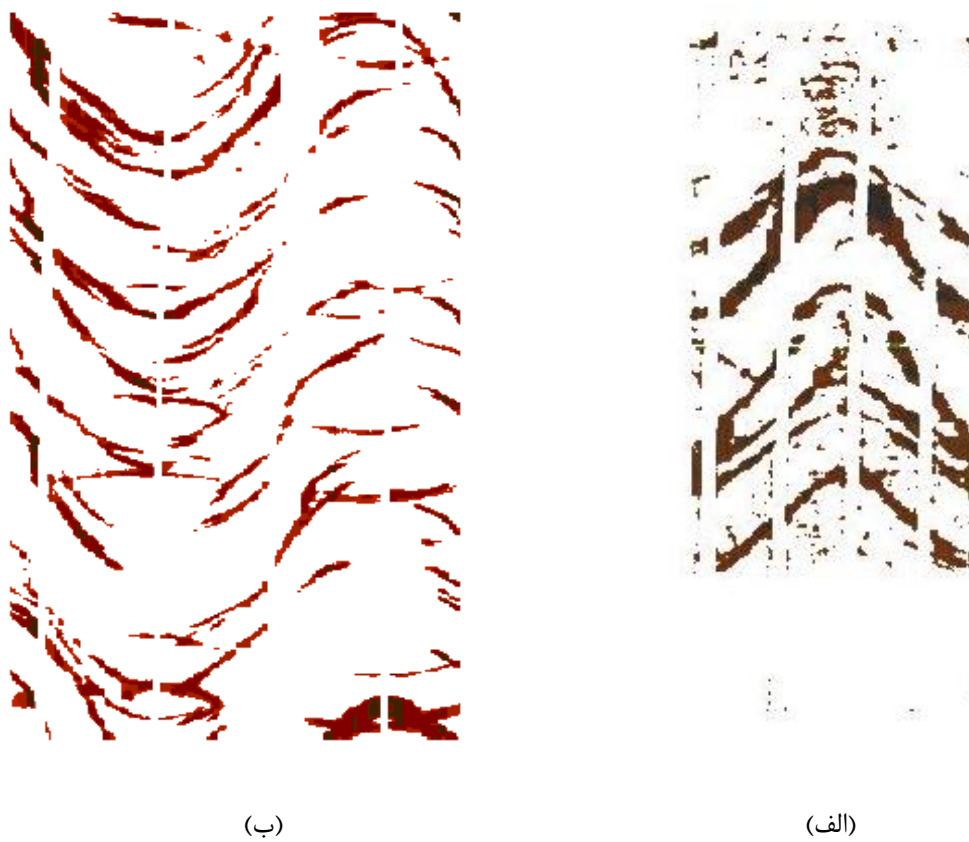
شکل (۲-۵) دو چاهنmodar تصویری را که برای شناسایی شکستگی‌ها مورد استفاده قرار گرفته‌اند، نشان می‌دهد. شکل (الف) تصویری با شکستگی‌های منظم است ولی تصویر (ب) مربوط به یک چاه با تعداد زیادتری شکستگی است. تصویر (ب) نسبت به تصویر (الف) به دلیل وجود شکستگی‌های پیچیده‌تر و تداخل و نزدیکی بیشتر پدیده‌ها به هم، به مراتب برای شناسایی و ردیابی شکستگی‌ها با پیچیدگی‌های بیشتری همراه خواهد بود. شکستگی‌ها و لایه‌بندی‌ها در این تصاویر به صورت موج‌های سینوسی و به صورت تیره‌تر مشاهده می‌شوند. شکستگی‌ها در برخی موارد، به صورت تکه تکه بوده و با هم تداخل دارند.



شکل ۲-۵ چاهنmodarهای مورد استفاده برای بررسی الگوریتم‌های پیشنهادی

در ابتدا الگوریتم بخش‌بندی، به وسیله شبکه عصبی خودسازمانده بر روی چاهنmodarهای تصویری به عنوان روش بهینه انتخاب شده، اعمال شد. تعداد خوش بھینه برای بخش‌بندی در این تصاویر شش

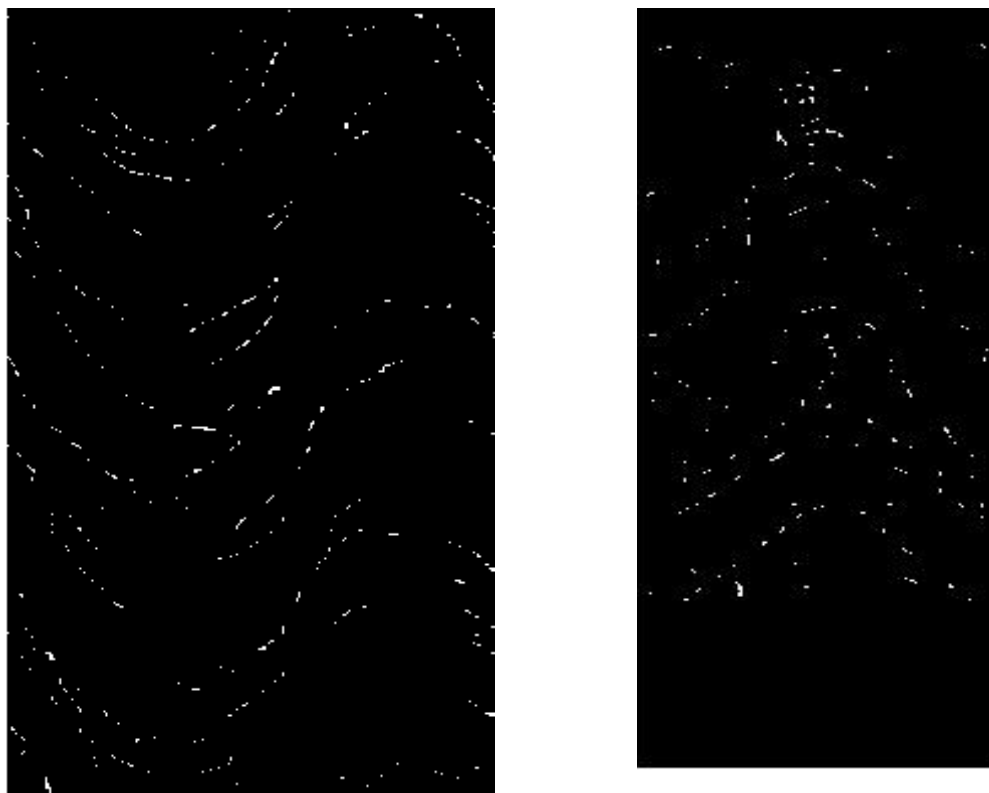
گرفته شده است. داده‌های ورودی به شبکه مولفه‌های رنگ هر پیکسل هستند. شکل (۳-۵) نتایج حاصل از بخش‌بندی را نشان می‌دهد.



شکل ۳-۵ نتایج حاصل از بخش‌بندی با شبکه عصبی خودسازمانده

همانطور که شکل (۳-۵) نشان می‌دهد، تصاویر حاصل از بخش‌بندی علاوه بر شکستگی‌ها شامل پدیده‌های مشابه شکستگی، مانند لایه‌بندی و نیز شامل پیکسل‌هایی که ناشی از نوفه و پدیده‌های ریز اضافی هستند نیز است. برای ردیابی شکستگی‌ها، با استفاده از ویژگی زاویه برای اجزای تصویر و استفاده از الگوریتم‌های مورفولوژی، نقاطی به عنوان نماینده برای مسیر شکستگی‌ها از تصویر بخش‌بندی شده جدا می‌شوند. در ابتدا به منظور حذف ردپاهای لایه‌بندی و شکستگی‌های مصنوعی با

استفاده از زاویه هر ردپا در تصویر، ردپاهای افقی و عمودی حذف شده‌اند. سپس با استفاده از عملگرهای مورفولوژی بازکردن نقاط ریز اضافی و نوفه از تصویر مرحله قبل حذف شده‌اند. شکل ۴-۵ نتایج نهایی را برای شناسایی نقاط شکستگی‌ها نشان می‌دهد. در این تصویر نقاط نمونه شکستگی‌ها به صورت نقاط سفید رنگ، مسیر شکستگی‌ها را نشان می‌دهند.

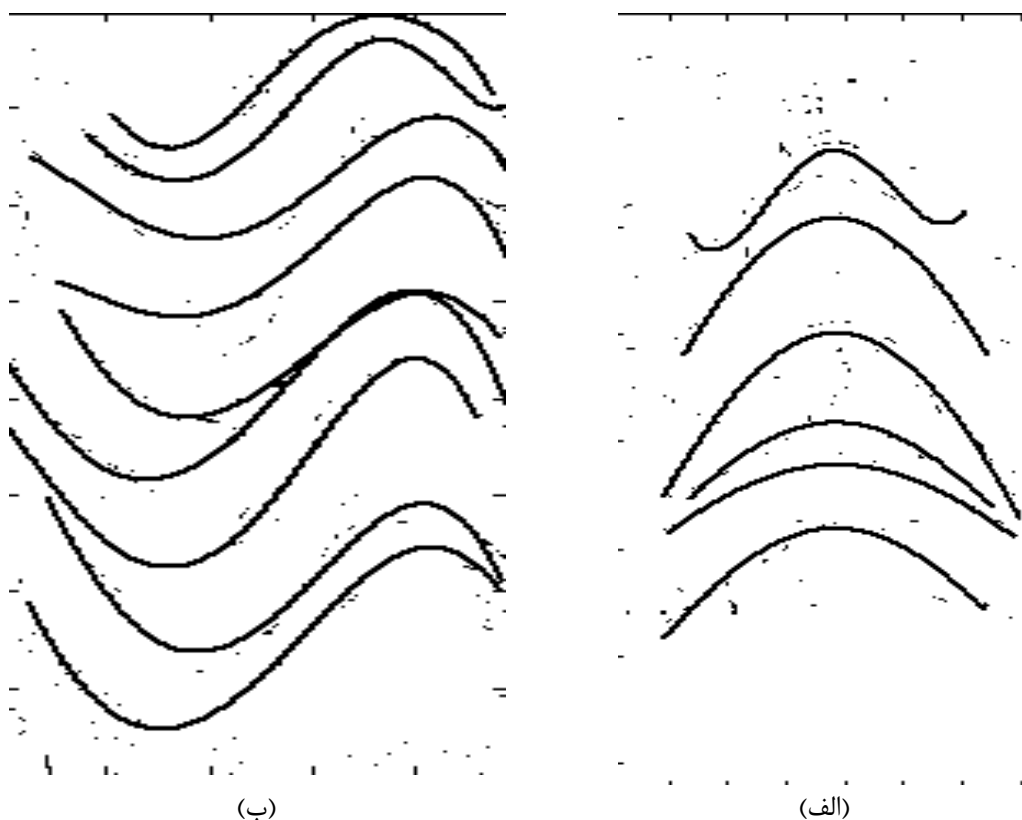


شکل ۴-۵ نتایج نهایی حاصل برای آشکارسازی نقاط شکستگی

پس از آشکارسازی نقاط شکستگی، برای تعیین مسیر دقیق‌تر شکستگی، به ردیابی مسیرهای شکستگی‌ها پرداخته می‌شود. برای ردیابی شکستگی‌ها ابتدا نقاط شکستگی با استفاده از اطلاعات محلی فاصله، زاویه نقاط و تغییرات زاویه دسته‌بندی می‌شوند.

برای دسته‌بندی نقاط هر شکستگی ابتدا نقاط شروع با توجه به وجود همسایگی از نقاط که در یک راستا با آن‌ها قرار داشته باشند، انتخاب می‌شوند. با شروع از نقاط شروع شکستگی با استفاده از نقاطی که در همسایگی آن در یک شعاع تعریف شده قرار دارند، این نقاط جدا و زاویه آن‌ها نسبت به نقطه شروع محاسبه می‌شود. مقدار میانه این زاویه‌ها به دست آورده می‌شود. نقاطی که در راستایی متفاوت قرار دارند، به دلیل اختلاف زیاد با مقدار میانه حذف می‌شوند. سمت راست ترین نقطه، به عنوان نقطه شروع بعدی انتخاب می‌شود و الگوریتم ادامه می‌یابد. در جاهایی که نقاطی برای همسایگی وجود ندارد، به کمک نقاط قبلی مسیر با استفاده از شبکه عصبی شعاعی ادامه مسیر تخمین زده می‌شود. پس از دسته‌بندی نقاط و تفکیک شکستگی‌ها از هم، با استفاده از شبکه عصبی RBF، مسیر هر یک از شکستگی ریدیابی می‌شوند. از نقاط جدا شده برای هر یک از شکستگی‌ها در مرحله قبل، به عنوان داده‌های آموزش شبکه برای ریدیابی مسیر استفاده شده است.

شکل (۵-۵) تصویر نهایی حاصل از ریدیابی مسیرهای شکستگی را برای چاهنماودارهای نمونه نشان می‌دهد. در این تصویر مسیرهای شکستگی به صورت منحنی‌های سینوسی دیده می‌شوند.



شکل ۵-۵ نتایج نهایی ردیابی شکستگی به وسیله الگوریتم پیشنهادی

۳-۵- بحث

شناسایی شکستگی‌های طبیعی باز به خاطر عواملی مانند نوفه، کنتراست ضعیف و تکه‌تکه بودن شکستگی‌ها و نیز وجود پدیده‌های مشابه کاری پیچیده است. همانطور که نتایج نشان داد با بهره‌گیری از ویژگی رنگ و استفاده از شبکه عصبی خودسازمانده در مرحله بخش‌بندی نتایج قابل قبول و خوبی را نسبت به سایر روش‌ها نتیجه می‌دهد.

الگوریتم‌های استفاده شده شامل دو بخش شناسایی نقاط شکستگی و ردیابی مسیر شکستگی‌ها بود. در بخش اول هدف یافتن نقاط مربوط به مسیر شکستگی‌ها و جداسازی آن از سایر پیکسل‌های تصویر است. بخش دیگر به دسته‌بندی نقاط شکستگی‌ها و تفکیک آن‌ها می‌پردازد. پس از تفکیک شکستگی‌ها، مسیرهای هر یک از آن‌ها به‌طور دقیق‌تر ردیابی و رسم شدند. به دلیل شباهت نقاط

شکستگی به هم برای دسته‌بندی و ردیابی مسیر شکستگی‌ها، از اطلاعات مکانی و موقعیتی مانند فاصله، زاویه نقاط نسبت به هم، میانه زاویه نقاط و میزان تغییرات زاویه نقاط نسبت به هم استفاده شده است.

همانطور که نتایج نشان می‌دهند، روش معرفی شده عملکرد مناسبی را در شناسایی و ردیابی شکستگی‌های باز در چاهنماودارهای تصویری FMI از خود نشان می‌دهد. این روش مبتنی بر مدل نیست و می‌تواند قابل تعمیم به سایر انواع چاهنماودارهای تصویری نیز باشد.

فصل ششم

پیغامبری و پیشہادات

۱-۶- نتیجه‌گیری

در این پایان نامه به بررسی الگوریتم‌هایی برای شناسایی و ردیابی هوشمند شکستگی‌های طبیعی باز در مخازن کربناته با استفاده از چاهنماودارهای تصویری FMI پرداخته شد. شکستگی‌های طبیعی باز، نقش بسیار مهمی را در تحلیل چاههای کربناته، پایداری و حرکت سیال در چاهها دارند. شناسایی دستی این پدیده بخاطر مشکلاتی مانند نوفه، تکه‌تکه بودن و وجود پدیده‌های مشابه با شکستگی‌ها کاری پیچیده است. همچنین در برخی مواقع ممکن است تفسیر انجام گرفته توسط کارشناسان یکسان نباشد. بنابراین ارایه روش‌های هوشمند برای شناسایی و ردیابی شکستگی‌ها می‌تواند به برطرف کردن این مشکلات کمک نماید.

در گام نخست برای شناسایی شکستگی‌ها، برخی روش‌های مختلف پردازش تصویر برای بخش‌بندی چاهنماودارهای تصویری، به منظور جداسازی شکستگی‌ها و پدیده‌های مشابه آن از سایر پیکسل‌ها بر روی تصاویر نمونه اعمال شده و نتایج آن‌ها مورد ارزیابی قرار گرفت. نتایج نشان داد که استفاده از ویژگی رنگ می‌تواند به شناسایی بهتر و دقیق‌تر شکستگی‌ها کمک کند. در بین روش‌های بررسی شده، شبکه عصبی خودسازمانده نتایج مطلوب‌تری را نشان می‌دهد. این روش نسبت به سایر روش‌ها از حساسیت کمتری نسبت به نوفه برخودار بوده و با بهره‌گیری از الگوریتم خوشبندی رقابتی، نتایج مطلوبی را برای بخش‌بندی چاهنماودارهای تصویری نتیجه می‌دهد. شبکه خودسازماندهی دارای دقت ۹۴/۵٪ بوده است و نسبت به بهترین دقت بهوسیله روش‌های خاکستری ۱۷/۵٪ بهبود یافته است.

برای شناسایی دقیق شکستگی‌ها و تفکیک آن از سایر پدیده‌ها در تصویر بخش‌بندی شده، از اطلاعات زاویه‌ای ردپاها و الگوریتم‌های مورفولوژیکی استفاده شده است.

به منظور ردیابی مسیر شکستگی برای کاهش بار محاسباتی نقاطی از شکستگی‌ها به عنوان نقاط نمونه جدا شده و پس از خوشبندی نقاط هر شکستگی با استفاده از اطلاعات محلی، مانند فاصله،

زاویه نقاط نسبت به هم و تغییرات زاویه مسیرهای شکستگی‌ها از هم جدا و ردیابی می‌شوند. به دلیل تشابه نقاط شکستگی‌ها به هم، استفاده از روش‌های مبتنی بر مدل و نیاز به آموزش برای ردیابی شکستگی‌ها امکان‌پذیر نیست. از طرفی الگوی یکسانی برای همه شکستگی‌ها وجود ندارد. همچنین در میادین و چاههای مختلف الگوی آن‌ها می‌تواند تغییر کند.

به‌طور خلاصه می‌توان گفت، روش پیشنهادی به دلیل تکیه بر رنگ و اطلاعات محلی روشی عمومی بوده و قابلیت تعمیم به سایر چاهنماودارهای تصویری را نیز دارد. نتایج نشان می‌دهد که این روش برای شناسایی و ردیابی شکستگی‌ها روشی مطلوب است.

۶-۲- پیشنهادات و کارهای آینده

اگرچه روش پیشنهادی نتایج مطلوبی را برای شناسایی و ردیابی شکستگی‌ها از خود نشان می‌دهد ولی این روش نیز دارای کاستی‌هایی است. می‌توان با بهبود و توسعه آن در آینده، به روشی جامع‌تر و بهینه‌تر برای شناسایی و ردیابی شکستگی‌ها دست یافت. در زیر به برخی پیشنهادات و کارهایی که در آینده می‌توان بر آن تکیه کرد اشاره می‌شود:

- روش پیشنهادی در این تحقیق، بر روی چاهنماودارهای تصویری FMI مورد بررسی و آزمایش قرار گرفته است. در صورت دسترسی به سایر انواع چاهنماودارهای تصویری، این روش می‌تواند بر آن‌ها نیز اعمال شده و نتایج آن مورد ارزیابی و بررسی قرار گیرد. همچنین در صورت وجود انواع مختلف چاهنماودارهای تصویری از یک چاه، با ترکیب نتایج حاصل از انواع تصویر می‌توان به نتایج دقیق‌تر و مطمئن‌تری برای شناسایی و ردیابی شکستگی‌ها دست یافت.

- با ترکیب نتایج این روش با روش‌های دیگر تفسیر چاهنماودارهای تصویری مانند تست مغزه، گل هرزوی و ... نتایج بدست آمده برای شناسایی و ردیابی شکستگی‌ها مطمئن‌تر می‌شود.
- در این تحقیق به شناسایی و ردیابی شکستگی‌های باز در مخازن تمرکز شده است. این شکستگی‌ها دارای رنگی تیره هستند. برای شناسایی و ردیابی شکستگی‌های بسته که به صورت روشن در چاهنماودارهای تصویری FMI ظاهر می‌شوند، این الگوریتم پیاده‌سازی و نتایج آن مورد ارزیابی قرار گیرد.
- روش پیشنهادی در این تحقیق به دلیل تکیه بر اطلاعات محلی برای دسته‌بندی و ردیابی شکستگی‌ها برای چاهنماودارهای تصویری با ابعاد بزرگ دارای سرعت چندان بالایی نخواهد بود. در صورت امکان می‌توان بر تکیه بر روش‌هایی دیگر و ویژگی‌هایی جدیدتر، این الگوریتم را بهبود و توسعه داد.
- در صورت موجود بودن یک پایگاه داده مناسب تفسیر شده، می‌توان به بررسی روش‌هایی هوشمند پرداخت که بتوان با استفاده از یک مدل احتمالی موجود و یافتن ویژگی‌هایی جدید برای شناسایی شکستگی‌ها، مدلی سریع‌تر و قابل تعمیم برای چاههای یک منطقه ارایه کرد. با توجه به الگوی متنوع شکستگی‌ها، چاههای انتخاب شده باید فاصله کمی از هم داشته باشند. در صورت دستیابی به این روش هوشمند با تکیه بر تعدادی از چاهها برای یک منطقه به عنوان چاههای آموزشی، می‌توان به شناسایی و ردیابی شکستگی‌ها در سایر چاههای منطقه به عنوان چاههای آزمایش پرداخت.

مراجع و مراجع

- [1] Kherroubi J. (2008). "Automatic Extraction of Natural Fracture Traces from Borehole Images". *19th International Conference on Pattern Recognition (ICPR)* (pp. 1-4). Tampa. IEEE.
- [2] Wang W. (2005). "An edge based segmentation algorithm for rock fracture tracing". *International Conference on Computer Graphics, Imaging and Vision: New Trends* (pp. 43-48). IEEE.
- [3] Wang W. Liao H And Huang Y. (2007)." Rock fracture tracing based on image processing and SVM". *Third International Conference on Natural Computation (ICNC)* (pp. 632 - 635). Haikou. IEEE.
- [4] Rui-Lin L. Yue-Qi W. Jian-Hua L and Yong M. (2005). "The Segmentation of FMI Image Based on 2-D Dyadic Wavelet Transform". *APPLIED GEOPHYSICS*, 2, 89-93.
- [5] Wu H and Texaco C. (2004). "Image enhancement, and 3D visualization of borehole image logs in characterization of fracture in Kuwait". *11th Abu Dhabi international petroleum Exhibition and Conference* (pp. 1-5). Abu Dhabi. SPE.
- [6] Wang W and Wang X. (2010). "Micro Rock Fracture Image Acquisition And Processing". *2nd International Workshop on Intelligent Systems and Applications (ISA)* (pp. 1-4). Wuhan. IEEE.
- [7] He C and Wang W. (2010). "A PCNN-based Edge Detection Algorithm for Rock Fracture Images". *Symposium on Photonics and Optoelectronic (SOPO)* (pp. 1-4). Chengdu: IEEE.
- [8] Luthi S. M. (2001). "*Geological Well Logs: Their User in Reservoir Modeling*". Springer.
- [9] Khoshbakht F. (2006). "*Application of borehole image logs in fracture study in one of oil field of south west Iran*". Thesis of Msc, Tehran university, Tehran.
- [10] Prensky S. (1999). "*Advances in borehole imaging technology and applications*". London: Geological society, Special Publications.
- [11] OBMI. (2006). catalog .Schlumberger.
- [12] Kaur N and Banga V. K. (2011). "Color Image Segmentation Using Soft Computing". *Planetary Scientific Research Center*.

-
- [13] Zuva T. Olugbara O. O. Ojo S. O and Ngwira S M. (2011). “Image Segmentation, Available Techniques, Developments and Open Issues”. *Canadian Journal on Image Processing and Computer Vision*, 20-29.
- [14] Roushdy M. (2006). “Comparative Study of Edge Detection Algorithms Applying on the Grayscale Noisy Image Using Morphological Filter”. *GVIP* , 6(4), 17-23.
- [15] Maini R and Aggarwal H. (2011). “Study and Comparison of Various Image Edge Detection Techniques”. *International Journal of Image Processing (IJIP)*, 3(1), 1-12.
- [16] Gonzalez R and Wood R. E. (2008). “*Digital image processing*” (Vol. Third Edition). Prentice Hall.
- [17] Saleh Al-amri S. Kalyankar N and Khamitkar S. (2010). “Image Segmentation by Using Thershod Techniques”. *JOURNAL OF COMPUTING*, 2(5), 83-86.
- [18] Sengar, J. SAndSharma N. (2011). “Review: Competitive Learning Algorithm of Neural Network”. *IJCTA*, 2, 1480-1485.
- [19] Sathasivam S. Hamadneh, N and Choon O. H. (2011). “Comparing Neural Networks: Hopfield Network and RBF Network”. *Applied Mathematical Sciences*, 3439- 3452.
- [20] Wang Z and Bovik A. C. (2009). “A new look at signal fidelity measures”. *IEEE SIGNAL PROCESSING MAGAZINE*, 98-117.

Abstract

Borehole image logs are sonic or resistivity tools used for rock features or fluid in carbonate reservoirs. Fractures are one of the important features can be detected using image logs. Fractures have very important role in fluid flowing and stability in borehole. Fracture detection is a subjective process. Fracture detection is a complex process because of weak contrast of fractures, variable thickness of fractures, noise and some similar events such as bedding.

In this thesis, some techniques are proposed using image processing and pattern recognition for automatic fracture detection and tracing in image logs.

A basic and vital step for fracture detection is image segmentation. various segmentation methods applied on image logs. And after validating these methods, the best method has been selected for segmentation. Self organizing map indicated better results rather than other methods. This neural network clusters pixels of image using a competitive algorithm using color feature. After segmentation, some local information and morphological operation used to extract fracture pixels from other pixels. Then some points selected as samples for fracture tracing. For fracture tracing, first samples of each fracture distinguished from each others. Then, fractures traced using radial basis networks. In this thesis, just open natural fractures detected and traced. It has been used FMI image logs for fractures detection and tracing.



Shahrood University of Technology

Faculty of Electrical and Robotic Engineering

**Intelligent Detection of Fractures in Carbonate Reservoirs
Using Image Logs**

By:

Mahmoud Seifallahi

Supervisors:

Dr. Ali Soleamani

Dr. Behzad Tokhmechi

Assistance:

Dr. Alireza Ahmadyfard

**FOR THE DEGREE OF
MASTER OF SCIENCE**

July 2012